

S-001

Sol akciğer veya sol meme kanseri sebebiyle radyoterapi uygulanan hastalarda radyoterapinin sağ ve sol kalp deformasyonlarına olan etkisinin değerlendirilmesi

Beytullah Çakal¹, Sinem Çakal¹, Alpaslan Mayadağlı², Kemal Ekici², Mustafa Ozan Gürsoy¹, Zübeyde Bayram¹, Macit Kalçık¹, Süleyman Karaköyün¹, Gökhan Kahveci¹, Rezzan Deniz Acar¹, İsmail Erden¹, Mustafa Yıldız¹, Mehmet Özkan¹

¹Kartal Koşuyolu Yüksek İhtisas Eğitim ve Araştırma Hastanesi, İstanbul

²Dr. Lütfi Kirdar Kartal Eğitim ve Araştırma Hastanesi Radyoloji Bölümü, İstanbul

Amaç: Radyoterapi (RT) uygulaması erken evre meme ve akciğer kanserlerinin tedavisinde yaygın olarak kullanılmaktadır. Sol akciğer, sol meme, sol toraks duvarı, internal mammary lenf nodları uygulanan RT, kalbi de etkilemeye ve kardiyovasküler yan etkilere neden olabilmektedir. Çalışmamızda, sol akciğer veya sol meme kanserlerinde uygulanan radyoterapinin kalp deformasyonlarına olan erken dönemde etkileri araştırılmıştır.

Metod: RT alan 35 hasta (13 sol meme kanseri; 22 sol akciğer kanseri) çalışmaya dahil edildi. RT planlaması için tüm hastalar bilgisayarlı tomografi (BT) çekildi. Radyasyon dozu, 25 fraksiyonda 50 Gray (Gy) olarak verildi. Radyasyonun kalbe olan etkileri, RT öncesi, tedaviyed hemen sonra ve 1. ayda, speckle tracking yöntemiyle global sağ ve sol ventrikül uzun eksen zirve sistolik strain (S) ve strain rate (SR) ölçümleriley değerlendirildi.

Bulgular: Sol meme kanseri grubunda (SMKG), total radyasyon dozu 51.7 ± 4.9 Gy; sol akciğer kanseri grubunda (SAKG) alınan total radyasyon dozu 54.7 ± 9.1 Gy ölçüldü. SMKG'da kalbin aldığı ortalama doz 6.3 ± 4.5 Gy, 30 Gy alan ortalama kalp volumü (%V30) 7.3 ± 6.5 idi. SAKG'da kalbi etkileyen ortalama doz; 21.3 ± 7 Gy, V30 30.0 ± 10 olarak ölçülüdü. RT öncesi ile karşlaştırıldığında, RT sonrası erken dönemde RT sonrası 1.ayda sağ ventrikül S her 2 grupta da anamlı olarak azaldı. (SMKG sağ ventrikül S: -22.3 ± 4.3 , % -19.9 ± 3.4 , % -19.9 ± 3.8 , p=0.007; SAKG'da sağ ventrikül S: -23.2 ± 3.1 , % -19.6 ± 3.8 , % -18.3 ± 4.1 , p<0.001). Sağ ventrikül SR SAKG'da RT sonrası anamlı azalırlar (SR değerleri sırasıyla, -1.57 ± 0.35 s-1, -1.36 ± 0.28 s-1, -1.24 ± 0.29 s-1, p<0.001), SAKG'da anamlı değişim olmadı (SR değerleri sırasıyla; -1.39 ± 0.26 s-1, -1.26 ± 0.26 s-1, -1.09 ± 0.66 s-1, p=0.192). RT sonrası sol ventrikül S değeri, SAKG'da anamlı olarak azaldı (S değerleri sırasıyla; % -20.7 ± 4.4 , % -19.2 ± 3.6 , % -19.03 ± 3.7 , p=0.03). SMKG'da RT sonrası sol ventrikül deformasyonlarında anamlı değişim olmadı (S değerleri sırasıyla; % -20.03 ± 0.3 , % -19.6 ± 3.01 , % -19.5 ± 2.06 , p=0.95).

Sonuç: RT verilen hastalarda RT sonrası sol meme ve sol akciğer kanseri grubunda sağ ventrikül S değerlerinde azalma olurken, RT sonrası sol ventriküler S'de azalma sadece SAKG'da gözlemlendi. SAKG'da RT sonrası sağ ventrikül SR değerlerinde de azalma izlendi. SAKG'da sol ventrikül S değerlerinde azalma kalbin bu hasta grubunda yüksek dozda RT'ye maruz kalmamasına bağlıydı. RT'nin özellikle sağ ventrikül deformasyonlarını etkilemesi, sağ ventrikülün anatomik olarak kalbin önünde yer almazı ve sağ ventrikül duvarının daha ince yapıda olmasını sağladı.

S-002

Mekanik mitral protез paravalvular kaçakların gerçek zamanlı 3 boyutlu transözafajiyal ekokardiyografı ile sınıflandırılması ve klinik olaylarla ilişkisinin değerlendirilmesi

Mustafa Ozan Gürsoy, Mehmet Ali Astarcıoğlu, Tayyar Gökdeleniz, Zübeyde Bayram, Beytullah Çakal, Süleyman Karaköyün, Macit Kalçık, Mahmut Yesin, Ahmet Çağrı Aykan, Rezzan Deniz Acar, Gökhan Kahveci, Mustafa Yıldız, Mehmet Özkan

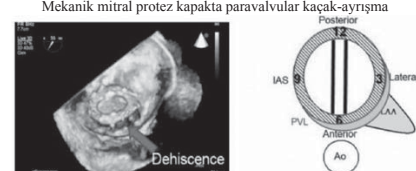
Kartal Koşuyolu Yüksek İhtisas Eğitim ve Araştırma Hastanesi, Kardiyoloji Bölümü, İstanbul

Amaç: Paravalvular kaçak (PVK) protез kapak cerrahi sonrasında nadir olmayan önemli bir komplikasyondur. 'Cerrahi baksı' açısı sunan gerçek zamanlı 3 boyutlu transözafajiyal ekokardiyografı (GZ-3B TÖE) mitral protez kapaklarında kaçak anatomisini göstererek ilişkili klinik olaylar hakkında değerli ipuçları sağlayabilir.

Metod: Çalışma grubunda 2342 mitral protez kapak hasta oluşturuluyordu. İki boyutlu transtorasik (2B TTE) ve transözafajiyal ekokardiyografı (2B TÖE) ile saptanan mitral PVK'lar sonrasında GZ-3B TÖE ile detaylı incelenmiş. PVK yerlesimi, sayısı, morfolojisi ve yetersizlik şiddeti değerlendirildi. Yetersizlik jeti 2B TÖE ve 3B renkli Doppler (full volume) ile gösterildi. Ekokardiografik ve klinik bulgular arasındaki ilişkiler araştırıldı.

Bulgular: Mitral protez PVK 60 hasta saptandı. Hastaların 21'inde (%16) PVK cerrahi sonrası erken dönemde gelişti. Onyedi hasta (%13) infektif endokardit öyküsü mevcut idi. Yedi hasta (%5) protez kapak ayrılmıştı (Şekil 1) nedeniyle redo cerrahi yapıldı. İleri yetersizlik 78 hasta (%69), orta derecede yetersizlik 30 hasta (%23) ve hafif yetersizlik 24 (%18) hasta saptandı. Birden çok paravalvuler kaçak 51 (%39) hasta gösterildi. Toplam 187 adet PVK (ileri: 110, orta: 52, hafif: 25) izlendi; en sık yerlesim yeri anterolateral bölgeydi (%34). Geriye kalan PVK'ların %23'ü posteromedialde, %23'ü posterolateralde ve %20'si anteromedialdedi. PVK morfolojileri 82 hasta (%64) oval, 51 hasta (%27) kreszent, 16 hasta (%9) kesik şekilli ve 14 hasta yuvarlak olarak değerlendirildi. Geriye kalan 24 hasta (%13), defekt morfolojisini GZ-3B TÖE ile net olarak gösteremedi; sadece 'full volume' renkli Doppler ile yetersizlik jetinin çıkış yeri gösterilebildi. Hemoliz 60 hasta (%45) saptandı. Yirmi hasta (%15, toplam 38 PVK) hemoliz tekrarlayan transfüzyon ihtiyacı doğuracak kadar şiddetli idi. Bu grupta en sık PVK şekli kreszentik (n= 20) idi ve eksantrik jet sayısını santral jet sayısına göre anamlı olarak fazla idi.

Sonuç: Mitral protez paravalvular kaçak morfolojisini ve yetersizlik jeti gerçek zamanlı 3 boyutlu transözafajiyal ekokardiyografı ile net olarak gösterebilir ve gelişebilecek klinik olaylar öngörebilir.



Mekanik mitral protез kapakta paravalvular kaçak-ayırma

S-001

Effects of radiotherapy on right and left heart function in patients with left-sided breast and lung cancer detected by strain and strain rate imaging

Beytullah Çakal¹, Sinem Çakal¹, Alpaslan Mayadağlı², Kemal Ekici², Mustafa Ozan Gürsoy¹, Zübeyde Bayram¹, Macit Kalçık¹, Süleyman Karaköyün¹, Gökhan Kahveci¹, Rezzan Deniz Acar¹, İsmail Erden¹, Mustafa Yıldız¹, Mehmet Özkan¹

¹Kartal Koşuyolu Yüksek İhtisas Eğitim ve Araştırma Hastanesi, İstanbul

²Dr. Lütfi Kirdar Kartal Training and Research Hospital, Radiology Department, İstanbul

Aim: Radiotherapy (RT) of the chest is commonly used in the management of early-stage breast cancer and lung cancer. RT administered on the left breast, left thoracic wall, or on the internal mammary lymph nodes usually involves irradiation of the heart and is potentially associated with long-term cardiovascular adverse events. We aimed to investigate the occurrence of early radiation-induced changes in cardiac function using strain (S) and strain rate imaging (SR) in patients (pts) with left-sided breast cancer (LSBC) and left-sided lung cancer (LSCC).

Methods: Thirty-five (13 breast cancer and 22 lung cancer) pts who required RT were included in this study. All pts received a computed tomography (CT) scan for RT planning. Radiation dose was 50 Gray (Gy) in 25 fractions. An additional boost of 10 or 16 Gy was delivered to the tumoral cavity in case of breastconserving surgery and lung boost. Radiation effect on cardiac function was assessed by speckle tracking derived right ventricular (RV) and left ventricular (LV) global longitudinal peak systolic S and SR obtained before, early after and at 1 month follow-up after RT.

Results: Total radiation dose delivered was 51.7 ± 4.9 Gy in LSBC group. 54.7 ± 9.1 Gy in LSCC group. The mean dose to the heart was 6.3 ± 4.5 Gy and the mean heart volume receiving 30 Gy (V30) was 7.3 ± 6.5 % in LSBC group. In pts with LSLC, the mean dose to the heart was 21.3 ± 7 Gy and V30 was 30.1 ± 10 %. Compared to baseline, RV-S was significantly decreased early after RT and at first month follow-up in both groups (-22.3 ± 4.3 vs. -19.9 ± 3.4 vs. -19.9 ± 3.8 , respectively, p=0.007 in LSBC group, -23.2 ± 3.1 vs. -19.6 ± 3.8 vs. -18.3 ± 4.1 , respectively, p<0.001, in LSLC group). RV-SR changed significantly in pts with LSLC (-1.57 ± 0.35 vs. -1.36 ± 0.28 vs. -1.24 ± 0.29 respectively, p<0.001) although we did not note any significant change in pts with LSBC (-1.39 ± 0.26 vs. -1.26 ± 0.26 vs. -1.09 ± 0.66 respectively, p=0.192). Interestingly, LV-S differed significantly in LSLC group (-20.7 ± 4.4 vs. -19.2 ± 3.6 vs. -19.03 ± 3.7 , respectively, p=0.03). No decline in LV deformations was observed in pts with LSBC (-20.03 ± 0.3 vs. -19.6 ± 3.01 vs. -19.5 ± 2.06 , respectively, p=0.95).

Conclusion: Pts receiving RT for LSBC and LSLC have decreased RV-S whereas LV-S was decreased only in LSLC group following RT. RV-SR was also decreased in pts with LSLC. Reduction in RV-S and SR was likely due to higher radiation exposure of the right ventricle due to its anterior location. Moreover, high dose radiation exposure to heart reduced LV-S in LSLC group. This study demonstrated RT has a depri effect on both RV and LV-S/SR is first to be reported.

S-002

The role of real-time three-dimensional transesophageal echocardiography in characterization of mitral paraprosthetic leaks and associated clinical findings

Mustafa Ozan Gürsoy, Mehmet Ali Astarcıoğlu, Tayyar Gökdeleniz, Zübeyde Bayram, Beytullah Çakal, Süleyman Karaköyün, Macit Kalçık, Mahmut Yesin, Ahmet Çağrı Aykan, Rezzan Deniz Acar, Gökhan Kahveci, Mustafa Yıldız, Mehmet Özkan

Kartal Koşuyolu Yüksek İhtisas Training and Research Hospital, Cardiology Department, İstanbul

S-003

Hipertrofik kardiyomiyopatide sol atriyal hacimlerinin gerçek zamanlı 3 boyutlu ekokardiyografik analizi**Selen Yurdakul**, Burçak K. Avcı, Şükru Taylan Şahin, Bingül Dilekçi, Saide Aytékin*İstanbul Bilim Üniversitesi Florence Nightingale Hastanesi, Kardiyoloji Anabilim Dalı, İstanbul*
Giriş-Amaç: Hipertrofik kardiyomiyopatili (HKMP) hastalarda, sol atriyum (SA) genişliği artmaktadır ve fonksiyonları bozulmaktadır. Çalıştığımızda amaç, HKMP olan hastalarda, SA hacim analizini, gerçek zamanlı 3 boyutlu (3B) ekokardiyografialar olarak gerçekleştirmektir.**Yöntem:** Çalışmaya, HKMP olan 23 hasta (ortalama yaş 50.71 ± 3.34 ve % 65 erkek) ve 20 sağlıklı kişiden (ortalama yaş 51 ± 5.9 ve % 64 erkek) oluşan kontrol grubu dahil edilmiştir. Tüm hastaların, gerçek zamanlı 3B ekokardiyografik analizinde, SA maksimum (Volmaks), minimum (Volmin) ve preatriyal (Volprea) hacim ölçümleri yapılmıştır. Bu ölçümlerden yola çıkılarak, SA dinamik hacimleri olan SA pasif boşalma hacmi ve fraksiyonu (SA PBV ve PBF), SA aktif boşalma hacmi ve fraksiyonu (SA ABV ve ABF) ve SA toplam boşalma hacmi ve fraksiyonu (SA TBV ve TBF) parametreleri de hesaplanmıştır.**Bulgular:** HKMP grubunda, kontrol grubuna göre, SA Volmaks (74.27 ± 12.50 ml, 44.66 ± 5.6 ml, $p=0.0001$), Volmin (38.72 ± 9.85 ml, 16.66 ± 2.52 ml, $p=0.0001$) ve Volprea (51.38 ± 13.9 ml, 24.93 ± 4.96 ml, $p=0.0001$) değerlerinde anlamlı artış saptanmıştır. Dinamik SA analizlerinde, SA PBV (0.31 ± 0.16 , 0.44 ± 0.08 , $p=0.02$), SA ABF (0.23 ± 0.07 , 0.30 ± 0.13 , $p=0.0001$) ve SA TBF (0.43 ± 0.12 , 0.61 ± 0.08 , $p=0.0001$) değerlerinin, HKMP olan hastalarda, sağlıklı grubu oranda belirgin olarak düşük olduğu saptanmıştır.**Sonuç:** HKMP'li hastalarda, SA'da fazik ve dinamik hacim değişiklikleri görülmektedir. 3B gerçek zamanlı ekokardiyografik inceleme, özellikle SA hacimlerinin detaylı ve güvenilir analizini sağlayan, yeni bir değerlendirme teknigidir.

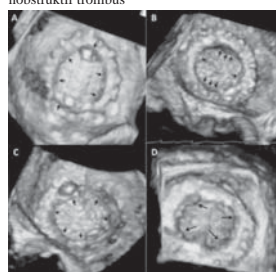
S-003

Left atrial volume analysis in hypertrophic cardiomyopathy by real time 3 dimensional echocardiography**Selen Yurdakul**, Burçak K. Avcı, Şükru Taylan Şahin, Bingül Dilekçi, Saide Aytékin*Department of Cardiology, İstanbul Bilim University Florence Nightingale Hospital, İstanbul*

S-004

Mitral mekanik protez kapaklarda nonobstrüktif anüler trombusun gerçek zamanlı üç boyutlu transozafajiyal ekokardiyografi ile incelenmesi ve klinik olaylarla ilişkisinin değerlendirilmesi**Mustafa Ozan Gürsoy**, Mehmet Ali Astarcıoğlu, Sabahattin Gündüz, Zübeyde Bayram, Beytullah Çakal, Süleyman Karaköyün, Macit Kalçık, Mahmut Yesin, Ahmet Çağrı Aykan, Rezzan Deniz Acar, Gökhan Kahveci, Mustafa Yıldız, Mehmet Özkan*Kartal Koşuyolu Yüksek İhtisas Eğitim ve Araştırma Hastanesi, Kardiyoloji Bölümü, İstanbul***Amaç:** İki boyutlu transozafajiyal ekokardiyografi (2B TOE) protez kapak trombusu (PKT) tansusunda altı standart olmasına rağmen nonobstrüktif PKT net görüntülenemeyebilir veya tanısı atlanabilir. Gerçek zamanlı 3 boyutlu transozafajiyal ekokardiyografi özellikle mitral protez kapaklarda atriyal yüzden mükemmel bakıus açısı sağlar. Bu çalışmada 2B TOE ile görüntülenemeyen ve GZ-3B TOE ile gösterilen anüler halkada yerlesmiş nonobstrüktif PKT'un ekokardiyografik özelliklerini ve klinik olaylarla ilişkisini araştırmayı hedefledik.**Metod:** Mitral mekanik protez kapaklı olan 1348 hasta sırasıyla 2B TTE, 2B TOE ve 3B TOE ile incelendi. Nonobstrüktif mitral PKT saptanan 218 hastadan 129'yu 2B TOE ile kısmen gösterebilirken, 89 hasta PKT sadece GZ-3B TOE ile gösterilebilmiştir ki primer çalışma grubunu oluşturan bu subgrubta anüler halkaya yerlesimli PKT'nin eko-morfolojik özellikleri (Şekil 1) ve eşlik eden olası tromboembolik olaylar (serebral, periferal, koroner vs.) araştırıldı. Sol atriyal ve/veya sol atriyal appendikste trombuslu olanlar ve ileri derecede spontan eko kontrastı olanlar çalışma dışı bırakıldı.**Bulgular:** Başvuru sırasında hastaların ($n=89$) %82'sinde yetersiz antikoagulasyon mevcut idi. Yedi hasta (%8) post-operatif (kapak cerrahisi) dönemde idi. Dört hasta gebe idi ve 8 hastada daha önce obstrüktif PKT nedentityle trombotik tedavi alma öyküsü mevcut idi. Yirmi-biri hastada (%24) geçirilmiş tromboembolik olay öyküsü var idi (12 TIA, 5 inme, 2 koroner emboli, 1 retinal emboli, 1 renal emboli). Tromboembolik olay öyküsü olan grupta anüler PKT kalınlığı tromboemboli olmayan gruba kıyasla daha fazlaydı (3.8 ± 0.9 mm vs. 2.6 ± 1.0 mm; $p<0.05$). Anüler PKT 15 hastada (%17) tüm anulustu yer alırken, 34 (%38) hastada anulusun %50'sinden fazlasını kapsıyordu. En az bir mentes trombozu 58 hastada (%65) mevcut idi. Kırk hastada (%45) anüler PKT sol atriyal appendiks komşuluğunda idi.**Sonuç:** GZ-3B TOE, obstrüktif olmayan ve anüler halkada yerlesmiş PKT'u olan hastalarda trombus anatomisi ve morfolojisi hakkında net bilgiler sağlanarak olası tromboembolik olaylar ve daha sık antikoagulasyon gerekliliğini açısından klinik seneye yol gösterici olabilir.

S-004

The role of real-time three-dimensional transesophageal echocardiography in characterization of mitral paraprosthetic leaks and associated clinical findings**Mustafa Ozan Gürsoy**, Mehmet Ali Astarcıoğlu, Tayyar Gökdöniz, Zübeyde Bayram, Beytullah Çakal, Süleyman Karaköyün, Macit Kalçık, Mahmut Yesin, Ahmet Çağrı Aykan, Rezzan Deniz Acar, Gökhan Kahveci, Mustafa Yıldız, Mehmet Özkan*Kartal Koşuyolu Yüksek İhtisas Training and Research Hospital, Cardiology Department, İstanbul***Şekil A-D.** Mitral protez kapak anulusunda yerlesimli anüler trombusun gerçek zamanlı 3 boyutlu transozafajiyal ekokardiyografi ile gösterilmesi

S-005

Üç-boyutlu transtorasik ekokardiyografi ile ölçülen sol atrial volüm ve fonksiyonlarının sol ventrikül diyastol sonu basıncı ile ilişkisinin değerlendirilmesi

Suzan Hatipoglu Akpinar, Tuba Unkun, Ruken Bengi Bakal, Onur Omaygenç, Yunus Emiroğlu, Tulay Bayram, Serbet Izci, Yeliz Kahraman, Nihal Özdemir

Kartal Koşuyolu Yüksek İhtisas Eğitim ve Araştırma Hastanesi, Kardiyoloji Bölümü, İstanbul

Amaç: Sol ventrikül diyastol sonu basıncı (SVDSB) birçok kardiyak hastalığın prognostik önemine sahip olan sol ventrikülün diyastolik fonksiyonuna hakkında önemli bir hemodinamik bilgidi. Sol atrial (SA) fonksiyon ventrikül dolusunun önemli bir göstergesidir. Bu çalışmanın amacı SVDSB ile gerçek zamanlı üç-boyutlu transtorasik ekokardiyografi (3B-TTE) ile belirlenen SA volumeninin ilişkisini incelermektir.

Yöntem-Bulgular: Çalışmaya kardiyak kateterizasyon için yönlendirilmiş 14'ü erkek, 15'i kadın olmak üzere 29 hasta dahil edildi. Hastaların demografik özellikler sorgulandı ve akut koroner sendrom, atrial fibrilasyon, orta ileri derecede kapak darlığı ve ya yetersizliği olan hastalar ile görüntü kalitesi yeterli olmayan hastalar çalışmadan dışlandı. Rutin ekokardiyografik ve full volume 3B-TTE görüntülerini kateterizasyon ile aynı içinde işlem öncesi kaydedildi. SA maksimal volumü (39.4 ± 9.7 ml), SA minimal volumü (18.6 ± 5.1 ml), atrial kontraksiyon öncesi SA volumü (24.9 ± 5.6 ml) ölçüldü ve SA maksimal volum indeksi (21.4 ± 5.8 ml), SA minimal volum indeksi (10.1 ± 9.9 ml), SA total boşalma oranı (52.7 ± 6.8 %), SA aktif boşalma oranı (25.8 ± 7.8 %) kayıtlı 3B-TTE görüntülerleri kullanılarak hesaplandı. SVDSB (16.5 ± 4.1 mm Hg) değerlerinin 3B-TTE ile belirlenen minimal SA volumü ($r: 0.44$, $p<0.05$), atrial kontraksiyon öncesi SV volumü ($r: 0.42$, $p<0.05$), SA maksimal volum indeksi ($r: 0.438$, $p<0.05$) ve SA minimal volum indeksi ($r: 0.55$, $p<0.01$) ile pozitif korelasyon gösterdiği tespit edildi.

Sonuç: Bu çalışmada 3B-TTE ile elde edilen sol atrium volumleri ile SVDSB'nın korele olduğunu göstermiş olduk. Volumetric SA incelemesi kalp kapak hastalığı ve atrial fibrilasyonu olmayan hastalarda diyastolik disfonksiyonu değerlendirmede önemli bir araç olabilir.

S-005

Relation of left ventricular end-diastolic pressure with left atrial volume and function assessed by real time three-dimensional echocardiography

Suzan Hatipoglu Akpinar, Tuba Unkun, Ruken Bengi Bakal, Onur Omaygenç, Yunus Emiroğlu, Tulay Bayram, Serbet Izci, Yeliz Kahraman, Nihal Özdemir

Department of Cardiology, Kartal Koşuyolu Yüksek İhtisas Training and Research Hospital, İstanbul

Aim: Left ventricular end-diastolic pressure (LVEDP) provides valuable hemodynamic information about left ventricular diastolic function that has prognostic implications for various cardiac diseases. Left atrial (LA) functions are important determinants of ventricular filling. The aim of the study was to examine the relation of LVEDP with LA volumes and functions assessed by real time three-dimensional echocardiography (RT3DE).

Methods-Results: The study included 29 subjects (14 males, 15 females) referred to cardiac catheterization. Patients' demographic parameters were recorded and patients with acute coronary syndrome, atrial fibrillation, moderate-to-severe valvular stenosis or regurgitation and insufficient imaging quality were excluded. Conventional echocardiography and full volume-RT3DE images were obtained on the same day before cardiac catheterization. LA maximal volume (39.4 ± 9.7 ml), minimal volume (18.6 ± 5.1 ml), LA volume before atrial contraction (24.9 ± 5.6 ml) were measured and LA maximal volume index (21.4 ± 5.8 ml), LA minimal volume index (10.1 ± 9.9 ml), LA total emptying fraction (52.7 ± 6.8 %), LA active emptying fraction (25.8 ± 7.8 %) were calculated by offline analysis of RT3DE images. LVEDP (16.5 ± 4.1 mm Hg) values were positively correlated with RT3DE minimal LA volume ($r: 0.44$, $p<0.05$), LA volume before atrial contraction ($r: 0.42$, $p<0.05$), LA maximal volume index ($r: 0.438$, $p<0.05$) and LA minimal volume index ($r: 0.55$, $p<0.01$).

Conclusion: Our study has shown that LVEDP is correlated with LA volumes and mechanical functions evaluated by RT3DE. Volumetric LA examination by RT3DE can be a valuable tool to evaluate diastolic dysfunction in patients without valvular heart disease and atrial fibrillation.

Girişimsel kardiyoloji

S-006

Pekütan yolla başarılı revaskülarize edilmiş kronik total oklüzyonlu hastaların işlem sonrası 1. ayda 2 boyutlu speckle tracking ve real time 3 boyutlu ekokardiyografiyle değerlendirilmesi

Ercan Erdoğan, Ahmet Bacaksız, Mehmet Akkaya, Abdurrahman Tasal, Mehmet Akif Vatankulu, Murat Turfan, Osman Sönmez, Gökhan Ertaş, Şeref Kul, Mehmet Ergelen, Hüseyin Uyarel, Ömer Göktokin

Beyazıt Üniverstitesi Tip Fakültesi, Kardiyoloji Anabilim Dalı, İstanbul

Giriş: Kronik total oklüzyonların (KTO) rekanalizasyonu sol ventrikül fonksiyonlarını ve surviyi iyileştirmekte, anjinayı azaltmaktadır, egzersiz kapasitesini artırmaktadır. Araşturmamızda perkütan yolla başarılı revaskülarize edilmiş kronik total oklüzyonlu hastaların birinci ayda kardiyak fonksiyonlarında ve miyokardiyal kontraktilitedeki değişimlerini 2D speckle tracking strain görüntüleme ve real time 3D (RT3DE) ekokardiyografi ile değerlendirmeyi amaçladık.

Metod: Çalışmaya 2011 Eylül ve Aralık ayları arasında revaskülarize edilmiş 25 KTO hasta dahil edildi. (LAD 8 hasta, LCX 9 hasta, RCA 8 hasta). İşlem öncesi ve işlem sonrası birinci ayda 2D stran analizi ve RT3DE inceleme Philips (iE33) ekokardiyografi cihazıyla yapıldı. RT3DE ile sol ventrikül ejeksiyon fraksiyonu (LVEF), sol ventrikül diyastol sonu (EDV), sistol sonu volumleri (ESV) ve 3D sistolik dissenkroni indeksi (SDI) değerlendirildi.

Bulgular: Hastalarda ortalama yaş 58 ± 11 , erkek cinsiyet 20 hasta (%80), ortalama vucut kitle indeksi 28.6 ± 3.8 saptanmıştır, diabetes mellitus 8 hastada (%32), hipertansiyon 22 hastada (%88), hiperlipidemi 24 hastada (%96), sigara kullanımı 3 hastada (%12) tespit edildi. İşlem öncesi CCS angina sınıfı $>=2$ olan 13 hasta (%52) mevcut iken işlem sonrası CCS angina sınıfı $>=2$ olan 0 hasta (%) saptandı. RT3DE ile değerlendirilen ortalama LVEF de anamlı artış ($55.7 \pm 6.9\%$; $59.9 \pm 7.6\%$; $p < 0.001$) saptanırken; EDV (76.7 ± 18.1 ; 69.9 ± 17.4 ml; $p < 0.001$), ESV (34.6 ± 12.2 ; 28.4 ± 10.6 ml; $p < 0.001$) ve 3D sistolik dissenkroni indeksinde ($6.8 \pm 3.7\%$; $4.3 \pm 3.3\%$; $p < 0.001$) anamlı azalma saptandı. Speckle tracking yöntemiyle baktılan Global longitudinal strain değerlerinde anamlı artış gösterildi ($-11.4 \pm 2.9\%$; $-12.9 \pm 3.1\%$; $p < 0.001$).

Sonuç: KTO'lu hastalarda başarılı revaskülarizasyon sonrası düzelen kan akımıyla hiberne olan miyokardiyon fonksiyonları ve miyokardiyal kontraktilité düzelleşmektektir. Ayrıca hastaların başlılı şekilde revaskülarize edilmesi angina sınıflarını iyileştirmektedir.

Interventional cardiology

S-006

Assessment of successfully recanalized chronic total occlusion patients by 2-dimensional speckle tracking and real-time three-dimensional echocardiography at 1 month post-PCI

Ercan Erdoğan, Ahmet Bacaksız, Mehmet Akkaya, Abdurrahman Tasal, Mehmet Akif Vatankulu, Murat Turfan, Osman Sönmez, Gökhan Ertaş, Şeref Kul, Mehmet Ergelen, Hüseyin Uyarel, Ömer Göktokin

Beyazıt Üniverstitesi Tip Fakültesi, Kardiyoloji Anabilim Dalı, İstanbul

Background: Successful recanalization of chronic total occlusion (CTO) has been associated with improved left ventricular function, improved survival, relief of angina and increased exercise capacity. We evaluated the changes in cardiac functions and myocardial contractility of patients with CTO by 2-dimensional speckle tracking and real-time three-dimensional echocardiography (RT3DE) at 1 month after successful recanalization of chronic total occlusion.

Method: Twenty-five patients who had successful PTCA of a total occlusion between September 2011 and December 2011 were included in this study (8 left anterior descending, 9 left circumflex, 8 right coronary artery). 2D strain analysis and RT3DE using iE33 (Philips) were performed before and 1 month after procedure. LV ejection fraction (LVEF), LV end-diastolic, end-systolic volumes and 3D systolic dyssynchrony index (SDI) were quantified. SDI was defined as follows: (standard deviation of time to minimal regional volume for 16 segments) $\times 100/RR$ duration.

Results: Patients had a mean age of 58 ± 11 years, 80% male, mean body mass index 28.6 ± 3.8 , 32% diabetes mellitus, 88% hypertension, 96% hyperlipidemia and 12% smoker. 13 patients (52%) had ≥ 2 CCS angina score before procedure, whereas no patients had ≥ 2 angina score after PCI. Mean LVEF increased (55.7 ± 6.9 to $59.9 \pm 7.6\%$; $p < 0.001$), end-diastolic volume (76.7 ± 18.1 ml to 69.9 ± 17.4 ml; $p < 0.001$) and end-systolic volume decreased significantly (34.6 ± 12.2 ml to 28.4 ± 10.6 ml; $p < 0.001$). SDI also decreased significantly (6.8 ± 3.7 to $4.3 \pm 3.3\%$; $p < 0.001$). Global longitudinal strain (S : -11.4 ± 2.9 to $-12.9 \pm 3.1\%$; $p < 0.001$) showed a significant increase.

Conclusion: Successful recanalization of chronic total occlusion improves the functions and contractility of hibernating myocardium by restoring blood flow. Recanalization also improves patients angina class.

S-007

Kronik tromboembolik pulmoner hypertansiyonda pulmoner tromboendarderektoni öncesi ve sonrası sol ventrikülün iki boyutlu strain ve strain rate görüntülemesi

Murat Sünbüll¹, Alper Kepez¹, Tarık Kivrak¹, Elif Eroğlu², Beste Özben¹, Bülent Mutlu¹

¹Marmara Üniversitesi Tip Fakültesi, Kardiyoloji Anabilim Dalı, İstanbul

²Yeditepe Üniversitesi Tip Fakültesi, Kardiyoloji Anabilim Dalı, İstanbul

Amaç: Kronik tromboembolik pulmoner hypertansiyonda (KTEPH) sol ventrikül (LV) fonksiyonları ve başarılı pulmoner tromboendarderektoni'ye (PTE) yanıt yaygın olarak değerlendirilmedi. Öncesi çalışmalarla iki boyutlu speckle tracking ekokardiyografi (2D STE) ile strain (S) ve strain rate (SR) ölçümlerinin, bölgeler miyokardiyal deformasyonun belirlenmesinde faydalı bir yöntem olduğu gösterilmiştir. Bu çalışmanın amacı KTEPH hastalarında PTE öncesi ve sonrası 2D STE ile LV S ve SR'ı değerlendirmektir.

Yöntem: Çalışmaya PTE planlanan 30 KTEPH (14 erkek, ortalama yaşı: 49.8±14.8 yıl) hastası alınmıştır. Tüm hastalar PTE işlemi öncesi ve 3 ay sonrasında standart ve 2D STE ile değerlendirildi.

Bulgular: LV ejeksiyon fraksiyonunda (EF) PTE öncesi ve sonrası farklılık saptanmadı (65.9±11.0, 63.3±8.8, p>0.300). 2D STE verileri Tablo 1'de gösterildi. Global S, basal ve mid septal S, basal, mid ve apikal lateral S PTE sonrası artımlı ditzeyde yükseldi. PTE sonrası apikal lateral segmentte artış dışında SR değişmedi.

Sonuç: Başarılı PTE sonrasında LV EF değişimse de global ve bölgesel LV deformasyonu artmaktadır. Sağ ventrikül basıncının azalmasına bağlı miyokardiyal değişiklikleri göstermede lateral duvar S'ının SR' den daha iyi olduğu görülmektedir.

Table 1. LV Strain (S) and strain rate (SR) verileri

	Bazal	Postoperatif	P değeri
Septal basal S	-15.1±5.4	-17.7±4.9	0.020
Septal mid S	-14.5±5.5	-16.7±4.6	0.032
Septal apikal S	-14.6±6.1	-14.8±5.4	0.844
Lateral basal S	-16.5±6.6	-20.4±5.5	0.009
Lateral mid S	-15.7±6.0	-20.2±6.3	0.001
Lateral apikal S	-17.0±5.9	-22.7±5.9	<0.001
Global S	-15.6±4.5	-18.8±3.6	<0.001
Septal basal SR	-1.21±0.39	-1.35±0.31	0.112
Septal mid SR	-1.05±0.27	-1.16±0.31	0.103
Septal apikal SR	-1.21±0.40	-1.43±0.44	0.054
Lateral basal SR	-1.80±0.47	-1.97±0.66	0.191
Lateral mid SR	-1.63±0.56	-1.74±0.70	0.284
Lateral apikal SR	-1.64±0.54	-1.89±0.59	0.023

Echocardiography

S-007

Two-dimensional strain and strain rate imaging of the left ventricle in chronic thromboembolic pulmonary hypertension before and after pulmonary thromboendarterectomy

Murat Sünbüll¹, Alper Kepez¹, Tarık Kivrak¹, Elif Eroğlu², Beste Özben¹, Bülent Mutlu¹

¹Department of Cardiology, Marmara University Faculty of Medicine, İstanbul

²Department of Cardiology, Yeditepe University Faculty of Medicine, İstanbul

Objective: Left ventricular (LV) function in chronic thromboembolic pulmonary hypertension (CTEPH) and its response to successful pulmonary thromboendarterectomy (PTE) has not been widely assessed. Previous studies have demonstrated that strain (S) and strain rate (SR) measurement by 2D speckle tracking echocardiography (2D STE) is a useful method to determine the regional myocardial deformation. The aim of the present study was to evaluate LV S and SR by 2D STE in CTEPH patients before and after PTE.

Methods: We evaluated 30 patients (14 male, mean age: 49.8±14.8 years) with CTEPH who were referred for PTE. All patients underwent standard and 2D speckle tracking echocardiography before and 3 months after the PTE procedure.

Results: LV ejection fraction (EF) was not different before and after PTE (65.9±11.0, 63.3±8.8, p=0.300). 2D STE data are shown in Table 1. Global S, basal and mid septal S, basal, mid, and apical lateral S were significantly increased following the PTE procedure. SR didn't change except the increase in apical lateral segment after the PTE procedure.

Conclusions: Although the LV EF doesn't change, the global and regional LV deformation increases after successful PTE. Lateral wall S seems to reflect the myocardial changes due to pressure unloading of right ventricle, better than SR.

Table 1. LV Strain (S) and strain rate (SR) data

	Bazal	Postoperatif	P değeri
Septal basal S	-15.1±5.4	-17.7±4.9	0.020
Septal mid S	-14.5±5.5	-16.7±4.6	0.032
Septal apikal S	-14.6±6.1	-14.8±5.4	0.844
Lateral basal S	-16.5±6.6	-20.4±5.5	0.009
Lateral mid S	-15.7±6.0	-20.2±6.3	0.001
Lateral apikal S	-17.0±5.9	-22.7±5.9	<0.001
Global S	-15.6±4.5	-18.8±3.6	<0.001
Septal basal SR	-1.21±0.39	-1.35±0.31	0.112
Septal mid SR	-1.05±0.27	-1.16±0.31	0.103
Septal apikal SR	-1.21±0.40	-1.43±0.44	0.054
Lateral basal SR	-1.80±0.47	-1.97±0.66	0.191
Lateral mid SR	-1.63±0.56	-1.74±0.70	0.284
Lateral apikal SR	-1.64±0.54	-1.89±0.59	0.023

S-008

Kronik tromboembolik pulmoner hypertansiyonda pulmoner tromboendarderektoni öncesi ve sonrası sağ ventrikülün iki boyutlu strain ve strain rate görüntülemesi

Murat Sünbüll¹, Alper Kepez¹, Tarık Kivrak¹, Elif Eroğlu², Beste Özben¹, Bülent Mutlu¹

¹Marmara Üniversitesi Tip Fakültesi, Kardiyoloji Anabilim Dalı, İstanbul

²Yeditepe Üniversitesi Tip Fakültesi, Kardiyoloji Anabilim Dalı, İstanbul

Amaç: İki boyutlu (2D) speckle tracking ekokardiyografi (STE) miyokardiyal deformasyonun değerlendirilmesinde başarılı şekilde kullanılmaktadır. Bu yöntemdeki sol ventrikül fonksiyonlarının değerlendirilmesinde kullanılmıştır. Bu çalışmanın amacı kronik tromboembolik pulmoner hypertansiyon (KTEPH) hastalarında pulmoner tromboendarderektoni (PTE) öncesi ve sonrası 2D STE ile RV strain (S) ve strain rate'ı (SR) değerlendirmektir.

Yöntem: Çalışmaya PTE planlanan 30 KTEPH (14 erkek, ortalama yaşı: 49.8 ± 14.8 yıl) hastası alınmıştır. Tüm hastalar PTE işlemi öncesi ve 3 ay sonrasında standart ve 2D STE ile değerlendirildi. RV S ve SR, RV lateral duvarın basal, mid ve apikal bölgelerinden ölçüldü.

Bulgular: Standart ekokardiyografi ve 2D STE verileri Tablo 1'de gösterildi. LV ejeksiyon fraksiyonunda (EF) PTE öncesi ve sonrası farklılık saptanmadı (65.9±11.0, 63.3±8.8, p>0.300). 2D STE verileri Tablo 1'de gösterildi. Konvensiyonel RV fonksiyonlarından PTE sonrası erken dönemde değişmedi. PTE sonrasında sağ ventrikül basal ve mid lateral S ve SR anamlı düzeye artr. PTE sonrası sağ ventrikül basal ve mid septal S artı da, septal SR değişmedi.

Sonuç: 2D STE ile sağ ventriküler miyokardda PTE sonrası basınç azalmasına bağlı bölgelerin bir yanıt gösterildi. Sağ ventrikül lateral duvar deformasyonunun PTE sonrası fonksiyonal iyileşmenin iyi bir belirtici olduğu gösterilmiştir.

Table 1. Standart ekokardiyografik Sağ ventrikül strain (S) ve strain rate (SR) data

	Bazal	Postoperatif	P değeri
TAPSE (mm)	13.2±3.7	14.0±3.8	0.400
MPI	0.67±0.36	0.53±0.15	0.085
Septal basal S	-15.1±5.4	-17.7±4.9	0.020
Septal mid S	-14.5±5.5	-16.7±4.6	0.032
Septal apikal S	-14.6±6.1	-14.8±5.4	0.844
Lateral basal S	-12.5±7.5	-16.9±6.6	0.002
Lateral mid S	-10.7±6.6	-15.3±6.1	0.001
Lateral apikal S	-11.5±5.2	-13.7±5.2	0.056
Global S	-13.4±5.0	-15.9±3.7	<0.001
Septal basal SR	-1.21±0.39	-1.35±0.31	0.112
Septal mid SR	-1.05±0.27	-1.16±0.31	0.103
Septal apikal SR	-1.21±0.40	-1.43±0.44	0.054
Lateral basal SR	-1.18±0.58	-1.69±0.57	<0.001
Lateral mid SR	-0.99±0.47	-1.42±0.45	<0.001
Lateral apikal SR	-1.22±0.41	-1.27±0.31	0.573

TAPSE: Triküspit aniler plann sistolik hareketi MPI: Myokardiyal performans indeksi

S-008

Two-dimensional strain and strain rate imaging of the right ventricle in chronic thromboembolic pulmonary hypertension before and after pulmonary thromboendarterectomy

Murat Sünbüll¹, Alper Kepez¹, Tarık Kivrak¹, Elif Eroğlu², Beste Özben¹, Bülent Mutlu¹

¹Department of Cardiology, Marmara University Faculty of Medicine, İstanbul

²Department of Cardiology, Yeditepe University Faculty of Medicine, İstanbul

Objective: Two-dimensional (2D) speckle tracking echocardiography (STE) was successfully used for the measurement of myocardial deformation. While this method has been frequently used to assess left ventricular function, it has rarely been used to examine right ventricular (RV) function. The aim of the present study was to evaluate RV strain (S) and strain rate (SR) by 2D STE in chronic thromboembolic pulmonary hypertension (CTEPH) before and after pulmonary thromboendarterectomy (PTE).

Methods: We evaluated 30 patients (14 male, mean age: 49.8 ± 14.8 years) with CTEPH who were referred for PTE. All patients underwent standard and 2D STE before and 3 months later from the PTE procedure. RV S and SR were measured in basal, mid, and apical segments of RV lateral wall.

Results: Standard echocardiographic and 2D STE data are shown in Table 1. Conventional RV function indices didn't change after PTE. Basal and mid lateral S and SR of RV were significantly increased after PTE. Basal and mid septal S of RV were also increased, however septal SR of RV didn't change after PTE.

Conclusions: Right ventricular myocardium shows a regional response to pressure unloading by PTE as demonstrated by 2D STE. RV lateral wall deformation indices seem to be good markers of functional improvement following PTE.

Table 1. Standard echocardiographic and RV strain (S) and strain rate (SR) data

	Bazal	Postoperatif	P değeri
TAPSE (mm)	13.2±3.7	14.0±3.8	0.400
MPI	0.67±0.36	0.53±0.15	0.085
Septal basal S	-15.1±5.4	-17.7±4.9	0.020
Septal mid S	-14.5±5.5	-16.7±4.6	0.032
Septal apikal S	-14.6±6.1	-14.8±5.4	0.844
Lateral basal S	-12.5±7.5	-16.9±6.6	0.002
Lateral mid S	-10.7±6.6	-15.3±6.1	0.001
Lateral apikal S	-11.5±5.2	-13.7±5.2	0.056
Global S	-13.4±5.0	-15.9±3.7	<0.001
Septal basal SR	-1.21±0.39	-1.35±0.31	0.112
Septal mid SR	-1.05±0.27	-1.16±0.31	0.103
Septal apikal SR	-1.21±0.40	-1.43±0.44	0.054
Lateral basal SR	-1.18±0.58	-1.69±0.57	<0.001
Lateral mid SR	-0.99±0.47	-1.42±0.45	<0.001
Lateral apikal SR	-1.22±0.41	-1.27±0.31	0.573

TAPSE: Triküspit aniler plann sistolik hareketi MPI: Myokardiyal performans index

S-009

İleri mitral darlığında perkütan mitral balon valvuloplastinin sol ventrikül sistolik fonksiyonları üzerine etkisinin strain ve strain rate ile değerlendirilmesi

Osman Bektaş¹, Ömer Çelik², İşıl Atasoy³, M Serdar Yılmazer¹, Alper Aydin¹, Mehmet Ertürk¹, Bahadır Dağdeviren¹

¹Maltepe Üniversitesi Tıp Fakültesi, Kardiyoloji Anabilim Dalı, İstanbul

²İstanbul Mehmet Akif Ersoy Eğitim Araştırma Hastanesi, Kardiyoloji Kliniği, İstanbul

³Dr. Siyami Ersek Göğüs, Kalp ve Damar Cerrahisi Eğitim ve Araştırma Hastanesi, Kardiyoloji Kliniği, İstanbul

Amaç: Mitral stenozu tedavisinde perkütan mitral balon valvuloplastinin (PMBV) yeri kantlanmıştır. PMBV sonrası kapak alanı, diastolik basıncı gradiyenti ve pulmoner arter basıncının olumlu yönde değiştiği bilinmemekle beraber sol ventrikül sistolik fonksiyonları üzerine etkisi net olarak değerlendirilmemiştir. Bizim çalışmamızda PMBV'ın sol ventrikül sistolik fonksiyonları üzerine etkisini strain ve strain rate ile değerlendirmeyi amaçladık.

Metod: Çalışmamızda 14'ü bayan, 6'sı erkek rotamatlı ileri mitral stenozlu, sinus ritmine sahip toplam 20 hasta aldı. Hastaların yaş ortalaması 44.4 'tü. Sol ventrikülün (LV) uzun ekseni strain ve strain rate'leri renkli doku Doppler ile(TDI) septum, lateral, inferior ve anterior bazalden işlem öncesi ve işlemenden 7 gün sonra ölçüldü.

Bulgular: İşlen öncesi ve sonrası konvansiyonel ekokardiyografi bulguları Tablo 1 de gösterilmiştir. Girişim öncesi ile kıyaslandığında septum geç diastolik strain ($p=0.020$), lateral sistolik strain ($p=0.024$), lateral erken diastolik strain rate ($p=0.008$), lateral geç diastolik strain rate ($p=0.001$), inferior sistolik strain ($p=0.016$) değerlerinde anamlı artış saptandı (Tablo 2). Genel olarak girişim öncesi total sistolik, erken ve geç diastolik strain değerleri girişim sonrası ile kıyaslandığında anamlı derecede arttıgı saptandı ($P=0.049$, $P=0.050$, $P=0.003$, sırasıyla). Strain rate analizlerde değerlerin değiştiğinden ise; erken ve geç diastolik strain rate değerlerinin anamlı olarak arttıgı ancak sistolik strain rate'ın anamlı düzeye deşşemediği görülmüştür ($P=0.047$, $P=0.038$, $P=0.130$, sırasıyla) (Tablo 3).

Sonuç: PMBV konvansiyonel yöntemlerle tespit edilemeyen LV fonksiyon bozukluğunu iyileştirdiği tespit edilmiştir.

Table 1. Mitral darlığında Girişim öncesi ve girişim sonrası 2D, Doppler ekokardiyografi bulguları

Değişkenler	Girişim Öncesi Ortalama SD	Girişim Sonrası Ortalama SD	P
Mitral Kapak Alanı (cm ²)	0,95±0,28	2,48±0,37	<0,001
Maksimal Gradient	19,79±6,02	10,988±2,886	0,002
Ortalama Gradient	9,77±5,23	4,712±2,02	0,007
Aort Kapak İleri Akım Hizi	1,07±0,10	1,447±0,310	0,007
Pulmoner Kapak İleri Akım Hizi	0,718±0,166	0,988±0,216	<0,001
Tahmini Pulmoner Arter Basıncı	44,4±14,526	36,845±3,94	<0,001
LVEF %	62±3,5	64±4,2	0,552

Table 2. Mitral darlığında işlem öncesi ve işlem sonrası sol ventrikül strain - strain rate bulguları

Değişken	Girişim Öncesi ortalama ± SD	Girişim sonrası ortalama ± SD	P
Septum Sistolik Strain	-15,65±5,81	-18,05±3,86	0,340
Septum Sistolik Strain Rate	-1,56±0,7	-1,626±0,735	0,579
Septum Erken Diastolik Strain	6,875±3,66	8,612±3,84	0,269
Septum Erken Diastolik Strain Rate	1,513±0,548	1,663±0,472	0,336
Septum Geç Diastolik Strain	7,700±4,232	10,850±4,439	0,020
Septum Geç Diastolik Strain Rate	1,745±0,315	1,676±0,587	0,728
Lateral Sistolik Strain	-13,362±2,85	-18,362±3,85	0,024
Lateral Sistolik Strain Rate	-1,545±0,515	-1,578±0,445	0,815
Lateral Erken Diastolik Strain	6,087±3,397	7,812±3,007	0,076
Lateral Erken Diastolik Strain Rate	1,248±0,618	1,593±0,599	0,008
Lateral Geç Diastolik Strain	7,787±4,707	11,525±4,51	0,121
Lateral Geç Diastolik Strain Rate	1,142±0,407	1,822±0,400	0,001
Inferior Sistolik Strain	-10,822±5,103	-14,675±5,274	0,016
Inferior Sistolik Strain Rate	-1,307±1,199	-1,687±0,709	0,203
Inferior Erken Diastolik Strain	7,175±3,604	9,237±3,490	0,067
Inferior Erken Diastolik Strain Rate	1,421±0,327	1,688±0,494	0,191
Inferior Geç Diastolik Strain	7,825±4,221	9,112±4,79	0,409
Inferior Geç Diastolik Strain Rate	1,472±0,51	1,588±0,657	0,213
Anterior Sistolik Strain	-15,207±5,812	-15,175±3,837	0,990
Anterior Sistolik Strain Rate	-1,547±0,59	-1,676±0,692	0,211
Anterior Erken Diastolik Strain	7,476±3,39	6,675±1,637	0,544
Anterior Erken Diastolik Strain Rate	1,363±0,323	1,481±0,476	0,414
Anterior Geç Diastolik Strain	6,850±2,746	7,075±1,945	0,775
Anterior Geç Diastolik Strain Rate	1,332±0,554	1,457±0,741	0,452

Table 3. Mitral darlığında işlem öncesi ve işlem sonrası sol ventrikül total strain - strain rate bulguları

Değişkenler	Girişim Öncesi Ortalama ± Std. Sapma	Girişim Sonrası Ortalama ± Std. Sapma	P
Total Sistolik Strain	-13,75±3,36	-16,57±3,35	0,049
Total Erken Diastolik Strain	6,90±2,11	8,084±1,535	0,050
Total Geç Diastolik Strain	7,54±2,91	9,64±2,70	0,003
Total Sistolik Strain Rate	-1,49±0,62	-1,64±0,57	0,130
Total Erken Diastolik Strain Rate	1,39±0,35	1,61±0,37	0,047
Total Geç Diastolik Strain Rate	1,42±0,18	1,64±0,34	0,038

S-009

In severe mitral stenosis evaluation the effects of percutaneous mitral balloon valvuloplasty on left ventricular systolic function with strain and strain rate

Osman Bektaş¹, Ömer Çelik², İşıl Atasoy³, M Serdar Yılmazer¹, Alper Aydin¹, Mehmet Ertürk¹, Bahadır Dağdeviren¹

¹Department of Cardiology, Maltepe University Faculty of Medicine, İstanbul

²Department of Cardiology, İstanbul Mehmet Akif Ersoy Training and Research Hospital, İstanbul

³Siyami Ersek Thoracic, and Cardiovascular Surgery, Training and Research Hospital, Division of Cardiology, İstanbul

Objective: In the treatment of mitral stenosis, percutaneous mitral balloon valvuloplasty (PMBC) has a proven place. Mitral valve area , diastolic pressure gradient and pulmonary artery pressure values improve with PMBC but the net effect of PMBC on left ventricular systolic function haven't assessed yet.In our study, we aim to asses the effect of PMBC on left ventricular systolic function with strain and strain rate.

Methods: In our study, 14 women, 6 men with advanced rheumatic mitral stenosis who are in sinus rhythm with a total of 20 patients included. The average age of patients was 44.4, respectively. Left ventricular (LV) long-axis strain and strain rate values of septum,lateral,inferior and anterobasal walls assed with coloured tissue doppler imaging (TDI) before PMBC and 7 days after the procedure.

Results: Pre-and post-conventional echocardiographic findings shown in Table 1. When compared with the preoperative values; late diastolic strain ($p = 0.020$), lateral systolic strain ($p = 0.024$), lateral early diastolic strain rate ($p = 0.008$), lateral late diastolic strain rate ($p = 0.001$), inferior systolic strain ($p = 0.016$) showed a significant increase (Table 2). In general, preoperative total systolic, early and late diastolic strain values were significantly increased compared with after intervention ($P = 0.049$, $P = 0.050$, $P = 0.003$, respectively). When we assessed strain rate analysis; early and late diastolic strain rate values increased significantly, but no significant change in systolic strain rate was observed.($P = 0.047$, $P = 0.038$, $P = 0.130$, respectively) (Table 3).

Conclusion: Improvement in LV dysfunction which can not be detected by conventional methods have been identified with strain and strain rate analysis after PMBC

Table 1. Mitral Stenosis Pre and Post-Conventional 2D, Doppler Echocardiography Findings

Variables	Pre-conventional Mean SD	Post-conventional Mean SD	P
Mitral Valve Area (cm ²)	0,95±0,28	2,48±0,37	<0,001
Maximal Gradient	19,79±6,02	10,988±2,886	0,002
Average Gradient	9,77±5,23	4,712±2,02	0,007
Aortic valve forward flow velocity	1,07±0,10	1,447±0,310	0,007
Pulmonary Valve Forward flow velocity	0,718±0,166	0,988±0,216	<0,001
Estimated Pulmonary Artery Pressure	44,4±14,526	36,845±3,94	<0,001
LVEF %	62±3,5	64±4,2	0,552

Table 2. In Mitral Stenosis Pre and Post-Conventional Left Ventricular Strain - Strain Rate Findings

Variables	Pre-conventional Mean SD	Post-conventional Mean SD	P
Septum Systolic Strain	-15,65±5,81	-18,05±3,86	0,340
Septum Systolic Strain Rate	-1,56±0,7	-1,626±0,735	0,579
Septum Early Diastolic Strain	6,875±3,66	8,612±3,84	0,269
Septum Early Diastolic Strain Rate	1,513±0,548	1,663±0,472	0,336
Septum Late Diastolic Strain	7,700±4,232	10,850±4,439	0,020
Septum Late Diastolic Strain Rate	1,745±0,315	1,676±0,587	0,728
Lateral Systolic Strain	-13,362±2,85	-18,362±3,85	0,024
Lateral Systolic Strain Rate	-1,545±0,515	-1,578±0,445	0,815
Lateral Early Diastolic Strain	6,087±3,397	7,812±3,007	0,076
Lateral Early Diastolic Strain Rate	1,248±0,618	1,593±0,599	0,008
Lateral Late Diastolic Strain	7,787±4,707	11,525±4,51	0,121
Lateral Late Diastolic Strain Rate	1,142±0,407	1,822±0,400	0,001
Inferior Systolic Strain	-10,822±5,103	-14,675±5,274	0,016
Inferior Systolic Strain Rate	-1,307±1,199	-1,687±0,709	0,203
Inferior Early Diastolic Strain	7,175±3,604	9,237±3,490	0,067
Inferior Early Diastolic Strain Rate	1,421±0,327	1,688±0,494	0,191
Inferior Late Diastolic Strain	7,825±4,221	9,112±4,79	0,409
Inferior Late Diastolic Strain Rate	1,472±0,51	1,588±0,657	0,213
Anterior Systolic Strain	-15,207±5,812	-15,175±3,837	0,990
Anterior Systolic Strain Rate	-1,547±0,59	-1,676±0,692	0,211
Anterior Early Diastolic Strain	7,476±3,39	6,675±1,637	0,544
Anterior Early Diastolic Strain Rate	1,363±0,323	1,481±0,476	0,414
Anterior Late Diastolic Strain	6,850±2,746	7,075±1,945	0,775
Anterior Late Diastolic Strain Rate	1,332±0,554	1,457±0,741	0,452

Table 3. In Mitral Stenosis Pre and Post-Conventional Left Ventricular Total Strain - Strain Rate Findings

Variables	Pre-conventional Mean SD	Post-conventional Mean SD	P
Total Systolic Strain	-13,75±3,36	-16,57±3,35	0,049
Total Early Diastolic Strain	6,90±2,11	8,084±1,535	0,050
Total Geç Diastolik Strain	7,54±2,91	9,64±2,70	0,003
Total Sistolik Strain Rate	-1,49±0,62	-1,64±0,57	0,130
Total Erken Diastolik Strain Rate	1,39±0,35	1,61±0,37	0,047
Total Geç Diastolik Strain Rate	1,42±0,18	1,64±0,34	0,038

S-010

Orta dereceli koroner arter lezyonlarının dobutamin stres ekokardiyografide strain değerleri ve stres sonrası kalp tipi yağ asidi bağlayıcı protein seviyeleri ile değerlendirilmesi

Bekir Çalapkorur¹, Ahmet Çelik², Şaban Keleşoğlu¹, Orhan Doğdu¹, Abdurrahman Oğuzhan¹, Mehmet Güngör Kaya¹, İbrahim Özdoğu¹

¹Erciyes Üniversitesi Tip Fakültesi Kardiyoloji Anabilim Dalı, Kayseri

²Elazığ Eğitim ve Araştırma Hastanesi, Kardiyoloji Servisi, Elazığ

Amaç: İnvazif olmayan testler koroner arter hastalığı (KAH) tanısında, прогноз tayininde ve revascularizasyon öncesi iskemi captansından sıklıkla kullanılmaktadır. Non-invazif testler içerisinde dobutamin stres ekokardiyografisi (DSE) düşük maliyetli, teknarlanabilir ve iskemi lokalizasyonunu belirlemesinden öne çıkmaktadır. Ancak DSE'nin görsel değerlendirmesi subjektif ve deneyim bağımlıdır. Ayrıca tek ve orta dereceli koroner arter lezyonlarında DSE'nin duyarlılığı azalmaktadır. Doku döpler bası strain ve strain rate (SR) görünütmelenen DSE'ye kullanımını, DSE değerlendirmesini daha objektif kılmaktadır. Iskemi belirteceklerinin non-invazif testlerle kombinasyonu yoğun olarak araştırılmıştır. Iskemi belirteçleri içerisinde kalp tipi yağ asidi bağlayıcı protein (KYABP), iskemiyle hassas ve hızlı şekilde yükselmeleri ile öne plana çıkmaktadır. Bu çalışmada kararlı angina pectoris (KAP) nedeniley koroner anjyo yapılan, tek koroner damarında orta dereceli lezyon (%40-70) tespit edilen, fraksiyonel akım rezervi (FAR) ölçümlü planlanan hastalara DSE yapılmıştır. DSE'de strain ve SR değerlerine bakılmıştır. DSE öncesi ve 4 saat sonrasında KYABP bakılmıştır. Çalışmamızda DSE'de strain değerlerinin ve KYABP seviyelerinin FAR ile olan ilişkisi araştırılmıştır.

Gereç-Yöntem: 31 hasta çalışmaya alınmıştır. KAG sonrası tek damarında orta dereceli lezyonu bulunan ve FAR kararı verilen hastalara DSE yapılmıştır. DSE'de hedef kalp hızı (220-hasta yaşı) $x 0,85$ olarak hesaplanmıştır. 10 mcg/kg/dk dozunda dobutamin infüzyonuna başlanmıştır, 40 mcg/kg/dk dozuna ulaşılınca kadar her 3 dakikada bir doz ikinci katlanmıştır. Gerekirse $0,5 \text{ mg}$ atropin uygulanmış ve hedef kalp hızına ulaşılınca kadar tekrar edilmiştir. İstirahat, düşük doz ve yüksek doz görüntüler kayıt edilmiştir. Suçlu segmentlerde strain, SR, sistol sonu strain (SSS) ve SSS indeks değerleri hesaplanmıştır. DSE öncesinde ve 4 saat sonrasında KYABP çalışılmak üzere örnekler alınmıştır.

Bulgular: FAR değerlerine göre 16 hasta kritik, 15 hasta kritik olmayan lezyonları sahiptir. Doku döpler değerlerinde iki grup arasında fark izlenmedi. Bazal ve apikal segmentlerde, dobutamin stres ile kritik grupta anlamlı olarak strain değerleri daha azdır (tablo 1). SR değerleri, kritik grupta (düşük doz bazal segment hariç), dobutamin stres ile tüm segmentlerde daha yükseldik bulmuştur (tablo 2). SSS indekste kritik grupta dobutamin stresi anlamlı olarak artma izlenmiştir (tablo 3). KYABP değerlerinde DSE sonrası anlamsız olarak, kritik grupta artma, kritik olmayan grupta azalma izlenmiştir (tablo 4). Bazal, orta ve apikal segmentler için hesaplanan ortalama SR ve SSS indeks değerleri, kritikliği %81 duyarlılıkla ve %80 özgürlükle tahmin etmektedir.

Sonuç: DSE'de strain ve SR kullanılmıştır orta dereceli koroner lezyonların değerlendirilmesinde uygun ve güvenilir olduğu bulunmuştur. DSE sonrası KYABP değerleri ise tümit vericidir. Ancak özellikle daha yaygın KAH bulunan hastalarda araştırılması gerekmektedir.

Table 1. DSE safhalarına ve segmentlere göre strain değerleri

Segment	DSE safhaları	Kritik olan grup (n=16)	Kritik olmayan grup (n=15)	P değeri
Bazal	İstirahat	-18.8 ± 5.1	-18.1 ± 4.7	0.708
Bazal	Düşük	-14.0 ± 6.2	-19.7 ± 6.6	0.020
Bazal	Yüksek	-13.0 ± 5.2	-18.6 ± 4.9	0.006
Orta	İstirahat	-17.1 ± 5.0	-17.4 ± 5.6	0.860
Orta	Düşük	-15.3 ± 7.1	-18.9 ± 5.7	0.139
Orta	Yüksek	-12.3 ± 5.3	-14.8 ± 5.5	0.223
Apikal	İstirahat	-13.8 ± 7.8	-16.8 ± 7.8	0.296
Apikal	Düşük	-13.2 ± 4.4	-19.2 ± 6.0	0.004
Apikal	Yüksek	-13.9 ± 4.3	-18.0 ± 6.2	0.047

Strain birimi: %

Table 2. DSE safhalarına ve segmentlere göre SR değerleri

Segment	DSE safhaları	Kritik olan grup (n=16)	Kritik olmayan grup (n=15)	P değeri
Bazal	İstirahat	-1,22 ± 0,48	-1,23 ± 0,40	0,924
Bazal	Düşük	-1,35 ± 0,35	-1,51 ± 0,35	0,224
Bazal	Yüksek	-1,38 ± 0,40	-1,85 ± 0,61	0,020
Orta	İstirahat	-1,11 ± 0,44	-1,20 ± 0,35	0,507
Orta	Düşük	-1,20 ± 0,40	-1,68 ± 0,33	0,001
Orta	Yüksek	-1,49 ± 0,43	-2,06 ± 0,39	0,001
Apikal	İstirahat	-1,04 ± 0,49	-1,23 ± 0,35	0,225
Apikal	Düşük	-1,08 ± 0,50	-1,74 ± 0,37	0,001
Apikal	Yüksek	-1,48 ± 0,35	-2,17 ± 0,44	0,001

Strain Rate Birimi: s^{-1}

Table 3. DSE safhalarına ve segmentlere göre sistol sonu strain indeks değerleri

Segment	DSE safhaları	Kritik grup (n=16)	Kritik olmayan grup (n=15)	P değeri
Bazal	İstirahat	0,04 ± 0,09	0,01 ± 0,05	0,325
Bazal	Düşük	0,22 ± 0,15	0,03 ± 0,11	0,002
Bazal	Yüksek	0,23 ± 0,18	0,02 ± 0,04	0,001
Orta	İstirahat	0,10 ± 0,17	0,03 ± 0,13	0,122
Orta	Düşük	0,17 ± 0,21	0,01 ± 0,03	0,001
Orta	Yüksek	0,29 ± 0,21	0,08 ± 0,17	0,005
Apikal	İstirahat	0,03 ± 0,04	0,01 ± 0,04	0,241
Apikal	Düşük	0,18 ± 0,23	0,03 ± 0,10	0,007
Apikal	Yüksek	0,20 ± 0,18	0,04 ± 0,12	0,030

Table 4. Başlangıç ve DSE sonrası 4 saat KYABP ve değişim değerleri

	Kritik grup (n=16)	Kritik olmayan grup (n=15)	P değeri
Başlangıç KYABP (pg/ml)	4422 ± 2828	3777 ± 2540	0,510
DSE Sonrası 4. Saat (pg/ml)	4783 ± 3708	3183 ± 1721	0,138
Bazal ve 4. Saat Değişim	360 ± 1985	-593 ± 1292	0,126

KYABP: Kalp tipi yağ asidi bağlayıcı protein, DSE: Dobutamin stres ekokardiyografi

S-010

Assessment of intermediate coronary artery lesions with strain imaging and heart type fatty acid binding protein levels in dobutamine stress echocardiography

Bekir Çalapkorur¹, Ahmet Çelik², Şaban Keleşoğlu¹, Orhan Doğdu¹, Abdurrahman Oğuzhan¹, Mehmet Güngör Kaya¹, İbrahim Özdoğu¹

¹Department of Cardiology, Erciyes University Faculty of Medicine, Kayseri

²Department of Cardiology, Elazığ Training and Research Hospital, Elazığ

Aim: Dobutamine stress echocardiography is a valuable test because of low-cost, reproducible, and determination of the localization of ischemia. The diagnostic sensitivity of dobutamine stress echocardiography in single vessel intermediate lesions is low. Tissue Doppler-based strain and strain rate in dobutamine stress echocardiography makes more objective assessment of dobutamine stress echocardiography. Also there are studies to increase the diagnostic sensitivity of dobutamine stress echocardiography. Heart-type fatty acid-binding protein is a valuable marker because of sensitive and rapid marker for ischemia. We performed dobutamine stress echocardiography to stable angina pectoris patients with single, intermediate lesions which were found in coronary angiography. Also fractional flow reserve performed to patients. We measured strain and strain rate. Also we studied fatty acid-binding protein before and four hours after DSE.

Material-Method: 31 patients were recruited in this study. Dobutamine infusion was started at a dose of 10 mcg/kg/min , and dose was doubled until it reaches a dose of 40 mcg/kg/min every 3 minutes. If necessary, $0,5 \text{ mg}$ atropine applied and repeated until to reach to target dose. Rest, low and high dose dobutamine stages were recorded. Strain, SR, post systolic strain and post systolic strain index were measured at culprit segments. Blood samples were obtained at before and four hours after dobutamine stress echocardiography for studying fatty acid binding protein.

Results: According to fractional flow reserve, 16 patients had critical lesions, 15 patients had non-critical lesions. Tissue Doppler values were not different between the two groups at baseline and stress stages. In basal and apical segments, strain values were significantly low in the critical group with dobutamine stress (table 1). Strain rate values (except basal segment of low-dose dobutamine stress) were significantly low in the critical group in all segments with dobutamine stress (table 2). Post systolic strain index significantly increased in the critical group more than non-critical group with dobutamine stress (table 3). Baseline fatty acid binding protein levels were similar in both two groups (table 4). Four hour after dobutamine stress echocardiography, fatty acid binding protein levels were not significantly different in both groups. Strain rate and post systolic strain index threshold values were determined to predict to criticism. The threshold levels predicted to criticism with 81% sensitivity and 80% specificity.

Conclusion: The use of strain and strain rate in dobutamine stress echocardiography is feasible and reliable method for assessment of intermediate coronary artery lesions. Fatty acid binding protein levels after dobutamine stress echocardiography is promising. However, further studies need especially in patients with extended coronary artery disease for use of fatty acid binding protein in dobutamine stress echocardiography.

Table 1. Strain values according to segments and DSE stages

Segment	DSE stages	Critical group (n=16)	Non-critical Group (n=15)	P value
Basal	Rest	-18.8 ± 5.1	-18.1 ± 4.7	0.708
Basal	Low	-14.0 ± 6.2	-19.7 ± 6.6	0.020
Basal	High	-13.0 ± 5.2	-18.6 ± 4.9	0.006
Mid	Rest	-17.1 ± 5.0	-17.4 ± 5.6	0.860
Mid	Low	-15.3 ± 7.1	-18.9 ± 5.7	0.139
Mid	High	-12.3 ± 5.3	-14.8 ± 5.5	0.223
Apical	Rest	-13.8 ± 7.8	-16.8 ± 7.8	0.296
Apical	Low	-13.2 ± 4.4	-19.2 ± 6.0	0.004
Apical	High	-13.9 ± 4.3	-18.0 ± 6.2	0.047

Strain unit: %

Table 2. Strain rate values according to segments and DSE stages

Segment	DSE Stages	Critical Group (n=16)	Non-critical Group (n=15)	P value
Basal	Rest	-1,22 ± 0,48	-1,23 ± 0,40	0,924
Basal	Low	-1,35 ± 0,35	-1,51 ± 0,35	0,224
Basal	High	-1,38 ± 0,40	-1,85 ± 0,61	0,020
Mid	Rest	-1,11 ± 0,44	-1,20 ± 0,35	0,507
Mid	Low	-1,20 ± 0,40	-1,68 ± 0,33	0,001
Mid	High	-1,49 ± 0,43	-2,06 ± 0,39	0,001
Apical	Rest	-1,04 ± 0,49	-1,23 ± 0,35	0,225
Apical	Low	-1,08 ± 0,50	-1,74 ± 0,37	0,001
Apical	High	-1,48 ± 0,35	-2,17 ± 0,44	0,001

Strain Rate Birimi: s^{-1}

Table 3. Post systolic strain index according to segments and DSE stages

Segment	DSE Stages	Critical group (n=16)	Non-critical group (N=15)	P value
Basal	Rest	0,04 ± 0,09	0,01 ± 0,05	0,325
Basal	Low	0,22 ± 0,15	0,03 ± 0,11	0,002
Basal	High	0,23 ± 0,18	0,02 ± 0,04	0,001
Mid	Rest	0,10 ± 0,17	0,03 ± 0,13	0,122
Mid	Low	0,17 ± 0,21	0,01 ± 0,03	0,001
Mid	High	0,29 ± 0,21	0,08 ± 0,17	0,005
Apical	Rest	0,03 ± 0,04	0,01 ± 0,04	0,241
Apical	Low	0,18 ± 0,23	0,03 ± 0,10	0,007
Apical	High	0,20 ± 0,18	0,04 ± 0,12	0,030

Table 4. Baseline H-FABP levels and 4 hour after DSE

	Critical group (n=16)	Non-critical group (n=15)	P value
Baseline H-FABP (pg/ml)	4422 ± 2828	3777 ± 2540	0,510
After 4 hour DSE (pg/ml)	4783 ± 3708	3183 ± 1721	0,138
Difference between baseline and hour after DSE	360 ± 1985	-593 ± 1292	0,126

KYABP: Kalp tipi yağ asidi bağlayıcı protein, DSE: Dobutamin stres ekokardiyografi

S-011

Mitral darlığı ciddiyetinin sol ventrikül sistolik fonksiyonları üzerine etkisini i̇zovolumik miyokardiyal akselerasyon ile değerlendirilmesi

Mehmet Ertürk, Hale Ünal Aksu, Ömer Çelik, Mehmet Güç, Fatih Uzun, İbrahim Faruk Aktürk, Ahmet Arif Yalçın, Ali Kemal Kalkan, Özgür Sürgüt, Mustafa Kemal Erol

İstanbul Mehmet Akif Ersoy Eğitim Araştırma Hastanesi, Kardiyoloji Kliniği, İstanbul

Amaç: Mitral darlığı olan hastalarda sol ventrikül (SV) fonksiyonlarındaki değişimin geçirilmis romatizmal tutuluma ilişkili olduğu daha önceki çalışmalarla gösterilmekle beraber, ekokardiografik ve hemodinamik parametrelerle belirilen stenozun derecesinin bu değişime katkısı net olarak değerlendirilmemiştir. Doku Doppler yöntemiyle ölçülen izovolumik miyokardiyal akselerasyon (IVA) sol ventrikülün izovolumik kontraksiyon fazında oluşan, kısmen ve ard yükten bağımsız olan ve miyokardiyal kontraktürlüteyi gösteren bir parametredir. Bu çalışmada mitral darlık derecesinin SV fonksiyonları üzerine etkisini IVA ile değerlendirilmeye amaçladık.

Metod: Çalışmamızda mitral darlığına sahip 62 hasta ve 20 sağlıklı gönüllü olmak üzere toplam 82 kişi aldı. Mitral darlığına sahip hastalar kapak alanı ve ortalama gradiente değerlerine göre üç gruba (hafif, orta, ileri) ayrıldı. Tüm olguların iki boyutlu, M- mode ve Doppler ekokardiografik parametreleri ölçüldü. Ayrıca Doku Doppler ile sol ventrikül lateral ve septal mitral annulus sistolik hızları (IVV: izovolumik kasılma sırasında zirve miyokard hızı, Sm: ejeksiyon zamanında ölçülen zirve akım hızı), diyastolik hızlar (Em: erken, Am: geç diyastolik zirve akımları) ve zamanlar (IVRT: Izovolumetrik gevşeme süresi, IVCT: Izovolumetrik kasılma süresi, ET: Ejeksiyon süresi, AT: izovolumik akselerasyon zamanı) ölçüldü. Lateral ve septal mitral annulus ölçümlerinin ortalaması alınarak global değerler elde edildi.

Izovolumik akselerasyon hızı (IVA); IVV/ AT bölümnesiyle hesaplandı.

Miyokardiyal performans indeksi (MPI); IVRT+IVCT/ET formülüyle hesaplandı

Bulgular: Grupların demografik ve temel ekokardiografik ölçüm sonuçları tablo 1 de özetlenmiştir. Sistolik (IVV,Sm, IVA) ve diyastolik (Em, Am, Em/Am) doku Doppler parametreleri mitral stenoz grupplarında kontrol grubuna göre anlamlı derecede düşüktü. Sm ve IVA mitral darlığının ciddiyeti artukça azalmakta ancak hafif, orta ve ileri darlık grupları arasındaki fark istatistiksel anlamıyla ulaşmamaktaydı. IVV hafif ile ileri darlık arasında anlamlı derecede farklı iken, hafif ile orta ve orta ile ileri darlık arasındaki fark istatistiksel olarak anlamlı değildi. (tablo 2).

Sonuç: Çalışmamızda IVA ile değerlendirilen sol ventrikül sistolik fonksiyonlarının mitral darlığında kontrol grubuna göre azaldığı, bu azalmanın mitral stenozun derecesinden bağımsız olduğunu gösterdik.

Tablo 1. Hastaların ve kontrol grubunun demografik özellikleri ve temel ekokardiografi parametreleri

	hafif mitral darlığı (n=21)	orta mitral darlığı (n=21)	ileri mitral darlığı (n=20)	kontrol grubu (n=20)	p değeri
yaş, yıl	40±9	41±7	34±9	36±9	.051
kadın,n(%)	20 (95.2)	19(90.5)	17(85)	16(80)	.451
VKI (kg/m ²)	29±6	27±3	27±5	27±4	.054
SKB (mmHg)	122±12	115±11	115±9	120±10	.119
DKB (mmHg)	75±10	71±9	72±9	73±9	.546
KH (vuru/dk)	80±12	78±10	80±11	80±7	.744
sigara,n(%)	2(9.5)	1(4.8)	2(10)	5(25)	.255
Hipertansiyon,n(%)	5(23.8)	5(23.8)	2(10)	3(15)	.568
Diyabet,n(%)	2(9.5)	1(4.8)	0	0	.213
SVSC (mm ⁹)	30±4	27±4	29±3	27±4	.092
SVDC(mm)	48±5	47±5	47±5	45±5	.403
SV EF(%)	63±3	64±2	64±3	64±3	.114
SAÇ(mm)	39±7	41±4	45±6	30±4	<.001*
TPAB (mmHg)	32.38±6.03	39.14±9.68	49.70±14.35	24.75±3.67	<.001o
MKA (cm ²)					
Planimetrik	1.85±0.25	1.24±0.10	0.82±0.11		<.001o
Basınç yarılmasına zamanı	1.81±0.20	1.26±0.10	0.85±0.11		<.001o
Maksimalgradient (mmHg)	10.81±3.74	16.24±3.88	27.05±8.06		<.001o
Ortalamagradient (mmHg)	5.63±1.83	8.86±2.67	17.90±5.71		<.001o

*VKİ: Vucut kitle indeksi, SKB: Sistolik kan basıncı, DKB: Diyastolik kan basıncı, KH: Kalp hızı, SVSC: Sol ventrikül sistolik somu çapı, SVDC: Sol ventrikül diyastolik somu çapı, SV EF: Ejeksiyon fraksiyonu, SAÇ: Sol atriyum çapı, TPAB: Tahmini pulmoner arter basıncı, MKA: Mitral kapak alanı *, Kontrol grubu ile tüm gruplar arasında p<0.001, hafif ile orta darlık arasında p=0.816, hafif ile ileri darlık arasında p=0.002 orta ile ileri darlık arasında p=0.027 o: Tüm grupların kendi arasındaki p<0.001.*

Tablo 2. Mitral stenozu ve kontrol grubunun doku Doppler bulguları

	hafif mitral darlığı (n=21)	orta mitral darlığı (n=21)	ileri mitral darlığı (n=20)	kontrol grubu (n=20)	p değeri
IVV (mm/sn)	5.6±0.9	5.2±0.8	4.9±0.7	6.7±1.4	<.001*
AT (msn)	22.2±4.2	21.8±3.8	22.0±4.5	21.7±5.1	.967
IVA (m/sn ²)	2.7±0.8	2.5±0.6	2.3±0.6	3.4±1.1	.001**
Sm (mm/sn)	7.9±1.2	7.3±1.3	7.2±1.3	9.5±1.4	<.001***
Em (mm/sn)	7.2±3.2	5.4±1.4	4.9±1.0	13.0±3.1	<.001&
Am(mm/sn)	8.8±1.9	7.8±1.7	7.1±1.3	9.6±1.6	<.001&&
Em/Am oranı	0.9±0.4	0.7±0.3	0.7±0.2	1.4±0.5	<.001&&&
IVCT (msn)	64.2±15.5	67.8±15.6	63.1±14.5	72.4±14.8	.206
IVRT(msn)	80.6±22.0	90.2±21.2	80.8±25.9	67.9±15.0	.015#
ET(msn)	293.8±27.2	289.1±23.9	267.2±28.3	301.4±26.1	.001##
MPI	0.50±0.1	0.55±0.1	0.55±0.1	0.47±0.1	.057

*Kullanılanlar: IVV: izovolumik kasılma sırasında zirve miyokard hızı, Em: erken, Am: geç diyastolik zirve akımları, IVCT: Izovolumetrik gevşeme süresi, ET: Ejeksiyon süresi, AT: Izovolumik akselerasyon zamanı, IVA: Izovolumik akselerasyon hızı, MPI: Miyokardiyal performans indeksi *: Mann-Whitney U Testi, kontrol grubu ile orta ve ileri darlık (p<0.001), hafif ile ileri darlık arasında (p=0.001), hafif ile orta darlık ile arasındaki fark (p=0.028), **: Mann-Whitney U Testi, kontrol grubunun ileri darlık (p=0.001), orta darlık (p=0.001) ve hafif darlık ile arasındaki fark (p=0.028), ***: Mann-Whitney U Testi, kontrol grubu ile hafif, orta ve ileri darlık arasındaki fark (hepsi içeri p<0.001), hafif ile ileri darlık arasındaki fark (p=0.006) &&, Mann-Whitney U Testi, kontrol grubu ile hafif, orta ve ileri darlık arasında (hepsi içeri p<0.001), hafif ile ileri darlık arasındaki fark (p=0.006) &&, one-way ANOVA, kontrol grubu ile orta darlık arasında (p=0.001), hafif ile orta darlık arasında (p=0.001), hafif ile ileri darlık arasında (p=0.009) &&, Mann-Whitney U Testi, kontrol grubu ile hafif, orta ve ileri darlık arasındaki fark (hepsi içeri p<0.001) &, one-way ANOVA, kontrol grubu ile orta darlık arasındaki fark (p=0.007), ##, kontrol grubu ile ileri darlık (p=0.001), hafif ile ileri darlık (p=0.009), orta ile ileri darlık arasındaki fark (p=0.043)*

S-011

Evaluation of severity of mitral valve stenosis effects on left ventricular systolic functions by myocardial isovolumetric acceleration time

Mehmet Ertürk, Hale Ünal Aksu, Ömer Çelik, Mehmet Güç, Fatih Uzun, İbrahim Faruk Aktürk, Ahmet Arif Yalçın, Ali Kemal Kalkan, Özgür Sürgüt, Mustafa Kemal Erol

Department of Cardiology, İstanbul Mehmet Akif Ersoy Training and Research Hospital, İstanbul

S-012

Erişkin başlangıçlı hipogonadizm hastalarında aortik elastik özelliklerin bozulması

Uğur Canpolat¹, Kudret Aytemir¹, Levent Şahiner¹, Hikmet Yorgun², Kadriye Aydin³, Muhammed Dural¹, Kadri Murat Gürses¹, Asena Gökcay Canpolat³, Ergün Barış Kaya¹, Giray Kabakçı¹, Ali Oto¹, Lale Tokgözoglu¹

¹Hacettepe Üniversitesi Tip Fakültesi, Kardiyoloji Anabilim Dalı, Ankara

²Develi Devlet Hastanesi, Kardiyoloji Kliniği, Kayseri

³Hacettepe Üniversitesi Tip Fakültesi, İç Hastalıkları Anabilim Dalı, Endokrinoloji Bölümü, Ankara

S-012

Impaired aortic elastic properties in patients with adult-onset hypogonadism

Uğur Canpolat¹, Kudret Aytemir¹, Levent Şahiner¹, Hikmet Yorgun², Kadriye Aydin³, Muhammed Dural¹, Kadri Murat Gürses¹, Asena Gökcay Canpolat³, Ergün Barış Kaya¹, Giray Kabakçı¹, Ali Oto¹, Lale Tokgözoglu¹

¹Department of Cardiology, Hacettepe University Faculty of Medicine, Ankara

²Develi State Hospital, Cardiology Clinics, Kayseri

³Hacettepe University Faculty of Medicine, Department of Internal Medicine, Endocrinology Unit, Ankara

Background: Recent studies have shown a strong relationship between testosterone levels and vasmotor actions. The aim of this study is to compare the elastic properties of the aorta in male patients with hypogonadism and eugonadal healthy control subjects.

Method: A total of 22 male with hypogonadism (mean age: 35.2 ± 9.5 years, mean disease duration: 5.3 ± 1.8 years) and 25 age-, sex, and weight-matched eugonadal healthy subjects (mean age: 34.5 ± 8.2 years) were enrolled in the study. Aortic stiffness (β) index, aortic strain (AoS) and aortic distensibility (AoD) were calculated from the aortic diameters measured by transthoracic echocardiography and blood pressure obtained by sphygmomanometer.

Results: The routinely performed echocardiographic parameters were similar between patient and control groups. There were significant differences between the control and patient groups in β index (1.75 ± 0.44 vs 2.68 ± 1.72 , $p < 0.001$), AoS (18.52 ± 6.44 vs 12.35 ± 3.88 , $p < 0.001$) and AoD (7.56 ± 2.86 vs 3.96 ± 1.24 , $10.6 \text{ cm}^2/\text{dyn}$, $p < 0.001$). There were statistically significant positive correlations between the serum testosterone level and AoD ($r = 0.458$, $p = 0.001$) and AoS ($r = 0.392$, $p = 0.006$), moreover there was a negative correlation between the serum testosterone level and β index ($r = -0.497$, $p = 0.001$). In multivariate analysis, serum testosterone level was significantly related with AoD, AoS and β index (respectively, RR = 2.88, $p = 0.004$; RR = 3.45, $p = 0.001$; RR = 2.64, $p = 0.01$).

Conclusion: The study results showed that aortic elasticity was impaired in patients with hypogonadism. We also have demonstrated a statistically significant correlation between aortic elastic properties and the serum testosterone level.

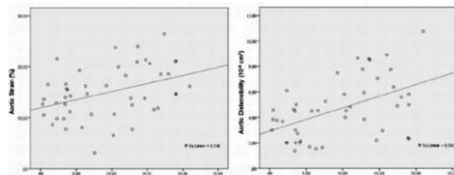


Figure 1

S-013

Takayasu arteritinde aortik ve karotis arterlerin sertlik parametrelerinin değerlendirilmesi

Selen Yurdakul¹, Fatma A. Öner², Haner Direskeneli², Saide Aytekin¹

¹Istanbul Bilim Üniversitesi, Florence Nightingale Hastanesi Kardiyoloji Anabilim Dalı, İstanbul

²Marmara Üniversitesi Tip Fakültesi, Romatoloji Anabilim Dalı, İstanbul

Giriş-Amaç: Takayasu arteriti (TA), aort ve büyük dallarını tutan kronik inflamatuvar bir hastalıktır. Takayasu arteritinde, büyük arterlerin elastiklik özellikleri kaybolmaktadır. Bu çalışmada amaç, TA olan hastalarda aortik gerilim, esneklik ve sertlik, aynı zamanda karotis arter sertlik parametrelerinin değerlendirilmesidir.

Yöntem: Çalışmaya Takayasu arteriti tanısı konmuş olan 33 hasta (ortalama yaşı 39.06 ± 11.44 , % 75 kadın) ve 20 sağlıklı kontrol (ortalama yaşı 36.7 ± 11.9 , % 74 kadın) dahil edildi. Transtorasik ekokardiyografide asandan aorta çapları ve aortik elastisite parametreleri olan aortik sertlik, aortik gerilim ve elastiklik değerleri ölçüldü. Aynı zamanda, karotis arter Doppler ultrasonografisi ile, sağ ve sol ana karotis arterlerden, karotis sertlik indeksi hesaplandı ve ortalaması alındı.

Bulgular: Takayasu arteriti olan hastalarda, sağlıklı kontrol grubuna göre, aortik sertlik artmış (6.17 ± 5.1 ; 2.6 ± 1.3 , $p < 0.0001$), aortik gerilim (5.77 ± 3.2 ; 13.91 ± 4.77 , $p < 0.0001$) ve aortik elastiklik (0.47 ± 0.3 ; 1.64 ± 0.77 , $p < 0.0001$) ise anlamlı olarak azalmış bulundu. Aynı zamanda, karotis arter sertlik indeksinin ise belirgin olarak artmış olduğu görüldü (4.97 ± 3.3 ; 1.96 ± 0.72 , $p < 0.0001$).

Sonuç: Takayasu arteriti olan hastalarda büyük arterlerin esnekliğinden azalma ve sertlik ölçümlerinde artış görülmektedir. Aort ve karotis arterlerde saptanan bu durumun, kronik inflamatuvar sürecin neden olduğu vasküler hasarın bir sonucu olabileceği düşünülmektedir.

S-013

Assessment of aortic and carotid artery stiffness parameters in patients with Takayasu's arteritis.

Selen Yurdakul¹, Fatma A. Öner², Haner Direskeneli², Saide Aytekin¹

¹Department of Cardiology, Istanbul Bilim University Florence Nightingale Hospital, Istanbul

²Department of Rheumatology, Marmara University Faculty of Medicine, Istanbul

S-014**Erektil disfonksiyonu olan hastalarda aortik propagasyon velocitesi yöntemi kullanılarak aortik sertlik varlığının araştırılması**

Ersa Gürük İpek, Metin Burçın Uzun

Polatlı Devlet Hastanesi, Ankara

Amaç: Endotel disfonksiyonu jeneralize bir hastalık olup tüm vücutta bulgu verebilir. Erkek hastalarda endotelyal disfonksiyon erkekli disfonksiyon olarak kendini gösterebilir ve bu hasta grubunda aortik esnekliğin de azalmış olması beklenir. Çalışmamızda erkekli disfonksiyonu olan hastalarda aortik sertlik varlığının güncel bir parametre olan aortik propagasyon velocitesi yöntemi kullanılarak araştırılması hedeflenmiştir.

Yöntemler: Eylül 2011 ile mart 2012 tarihler arasında üroloji polikliniğine iktidarsızlık yakınıması ile başvuran hastalar kardiyoloji polikliniğine yönlendirildi. Bu gruba benzer yaş dağılımında olan hastalardan kontrol grubu seçilerek her iki gruba uluslararası erkekli disfonksiyon değerlendirme indeksi (IIEF) formu dolduruldu, buna göre hesaplanan skoru 20 nin altında olanla erkekli disfonksiyon grubu, 20 ve üzeri olanlar kontrol grubu olarak çalışmaya dahil edildi. Çalışmaya 22 erkekli disfonksiyon tarileyen hasta ile 22 kontrol grubu aldı. Diyabetes mellitus, koroner arter hastalığı, hipertansiyon, kalp yetmezliği olan hastalar çalışmaya dahil edilmeli. Tüm hastaların aortik kan şekeri, kan lipit parametreleri ölçüldü, bel çevreleri ile sistolik-diastolik kan basıncları ölçüldü, beden kitle indeksleri hesaplandı. Tüm hastalara transstorasik ekokardiyografi yapılarak aortik gerilim, aortik esneyebilirlik, aortik gerilim indeksi, aortik çap değişimi ve aortik propagasyon velocitesi (renkli m-mod ile) kullanılarak aortik sertlik parametreleri hesaplandı.

Bulgular: İki grup arasında yaş, beden kitle indeksi, aortik kan şekeri ve lipid parametreleri açısından fark yoktu. Bel çevresi erkekli disfonksiyon grubunda kontrol grubuna göre belirgin olarak yüksekti (96.4 ± 10.3 vs 88.5 ± 8.9 , $p=0.01$). IIEF skoru ortanca değer, erkekli disfonksiyon grubunda 12 iken kontrol grubunda 22 idi ($p=0.0001$). Sistolik ve diyastolik kan basıncıları, nabız basıncıları, aortik sistolik ve diastolik çaplar ile aortik çap farkları arasında istatistiksel anlama ulaşan bir fark saptanmadı. Aortik sertlik parametrelerinden aortik esneyebilirlik (srasıyla 1.68 ± 1.66 ve 2.65 ± 1.82 , $p=0.02$) ile aortik gerilim (srasıyla 3.52 ± 1.08 ve 5.08 ± 3.19 , $p=0.03$) kontrol grubunda anlamlı olarak yüksek bulundu. Yine aortik propagasyon velocitesi erkekli disfonksiyon grubunda kontrol grubuna göre belirgin olarak azalmış saptandı (medyan değerler sırasıyla 40 (22-50) ve 47.5 (20-90) $p=0.002$).

Sonuç: Çalışmamız, ekokardiyografik parametreler ile erkekli disfonksiyonu olan hastalarda aortik sertliğin varlığı göstermiştir. Bu parametrelerden renkli m-mod ile ölçülen aortik propagasyon velocitesinin en az diğer parametreler kadar başarılı olduğu saptanmış, diğer yöntemlerden daha pratik olması nedeniyle endotel disfonksiyonu erken saptanmasında kullanılabilenek bir ekokardiyografik parametre olabileceğini düşündürmüştür.

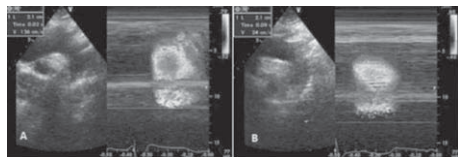


Figure 1A. Normal aortic propagation velocity
Figure 1B. Azalma aortic propagation velocity- (Aortik sertliği olan bir hasta)

Table 1. Hasta ve kontrol grubunun deografik ve antrpolejik özellikleri, lipid parametreleri ile kan şekeri düzeyleri

	Tüm hastalar (n=44)	Erektil disfonksiyon (n=22)	Kontrol (n=22)	P
Yaş (yıl)	54.7±8	55.2±8.9	54±7.2	0.71
Beden kitle indeksi (kg/m ²)	25.7±2.8	26.4±3.1	25.1±2.4	0.11
Bel çevresi (cm)	92.4±10.3	96.4±10.3	88.5±8.9	0.01
LDL (mg/dL)	134±32	138.1±30.4	129.8±34.5	0.4
HDL (mg/dL)	44.5±10.9	44±12.2	44.9±9.7	0.8
Triglycerid (mg/dL)	147±79	163.9±102.2	130.4±44	0.16
Total kolesterol (mg/dL)	210±37	221.2±32.9	200.6±40.1	0.07
Aortik kan şekeri (mg/dL)	92.5±9.9	93±10.5	92.04±9.4	0.74
IIEF-5 Skoru*	16 (7-24)	12 (7-17)	22 (20-24)	0.0001

*IIEF-5 Skoru: Uluslararası erkekli disfonksiyon değerlendirme indeksi (minimum 5 maksimum 25) HDL: Yüksek dansiteli lipoprotein.

LDL: Düşük dansiteli lipoprotein

Table 2. Hasta ve kontrol grubunda aortik sertlik değerlendirme parametreleri

	Tüm hastalar (n=44)	Erektil Disfonksiyon (n=22)	Kontrol (n=22)	P
Sistolik kan basıncı (mmhg)	120 (100-140)	125 (100-140)	120 (100-130)	0.17
Diyastolik kan basıncı (mmhg)	80 (60-90)	80 (60-90)	80 (60-90)	0.78
Nabız basıncı (mmhg)	40 (20-80)	40 (20-80)	40 (30-50)	0.28
Aortik sistolik çap (cm)	3.3±0.3	3.3±0.3	3.2±0.22	0.23
Aortik diyastolik çap (cm)	3.1±0.3	3.26±0.36	3.1±0.23	0.1
Sistol-diyastolik aort çap farkı (cm)	0.11 (0.05-0.45)	0.11 (0.06-0.2)	0.12 (0.05-0.45)	0.15
Aortik esneyebilirlik (cm ² .dyn-1.10-3)	2.1±1.4	1.68±1.66	2.65±1.82	0.02
Aortik gerilim (%)	4.3±2.4	3.52±1.08	5.08±3.19	0.03
Aortik propagasyon velocitesi (cm/sn)	41.5 (20-90)	40 (22-50)	47.5 (20-90)	0.002

S-015

Prehipertansif bireylerde yaşam şekli değişikliğinin diastolik fonksiyonlar ve aort sertliğine etkisi

Seref Alpsoy¹, Mustafa Oran², Birol Topçu³, Dursun Çayan Akköyn¹, Aydin Akyüz¹, Hasan Deciğirmenc¹

¹Namık Kemal Üniversitesi Tıp Fakültesi, Kardiyoloji Anabilim Dalı, Tekirdağ

²Namık Kemal Üniversitesi Tıp Fakültesi, İç Hastalıkları Anabilim Dalı, Tekirdağ

³Namık Kemal Üniversitesi Tıp Fakültesi, İstatistik Anabilim Dalı, Tekirdağ

Amaç: Prehipertansiyon diğer kardiyovasküler risk faktörlerinden bağımsız olarak artmış majör kardiyovasküler olay riskiyle ilişkilidir. Bu çalışmanın amacı terapötik yaşam tarzı değişikliklerini prehipertansif bireylerde kardiyak diastolik fonksiyonlar ve aort sertliğine etkisinin değerlendirilmesidir.

Metod: 30-65 yaş arası (33 E/ 28 K) 61 erişkin birey bu prospektif çalışmaya dahil edildi. Katılımcıların hedefleri vücut kitle indeksleri 25 kg/m² ve üzeri olmalarında en az 5 kg ağırlık kaybı, haftada en az 180 dakika orta derecede fiziksel aktivite, günük 100 mmol'dan ve sodyum alımı, alkollü tüketiminin günlük erkeklerde 30 ml ve kadınlarında 15 ml'den fazla olmamasını içermektedir. Sol ventrikül diastolik fonksiyon ve aort sertliği parametreleri konvansiyonel ve doku doppler ekokardiyografi ile çalışılmıştır başlangıcında ve 6 ay süreli yaşam tarzı değişikliği sonrası ölçüldü.

Sonuçlar: Prehipertansiflerde yaşam tarzı değişikliğinin mitral giriş akım ölçümüne etkili olduğu saptandı. Transmural erken akım hızı (70 ms 'de karşılık 78.5 ms, p= 0.001), septal E (10 cm/s'e karşılık 1.16, p < 0.001), E/A oranının (0.9'e karşılık 1.16, p < 0.001), septal E (10 cm/s'e karşılık 6.16, p= 0.014), septal S (9 cm/s'e karşılık 10 cm/s), lateral E (11.3 cm/s'e karşılık 12.4 cm/s, p= 0.019), septal E/A oranının (0.99'e karşılık 1.15, p= 0.003) ve lateral E/A oranının (1.14'e karşılık 1.30, p= 0.008) yaşam tarzı değişikliklerinden sonra anlamlı olarak arttı. Görtürdü. Beta sertliği indeksinin azaldığı (12.07'e karşılık 6.33, p < 0.001), aort kompliyansının (0.02'e karşılık 0.05, p < 0.001) ve aort sertliğinin (3.28'e karşılık 7.02, p < 0.001) anlamlı olarak arttı görüldü.

Sonuç: Prehipertansiflerde yaşam tarzı değişikliği konvansiyonel ve doku doppler ekokardiyografi ve aort sertlik parametrelerinde düzelleme sağlanmaktadır.

Prehipertansiflerde yaşam tarzı değişikliği öncesi ve sonrası doku Doppler ölçümüleri			
Değişken	Önce	Sonra	p değeri
E septal(cm/s)	10 (6-14)	11 (7-15)	0.014
A septal(cm/s)	10.7 (6-19)	9.9 (7-15)	0.017
S septal(cm/s)	9 (6-13)	10 (7-14)	0.007
E lateral(cm/s)	11.3 (6-15)	12.4 (9-18)	0.019
A lateral(cm/s)	10.6 (6-18)	9.9 (5-18)	AD
S lateral(cm/s)	9.6 (7-14)	9.9 (7-16)	AD
E septal/A septal	0.99 (0.50-1.83)	1.15 (0.64-1.88)	0.003
E peak/E septal	7.55 (4.18-13.71)	7.49 (4.80-11.11)	AD
E lateral/A lateral	1.14 (0.43-2.33)	1.30 (0.64-2.17)	0.008
E peak/E lateral	6.72 (3.54-11.71)	6.69 (4.38-10)	AD

Prehipertansiflerde yaşam şekli değişikliği öncesi ve sonrası M mode ve Pulse-Doppler ölçümüleri			
Değişken	Önce	Sonra	p değeri
E peak(cm/s)	70 (46-130)	78.5 (61-115)	<0,001
A peak(cm/s)	75 (35-103)	70 (47-112)	<0,001
E/A oranı	0.90 (0.53-2.19)	1.16 (0.76-1.66)	<0,001

Prehipertansiflerde yaşam şekli değişikliği öncesi ve sonrası aort sertliği ölçümüleri			
Değişken	Önce	Sonra	p değeri
Aort sistolik çapı(AoS)(mm)	33 (27-42.5)	33 (27-42.50)	AD
Aort diastolik çapı (AoD)(mm)	31 (26-40.7)	30.6 (24-37.50)	<0.005
Aortik Strain	3.28 (3-15)	7.02 (2-14)	<0.001
Beta index	12.07 (8.73-16.65)	6.33 (3.11-25.14)	<0.001
Aortik Kompliyans(cm/mmHg)	0.02 (0.02-0.09)	0.05 (0.01-0.13)	<0.001

S-015

Effect of life style modification on diastolic function and aortic stiffness in prehypertensive subjects

Seref Alpsoy¹, Mustafa Oran², Birol Topçu³, Dursun Çayan Akköyn¹, Aydin Akyüz¹, Hasan Deciğirmenc¹

¹Namık Kemal Üniversitesi Tıp Fakültesi, Kardiyoloji Anabilim Dalı, Tekirdağ

²Department of Internal Medicine, Namık Kemal University Faculty of Medicine, Tekirdağ

³Department of Statistical, Namık Kemal University Faculty of Medicine, Tekirdağ

Objective: Prehypertension is associated with increased risk of major cardiovascular events independent from other cardiovascular risk factors. The aim of this study is to assess the effect of therapeutic life style changes on cardiac diastolic function and aortic stiffness in prehypertensive subjects.

Methods: Sixty-one prehypertensive adults of 30-65 years age (33 men and 28 women) were included in this prospective study. Participants' goals included weight loss of at least 5 kg for those with a body mass index (BMI) of 25 kg/m² or greater, at least 180 minutes per week of moderate-intensity physical activity, no more than 100 mmol per day of dietary sodium, and alcohol consumption of no more than 30 mL per day for men and 15 mL per day for women. We evaluated left ventricular diastolic function and aortic stiffness parameters at baseline and after 6 month of life style modification by conventional and tissue Doppler echocardiography.

Results: Life style modifications affect mitral inflow measurements in prehypertensives. Transmural early velocity (70 ms vs 78.5 ms = 0.001) and E/A (0.9 vs 1.16, p < 0.001) and septal E (10 cm/s vs 11cm/s p=0.014), septal S (9 cm/s vs 10 cm/s), lateral E (11.3 cm/s vs 12.4 cm/s, p= 0.019), septal E/A ratio (0.99 vs 1.15, p= 0.003) and lateral E/A ratio (1.14 vs 1.30, p= 0.008) were significantly increased after lifestyle modification.

Beta stiffness index was decreased (12.07 vs 6.33, p < 0.001), aortic complians (0.02 vs 0.05, p < 0.001) and aortic strain (3.28 vs 7.02, p < 0.001) were increased significantly after lifestyle modification. Beta stiffness index was decreased (12.07 vs 6.33, p < 0.001), aortic complians (0.02 vs 0.05, p < 0.001) and aortic strain (3.28 vs 7.02, p < 0.001) were increased significantly after lifestyle modification.

Conclusions: In prehypertensives, lifestyle modification improve conventional and tissue Doppler echocardiographic measurements and aortic stiffness parameters.

Tissue Doppler measurements before and after lifestyle modifications in prehypertensives

Variable	Before	After	p value
E septal (cm/s)	10 (6-14)	11 (7-15)	0.014
A septal(cm/s)	10.7 (6-19)	9.9 (7-15)	0.017
S septal(cm/s)	9 (6-13)	10 (7-14)	0.007
E lateral(cm/s)	11.3 (6-15)	12.4 (9-18)	0.019
A lateral(cm/s)	10.6 (6-18)	9.9 (5-18)	NS
S lateral(cm/s)	9.6 (7-14)	9.9 (7-16)	NS
E septal/A septal	0.99 (0.50-1.83)	1.15 (0.64-1.88)	0.003
E peak/E septal	7.55 (4.18-13.71)	7.49 (4.80-11.11)	NS
E peak/E lateral	1.14 (0.43-2.33)	1.30 (0.64-2.17)	0.008
E peak/E lateral	6.72 (3.54-11.71)	6.69 (4.38-10)	NS

M mode and Pulsed-Doppler indices before and after lifestyle modifications in prehypertensives

Variable	Before	After	p value
E peak (cm/s)	70 (46-130)	78.5 (61-115)	<0,001
A peak(cm/s)	75 (35-103)	70 (47-112)	<0,001
E/A oranı	0.90 (0.53-2.19)	1.16 (0.76-1.66)	<0,001

Aortic stiffness measurements before and after lifestyle modifications in prehypertensives

Variable	Before	After	p value
Aortic systolic diameter (AoS)(mm)	33 (27-42.5)	33 (27-42.50)	NS
Aortic diastolic diameter (AoD)(mm)	31 (26-40.7)	30.6 (24-37.50)	0.005
Aortic Strain	3.28 (3-15)	7.02 (2-14)	<0.001
Beta index	12.07 (8.73-16.65)	6.33 (3.11-25.14)	<0.001
Aortic Compliance(cm/mmHg)	0.02 (0.02-0.09)	0.05 (0.01-0.13)	<0.001

Non-invazif aritmi

S-016

Vazovagal senkoplu hastalarda aortun elastik parametrelerinin değerlendirilmesi

Ali Rıza Erbay¹, Sabri Demircan¹, Serkan Yüksel¹, Murat Meriç¹, Filiz Akın²

¹Ondokuz Mayıs Üniversitesi Tip Fakültesi, Kardiyoloji Anabilim Dalı, Samsun

²Kastamonu Devlet Hastanesi, Kardiyoloji Kliniği, Kastamonu

Giriş: Senkop hızlı başlangıç, kısa süre ve spontan tam iyileşme ile karakterize, gecici global serebral hipoperfüzyona bağlı bir geçici biling kaybıdır. Halen klasik bilgililerim yaklaşıklık her 3 kişiden birinin hayatlarında bir dönemden senkop haliyle karşılaşlığı yönündedir. Refleks senkop olarak bilinen vazovagal senkop patofiziolojisinde periferik vasküler dirençte (vazodepresyon) ve kalp hızında azalma (kardiyoinhibisyon) klinik sonucu doğurmaktadır.

Amaç: Bu çalışmada, klinik tekrarlayan senkoplu hastalarda ekokardiyografi ile ölçülen aort elastikiyet parametrelerinin Tilt testi esnasında senkop olan (Tilt pozitif) ve olmayan (Tilt negatif) hastalar arasında farklılık göstermediği araştırılmak istenmiştir.

Yöntem: Çalışmaya daha önce senkop tarifleyen 42 hasta dahil edildi. Tüm hastalara head-up Tilt testi ve ekokardiyografik değerlendirme yapıldı. 18 hastada Tilt testi esnasında senkop olurken (Tilt pozitif), 24 hastada Tilt testi negatif olarak saptandı. Aortik elastikiyet parametrelerinin değerlendirilmesi için ekokardiyografik olarak aortik 'strain', 'beta indeksi' ve distensibilite ölçümü yapıldı.

Bulgular: Tilt testi pozitif ve negatif grupper arasında bazal klinik ve demografik özelliklerin ekokardiyografik ölçümü açısından anlamlı farklılıklar saptanmadı. Tilt pozitif hastalarla Tilt testi negatif hastalarla karşılaştırıldığında aortik 'strain' (%8.2±4.2'ye karşın %5.6±2.6, p=0.02) ve 'distensibilite' (0.37±0.18 cm²dyn⁻¹.10⁻³'e karşın 0.24±0.12 cm²dyn⁻¹.10⁻³, p=0.01) değerleri anlamlı olarak daha yüksek bulunurken, 'beta indeksi' (7.5±5.0'e karşın 9.7±3.6, p=0.3) benzer bulunmuştur.

Sonuç: Aort sadece kan akımı için bir aracı olmamayı elastik özellikleriyle de kardiyak fonksiyonları yardımcı olmaktadır. Çalışmamızda strain ve distensibilite parametrelerinin Tilt testi pozitif hastalarla daha yüksek olduğunu gösterdi. Bu sonuçlara göre aortik elastik kapasitesinin arttıkça hastaların senkop gelişimine daha yatkın olduğu söylenebilir. Senkoplu hastaların daha genç olduğunu göz önünde bulundurduğunda, aorttaki sertlikte artışla sonuçlanan yaşlanma ve hipertansiyon gelişimle klinik senkoplu olayların daha seyrek görülmeli bu bulgularla açıklanabilir.

S-016

The assessment of aortic elastic parameters in patients with vasovagal syncope

Ali Rıza Erbay¹, Sabri Demircan¹, Serkan Yüksel¹, Murat Meriç¹, Filiz Akın²

¹Department of Cardiology, Ondokuz Mayıs University Faculty of Medicine, Samsun

²Kastamonu State Hospital, Cardiology Clinics, Kastamonu

S-017

Migren hastalarında arteriyel sertlik ve migrenin profilaktik tedavisinin arteriyel sertlik üzerine etkisi

Ali Doğan¹, Özcan Örsçelik¹, Deniz Elçik¹, Sevda İsmailogulları², Tolga Saka³, Abdurrahman Oğuzhan¹

¹Erciyes Üniversitesi Tıp Fakültesi, Kardiyoloji Anabilim Dalı, Kayseri

²Erciyes Üniversitesi Tıp Fakültesi, Nöroloji Anabilim Dalı, Kayseri

³Erciyes Üniversitesi Tıp Fakültesi Spor Hekimliği Anabilim Dalı, Kayseri

S-017

Arterial stiffness in migraine patients and the effects of prophylactic regimens of migraine on arterial stiffness

Ali Doğan¹, Özcan Örsçelik¹, Deniz Elçik¹, Sevda İsmailogulları², Tolga Saka³, Abdurrahman Oğuzhan¹

¹Erciyes University School of Medicine Department of Cardiology, Kayseri

²Erciyes University School of Medicine Department of Neurology, Kayseri

³Erciyes University School of Medicine Department of Sports Medicine, Kayseri

Objects: Migraine is a common primary type of headache which is seen predominantly in females. The significant increase in ischemic stroke and cardiovascular disease risks in migraine patients was previously shown in some studies. The deterioration in functional properties of large arteries is thought to be responsible for this relationship. The measurement of arterial stiffness is a method used to evaluate endothelial functions. In our study we investigated the difference in arterial stiffness between migraine patients and the healthy control group.

Materials-Methods: Seventy-three newly diagnosed migraine patients (23 male, 50 female) and eighty healthy volunteers (25 male, 55 female) were prospectively enrolled in the study. Baseline transthoracic echocardiography was performed and pulse wave velocity (PWV) was utilized in both migraine patients and healthy control group for assessing the endothelial functions and arterial stiffness. Thereafter, patients were randomized into 3 groups according to different drug prophylaxis. Propranolol, flunarizine and topiramate were started and these measurements were repeated after one month.

Results: The pulse wave velocity measurements in newly diagnosed migraine patients and the control groups were found as 7.4 ± 1.0 m/sec vs. 6.0 ± 1.0 m/sec, respectively. There was a significant difference between the two groups ($p < 0.001$). Patients were divided into three different prophylaxis regimen groups and each group was taken one of the propranolol, flunarizine or topiramate. The measurements were repeated after one month. There were significant improvements were observed in PWV measurements comparing with baseline measurements (7.4 ± 1.0 vs. 6.0 ± 1.0 m/sec, $p < 0.001$), respectively. When the change in pulse wave velocity measurements of drug groups were compared with each other, there were significant differences among the three groups. When the drugs were compared one by one there was a significant difference observed between flunarizine and topiramate. Although the relationship between the recurrence of migraine attacks and the rate of change in pulse wave velocity were assessed, there was an inverse and significant relationship observed between the rate of change in PWV and pain. Topiramate reduced the both migraine attack and decreased the PWV measurements to the levels of healthy subjects.

Conclusions: In addition, there was an inverse and significant correlation between the change in PWV values and migraine headache which was occurring during one month ago. We demonstrated that topiramate was a better drug for prevention of migraine attacks and there was a significant improvement in pulse wave velocity measurements when compared with others. These findings about significant deterioration of vascular structure may explain the increased cardiovascular risk and also increased cardiovascular events in migraine patients which were understood poorly in previously.

Ekokardiyografi

S-018

Pekütan yolla başarılı revaskülerize edilmiş kronik total oklüzyonlu hastaların işlem sonrası 1. ayda 2 boyutlu Speckle Tracking ve Real Time 3 boyutlu ekokardiyografiyle değerlendirilmesi

Doğan Erdoğan¹, Habil Yücel¹, Bayram Ali Uysal¹, İsmail Hakkı Ersoy², Atilla İcli¹, Salaheddin Akçay¹, Akif Arslan¹, Fatih Aksøy¹, Mehmet Özaydin¹, Mehmet Numan Tamer²

¹Süleyman Demirel Tıp Fakültesi, Kardiyoloji Anabilim Dalı, Isparta

²Süleyman Demirel Tıp Fakültesi, İç Hastalıkları Anabilim Dalı, Endokrinoloji Bilim Dalı, Isparta

Echocardiography

S-018

Effects of prediabetes and diabetes on left ventricular and coronary microvascular functions

Doğan Erdoğan¹, Habil Yücel¹, Bayram Ali Uysal¹, İsmail Hakkı Ersoy², Atilla İcli¹, Salaheddin Akçay¹, Akif Arslan¹, Fatih Aksøy¹, Mehmet Özaydin¹, Mehmet Numan Tamer²

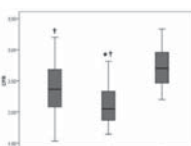
¹Department of Cardiology, Suleyman Demirel University, Faculty of Medicine, Isparta

²Süleyman Demirel University, Faculty of Medicine, Internal Medicine Department, Endocrinology Division, Isparta

Background: The assessment of coronary flow reserve (CFR) by transthoracic Doppler echocardiography (TTDE) has recently been introduced into clinical practice, and CFR provides independent prognostic information in diabetic patients with known or suspected coronary artery disease. However, to date there is no substantial data to evaluate CFR in subjects with prediabetics. Accordingly, the study was designed to evaluate CFR in subjects with prediabetics.

Methods-Results: Using TTDE, we evaluated left ventricular diastolic function parameters and measured CFR of 65 subjects with prediabetes, 45 patients with overt type 2 diabetes, and 43 normoglycemic healthy volunteers with normal glucose tolerance. Mitral A velocity was significantly higher in the diabetics than in both the prediabetics and controls, and it was significantly different between prediabetics and controls. E/A ratio was significantly lower, but E/E' ratio and Tei index were significantly higher in the diabetics than the non-diabetic controls. CFR was significantly lower in the prediabetics and diabetics than the controls. In addition, CFR was significantly different between the prediabetics and the diabetics (2.39 ± 0.45 , 2.15 ± 0.39 , 2.75 ± 0.35 ; prediabetics, diabetics, and controls, respectively) (Figure). Only 2 (5%) of control subjects had abnormal CFR (<2). However, 11 (17%) with prediabetic subjects and 19 (42%) diabetic patients had abnormal CFR. Furthermore, in multivariable analysis CFR was taken as dependent, the classification status of the subjects (prediabetics, diabetics and non-diabetic controls) and other confounders such as age, gender, BMI, BPs and lipids were taken as independent, we found that the only age ($\beta = -0.31$, $P < 0.01$) and presence of the diabetes ($\beta = -0.57$, $P < 0.01$) were significant predictors of lower CFR. CFR was significantly and inversely correlated with age ($r = -0.147$, $P = 0.04$), fasting ($r = -0.274$, $P = 0.001$) and postprandial glucose levels ($r = 0.427$, $P < 0.001$), hemoglobin A1C ($r = -0.344$, $P < 0.001$), LDL cholesterol level ($r = 0.219$, $P = 0.009$), mitral A velocity ($r = 0.267$, $P = 0.001$) and Tei index ($r = 0.179$, $P = 0.02$), whereas mitral E/A ratio, mitral Em ($r = 0.179$, $P = 0.02$), mitral Em/Am ratio ($r = 0.231$, $P = 0.004$) were significantly and positively correlated with CFR. BMI and mitral E/E' trended toward a negative correlation with CFR.

Conclusion: CFR is impaired in subjects with prediabetes, but this impairment is not as severe as that in overt diabetes.



Coronary flow reserve measurements were significantly different among the three groups. Abbreviations: CFR: coronary flow reserve. *P = 0.006 vs. prediabetics; **P < 0.001 vs. controls

S-019

Takayasu arteritinde subklinik sol ventrikül sistolik disfonksiyonunun hız vektör görüntüleme yöntemi ile değerlendirilmesi

Selen Yurdakul¹, Fatma A. Öner², Haner Direskeneli², Saide Aytekin¹

¹Istanbul Bilim Üniversitesi Florence Nightingale Hastanesi Kardiyoloji Anabilim Dalı, İstanbul

²Marmara Üniversitesi Tip Fakültesi, Romatoloji Anabilim Dalı, İstanbul

Giriş-Amaç: Takayasu arteriti (TA), major arterlerin tutulumu ile karakterize, kronik inflamatuvan bir hastaluktur. Takayasu arteritinde, vasküler hasar ile beraber, miyokardiyal tutulum da olabilecegi bildirilmiştir. Çalışmamızdaki amaç, bilinen kardiyak hastalığı ve yakınıması olmayan TA olan kişilerde, sol ventrikül sistolik fonksiyon bozukluğunun, bir "strain" inceleme yöntemi olan, "Hız Vektör Görüntüleme" (HVG) metodu ile, subklinik düzeyde gösterilmesidir.

Yöntem: Çalışmaya, TA tanısı almış olan 33 hasta (ortalama yaşı 39.06±11.44, % 75 kadın) ve 20 sağlıklı kontrol (ortalama yaşı 36.7±11.9, %74 kadın) dahil edildi. Sol ventrikül sistolik fonksiyonları, öncelikle transtorasik ekokardiyografik olarak konvansiyonel parametreler olarak değerlendirildi. Aynı zamanda HVG kaynaklı "strain" (S) ve "strain rate" (SR) analizleri yapıldı.

Bulgular: Takayasu arteriti olan hastalarda, kontrol grubuna göre, sol ventriküle ait konvansiyonel ekokardiyografik incelemeler açısından anamlı bir fark gözlemlendi. HVG kaynaklı değerlendirmelerde ise, sol ventrikül longitudinal zirve sistolik S ve SR değerlerinde kontrol grubuna göre anamlı olarak azalma görüldü. (S: % 13.20±3.5, % 20.97±4.5; p=0.0001; SR: 0.23±0.18 1/s, 4.92±0.55 1/s; p=0.0001).

Sonuç: Takayasu arteriti olan hastalarda, kronik inflamasyonun bir sonucu olarak, miyokardiyal tutulum nedeniyle olabilmektedir. "Hız Vektör Görüntüleme" metodu, bu hasta grubunda, subklinik düzeydeki sol ventrikül sistolik fonksiyon bozukluğunun tanımmasında kullanılabilecek yeni bir "strain" inceleme yöntemidir.

S-020

Metabolik sendromlu hastalarda koroner akım rezervi ile epikardiyal yağ kalınlığı arasındaki ilişkinin değerlendirilmesi

Derya Tok, İskender Kadife, Osman Turak, Fırat Özcan, Nurcan Başar, Kumral Çağlı, Akif Durak, Serkan Topaloğlu, Dursun Aras, Zehra Gölbşan

Ankara Türkiye Yüksek İhtisas Hastanesi, Kardiyoloji Bölümü, Ankara

Amaç: Metabolik sendrom kardiyovasküler olaylarda artış ile birlikte göstergelidir. Transtorasik ekokardiyografi ile ölçülen koroner akım rezervi (KAR) koroner mikrovasküler endotel fonksiyon bozukluğunun göstergesidir. Epikardiyal yağ kalınlığı (EYK) önemli bir kardiyometabolik belirticidir, kabul edilmektedir. Bu çalışmamızda metabolik sendromlu hastalarda KAR'ı ve EYK'ı arasındaki ilişkiyi ve bunları etkileyen faktörleri araştırmayı amaçladık.

Metod: Çalışmaya ATP III kriterlerine göre metabolik sendrom tanısı alanardı 66 hasta (ortalama yaşı 47.3±6.6) ve 44 kontrol (ortalama yaşı 44.0±6.1) hastası alındı. Pik diyastolik koroner akım, distal sol önde koroner arterde adenozin infüzyonu öncesi ve sonrasında transtorasik nabız dalga Doppler ile ölçüldü ve hiperejemik pik diyastolik hızın başlangıç zirve diyastolik hızı oran KAR olarak kabul edildi. EYK'ı transtorasik ekokardiyografi kullanılarak ölçüldü.

Bulgular: Metabolik sendromlu hastalarda bel çevresi, total kolesterol, LDL, açlık kan şekeri, triglisirit, sistolik ve diyastolik kan basınçları ve CRP düzeyleri anamlı olarak yükseldi (Tablo 1). Metabolik sendromlu hastalarda kontrol grubuna kıyasla KAR'ı anamlı düşük (2.3±0.2'ye karşılık 2.7±0.2, p<0.001), EYK'ı ise anamlı yüksek saptandı (8.7±0.2'ye karşılık 4.8±0.1, p<0.001). Koroner akım rezervi, vücut kitle indeksi ($r=-0.588$, p<0.001), bel çevresi ($r=-0.642$, p<0.001), HDL kolesterol ($r=0.514$, p<0.001), triglisirit ($r=-0.507$, p<0.001), açlık kan şekeri ($r=-0.358$, p<0.001), CRP ($r=-0.227$, p<0.033), EYK ($r=-0.580$, p<0.001) ile anamlı ilişki gösterdi. Çoklu değişken regresyon analizinde ise metabolik sendromlu kendisi ($p<0.001$) ve EYK ($p=0.02$) KAR'ı düşüşünü öngören bağımsız etkenler olarak bulundu (Tablo 2).

Sonuç: Metabolik sendromlu hastalarda subklinik aterosklerozun göstergesi olarak KAR'ı düşüktür ve KAR'ındaki azalma EYK'da artış ile birlikte göstergelidir.

Tablo 1. Hastaların bazal klinik ve laboratuvar bulguları

Metabolik sendrom (n=46)	Kontrol (n=44)	p değeri
Yaş(yıl)	47.3±6.47	46.0±6.1
Cinsiyet	0.215	
Sigara içen	25 (%54.3)	18 (%40.9)
HT	20 (%45.5)	13 (%29.5)
DM	29 (%63.0)	0 (%0)
BMI (kg/m ²)	31.9±3.3	0 (%0)
SistolikKB (mmHg)	131±15.3	110±10.6
DiastolikKB (mmHg)	74±10.8	68±4.7
AÇS (cm)	107.1±18.3	84.0±7.8
AKS (mg/dl)	100.1±18.3	90.0±7.8
TKol (mg/dl)	213.1±32.2	186.2±33.1
LDL Kol (mg/dl)	127.7±35.7	114.2±26.6
HDL Kol (mg/dl)	37.7±8.3	53.1±10.7
Triglisirit (mg/dl)	243.6±46.3	95.8±32.7
CRP (mg/L)	3.6±3.0	2.1±2.1
KAR	2.3±0.2	2.7±0.2
EYK(mm)	8.7±0.2	4.8±0.1

HT: Hipertansiyon,D.M:Diabetes mellitus, BMI:Vücut kitle indeksi, AÇS: Aort çapı, AKS: Aort kemiği, TKol: Total kolesterol, LDL Kol: LDL kolesterol, HDL Kol: HDL kolesterol, KAR: Koroner akım rezervi, EYK: Epikardiyal yağ kalınlığı

S-019

Subclinical left ventricular systolic dysfunction in Takayasu's arteritis. A velocity vector imaging -based Study

Selen Yurdakul¹, Fatma A. Öner², Haner Direskeneli², Saide Aytekin¹

¹Department of Cardiology, İstanbul Bilim University Florence Nightingale Hospital, İstanbul

²Department of Rheumatology, Marmara University Faculty of Medicine, İstanbul

S-020

Evaluate the relationship between epicardial fat thickness and coronary flow reserve in patients with metabolic syndrome

Derya Tok, İskender Kadife, Osman Turak, Fırat Özcan, Nurcan Başar, Kumral Çağlı, Akif Durak, Serkan Topaloğlu, Dursun Aras, Zehra Gölbşan

Department of Cardiology Türkiye Yüksek İhtisas Education and Research Hospital, Ankara

S-021

Takayasu arteritinde karotis arterlerin duvar hareketlerinin hız vektör görüntüleme yöntemi ile değerlendirilmesiSelen Yurdakul¹, Fatma A. Öner², Haner Direskeneli², Saide Aytekin¹¹*İstanbul Bilim Üniversitesi Florence Nightingale Hastanesi, Kardiyoloji Anabilim Dalı, İstanbul
2Marmara Üniversitesi Tıp Fakültesi, Romatoloji Anabilim Dalı, İstanbul***Giriş-Amaç:** Takayasu arteriti (TA), aort ve büyük dallarını tutan kronik inflamatuv bir hastaluktur. Takayasu arteritinde, arterlerin elastikyetinde azalma ve mekanik özelliklerinde değişiklikler olmaktadır. Çalışmamızdaki amaç, TA olan hastalarda, karotis arterlerin bögesel duvar hareket özelliklerinin, yeni bir "strain" inceleme yöntemi olan, "Hız Vektör Görüntüleme" metodu ile değerlendirilmesidir.**Yöntem:** Çalışmaya TA tanısı komşu olan 33 hasta (ortalama yaşı 39.06 ± 11.44 , % 75 kadın) ve 20 sağlıklı kontrol (ortalama yaşı 36.7 ± 11.9 , %74 kadın) dahil edildi. Sağ ve sol ana karotis arterlerden, uzun aks ve kısa aks görüntülerden, zirve akım hızı, strain, strain rate, toplam longitudinal yer değiştirmesi ve zirve radiyal akım hızının kadar olan zaman hesaplamaları yapıldı ve her iki ana karotis arterdeki sonuçların ortalaması alındı.**Bulgular:** TA olan hastalarda, karotis arterlere ait longitudinal "strain" (S), "strain rate" (SR) ve toplam longitudinal yer değiştirmesi değerleri, kontrol grubuna göre anlamlı olarak azalmış bulundu (S: % 1.22 ± 0.70 , % 4.77 ± 1.26 , p=0.002; SR: 1.17 ± 0.10 , 0.68 ± 0.32 , p<0.0001; toplam longitudinal yer değiştirmesi: 0.22 ± 0.10 ms, 0.27 ± 0.12 ms, p=0.003). Radiyal zirve akım hızı, hasta grubunda, belirgin olarak azalmış iken, (0.10 ± 0.01 cm/s, 0.27 ± 0.12 cm/s, p<0.0001), zirve radiyal akım hızına olan zaman, Takayasu arteriti olan grupta, sağlıklı gruba göre, anlamlı olarak artmış bulundu. (221 ± 67.8 ms, 139 ± 33.8 ms, p=0.0001).**Sonuç:** Takayasu arteriti olan hastalarda, vasküler inflamatuv tutuluma bağlı olarak, büyük arterlerin duvar hareket özelliklerinde değişimler gözlemlenmiştir. "Hız Vektör Görüntüleme" metodu, TA olan hastalarda, karotis arterlerdeki duvar hareket bozukluğunun değerlendirilmesinde kullanılabilecek yeni bir "strain" inceleme yöntemidir.**Genel**

S-022

Kritik iskemik ayak hastalarında otolog taze izole edilmiş kemik iliği kök hücre transplantasyonun etkileriR Gökmen Turan¹, A. Tulga Ulus², İlkyar Bozdag Turan¹, İbrahim Akin¹, Stephan Kische¹, C. Hakan Turan¹, Liliya Paranskaya¹, Nicole Arsoy¹, Jasmin Ortak¹, Christoph A. Nienaber¹, Hüseyin Ince¹¹*Department of Internal Medicine, Division of Cardiology, University Hospital Rostock, Germany
2Türkiye Yüksek İhtisas Hastanesi, Kalp Damar Cerrahisi, Ankara*

S-021

Evaluation of carotid artery wall motion by velocity vector imaging in patients with Takayasu's arteritisSelen Yurdakul¹, Fatma A. Öner², Haner Direskeneli², Saide Aytekin¹¹*Department of Cardiology, İstanbul Bilim University Florence Nightingale Hospital, İstanbul
2Department of Rheumatology, Marmara University Faculty of Medicine, İstanbul***General**

S-022

Influence of autologous freshly isolated bone marrow cells transplantation in patients with no option critical limb ischaemiaR Gökmen Turan¹, A. Tulga Ulus², İlkyar Bozdag Turan¹, İbrahim Akin¹, Stephan Kische¹, C. Hakan Turan¹, Liliya Paranskaya¹, Nicole Arsoy¹, Jasmin Ortak¹, Christoph A. Nienaber¹, Hüseyin Ince¹¹*Department of Internal Medicine, Division of Cardiology, University Hospital Rostock, Germany
2Turkiye Yüksek İhtisas Hospital, Department of Cardiovascular Surgery, Ankara***Objectives:** Despite advances in endovascular therapies, critical limb ischaemia (CLI) continues to be associated with high morbidity and mortality. Patients without direct revascularization options have the worst outcomes. We examined the effect of combined intraarterial and intramuscular autologous freshly isolated bone marrow cells transplantation (BMCs-Tx) by use of point of care system in patients with no option critical limb ischaemia (NO-CLI).**Methods:** 17 patients with cell therapy as well as 12 patients without cell therapy with NO-CLI were recruited and underwent follow-up ankle-brachial index (ABI) and transcutaneous partial oxygen tension (tcPO2) examinations after 6 months. Bone marrow cells (BMCs) were injected intramuscular and intraarterial into the ischemic limb.**Results:** 6 months after cell therapy showed a significant reduction of major amputation compared to control group without cell therapy (p<0.001). Moreover we observed a significant improvement of pain scale (p<0.001), ABI (p<0.001) and tcPO2 (p<0.001) 6 months after cell therapy. Furthermore the quality of life was significantly improved 6 months after cell transplantation as compared to control group (p=0.003).**Conclusions:** The present study demonstrated combined intraarterial and intramuscular autologous freshly isolated bone marrow cells transplantation in patients with NO-CLI by use of point of care system is a clinically safe and feasible. Furthermore this may lead to reduction of major amputation and enhancement of leg perfusion and clinical symptom in patients with NO-CLI.

S-023

Perifer arter hastalarında otolog taze izole edilmiş kemik iligi kök hücre transplantasyonun etkileri

R Gökmen Turan¹, A. Tulga Ulus², Ilkay Bozdag Turan¹, Liliya Paranskaya¹, C. Hakan Turan¹, Stephan Kische¹, Ibrahim Akin¹, Nicole Arsoy¹, Jasmin Ortak¹, Christoph A. Nienaber¹, Hüseyin Ince¹

¹Rostock Üniversitesi Hastanesi, İç Hastalıkları Kliniği, Kardiyoloji Bölümü, Almanya

²Türkiye Yüksek İhtisas Hastanesi, Kalp Damar Cerrahisi, Ankara

S-025

Opere atriyal septal defekt öyküsü olan sağ ventrikül fonksiyonu normal görünen hastaların sağ ventrikül fonksiyonlarının speckle tracking ekokardiyografi yöntemi ile değerlendirilmesi

Burçak Kılıçkuran Avcı, Şüküru Taylan Şahin, Selen Yurdakul, Saide Aytekin

Florence Nightingale Hastanesi Kardiyoloji Bölümü, İstanbul

Amaç: Atriyal septal defekt (ASD) operasyonu sonrası sağ atriyum (SaG) ve sağ ventrikül (saGv) volumleri azalmakta, pulmoner arter (PA) basincı düşmektedir. Vakaların bir kısmında geleneksel yöntemler ile SaG fonksiyonları tamamen normale dönmüş gibi görülmektedir. Bu çalışma da cerrahi yöntem ile ASD onarımı yapılmış, sağ kalp boşlukları normal genişlikte ve SaG fonksiyonu iki boyutlu ölçütler ile normal görünen hastaların SaGv miyokard deformasyonunun speckle tracking yöntemi ile değerlendirilmesi amaçlanmıştır.

Metod: Merkezimizde 2000-2011 yılları arasında en az bir yıl önce cerrahi yöntem ile ASD onarımı yapılmış, kontrol ekokardiyografisinde SaG, SaGv çapı ve PA sistolik basincı normal sınırlarda olan 30 yetişkin hasta ve 15 yaş ve cinsiyet olarak eşitlenmiş sağlıklı gönüllü çalışmaya dahil edildi. Apikal dört boşluk görüntülenme SaGv fraksiyonel alan değişimi (FAD) ve ejeksiyon fraksiyonu (EF) ölçüldü. SaG lateral duvarı ve interventriküler septum basal-mid-apikal olmak üzere üçer segmente bölünerek her bir segmentin speckle tracking ekokardiyografi yöntemi ile longitudinal strain değerleri ölçüldü. SaGv global strain (6 segment ortalaması) ve SaGv lateral strain (3 segment ortalaması) hesaplandı.

Bulgular: Kontrol grubu ile kıyaslandığında SaGv FAD ve EF benzerdi. Ancak global strain (ASD grubunda 13.61 ± 3.43 ve kontrol grubunda 20.25 ± 3.61 , $p < 0.001$) ve lateral strain (ASD grubunda 16.02 ± 4.29 ve kontrol grubunda 23.55 ± 5.71 , $p < 0.001$) değerleri anlamlı olarak daha düşük saptandı.

Sonuç: Bulgularımız cerrahi yöntem ile ASD onarımı yapılmış hastalarda, geleneksel ekokardiyografik yöntemler ile SaG fonksiyonları normal bulunusa da, daha gelişmiş bir yöntem olan "speckle tracking" yöntemi miyokard longitudinal deformasyonunun kontrol grubuna göre daha düşük olduğunu göstermiştir.

S-025

Assessment of right ventricular function with speckle tracking imaging in patients with history of operated atrial septal defect having normal right ventricular function with standard echocardiographic measurements

Burçak Kılıçkuran Avcı, Şüküru Taylan Şahin, Selen Yurdakul, Saide Aytekin

Departmen of Cardiology, Florence Nightingale Hospital, İstanbul

S-026

Perkütan mitral balon valvuloplastinin sol ventrikü sistolik rotasyon parametrelerine etkisi

Gülsün Şahin, Özkan Candan, Suzan Hatipoğlu Akpinar, Mehmet Onur Omayenç, Tülay Bayram, Ruken Bengi Bakal, Yunus Emiroğlu, Nihal Özdemir

Kartal Koşuyolu Yüksek İhtisas Eğitim ve Araştırma Hastanesi, Kardiyoloji Bölümü, İstanbul

Amaç: Ciddi Mitral darlığından sol ventrikül sistolik fonksiyonların genellikle korunmuş veya önyük azalmasına bağlı hafif azalmıştır. Mitral darlığı olgularında sol ventrikül sistolik performansının bir göstergesi olan iki boyutlu-speckle tracking görüntüleme (2D-STE) ile elde edilen sol ventrikül sistolik rotasyonları ile ilgili yeterince bulgu yoktur. Bu çalışmanın amacı sol ventrikül rotasyonel parametrelerini mitral balon valvuloplasti öncesi ve sonrasında incelemektir.

Yöntem-Bulgular: Orta-ileri derecede izole MD olan 20 hasta (18 kadın ve 2 erkek, ortalama yaşı 46.3 ± 5.6 yıl) çalışmaya dahil edildi. Önemli ek kapak hastalığı (ileri mitral yetersizliği, aort yetersizliği, aort darlığı gibi), diyetabes mellitus, hipertansiyon, koroner arter hastalığı, geçirilmiş miyokoroner olay, kalp kası hastalığı mevcudiyeti, yetersiz ekopeni, sinus dişi ritim olması, dal bloğu olan hastalar çalışmaya alınamadı. Tüm hastalara işlemden 24 saat önce ve sonra standart ekokardiyografi incelemesi yanında, 2D-STE yöntemiyle SV rotasyonel parametreleri(bazal rotasyon, apikal rotasyon ve torsiyon),SV GLS (sol ventrikül global strain) ölçümleri yapıldı. Çalışmamızda tüm hastalarda PMBV ile erken dönemde anlamlı kapak alan artışı saptanırdı (MKApnl 1.1 ± 0.2 vs 1.6 ± 0.4 cm², $p < 0.001$), (MKApnl 1.1 ± 0.2 vs 1.7 ± 0.4 cm², $p < 0.001$) sol atriyum capında(47.4 ± 4.1 vs 44.0 ± 11.1 mm, $p < 0.001$), sistolik pulmoner arter basincında(43.5 ± 15.7 vs 32.5 ± 10.7 p, $p < 0.007$), maksimum ve ortalama mitral kapak gradyentinde(Maks gradiyent 24.5 ± 10.0 vs 13.3 ± 5.2 mm Hg, $p < 0.001$; ortalama gradiyent 13.5 ± 6.1 vs 6.4 ± 2.5 mm Hg, $p < 0.001$) anlamlı düşme izlendi. PMBV işlem öncesi ve sonrası sol ventrikül boyutları ve sistolik fonksiyonları (EF) açısından anlamlı fark yoktu. Akım doppler verilerinde E (2.2 ± 0.6 vs 1.7 ± 0.3 m/s; $p < 0.015$) ve A (2.0 ± 0.6 vs 1.5 ± 0.5 m/s; $p < 0.015$) dalgaları işlem sonrası beklentiği gibi anlamlı düzeye arttı. İşlem öncesi ve işlem sonrası 2-DSTE değerleri karşılaştırıldığında; işlem sonrası basal rotasyon, apikal rotasyon, torsiyon değerleri artarken bu artış yanızca torsiyonda ($11.5^\circ \pm 5.2^\circ$ vs $15.9^\circ \pm 7.2^\circ$, $p = 0.006$) ve basal rotasyonda ($4.1^\circ \pm 2.5^\circ$ vs $5.9^\circ \pm 2.7^\circ$, $p = 0.011$) istatistiksel anlamlılığa ulaşmıştır. Sol ventrikül global longitudinal strain değerlerinde (%) anlamlı değişiklik izlenmedi.

Sonuç: Mitral darlığı olgularında mitral balon sonrası SV global strainının değişmediğini, bununla birlikte basal rotasyon ve torsiyonun belirgin bir şekilde arttığını ve net torsiyona katkının daha çok basal rotasyon artışı ile olduğunu saptadık. Bu durum işlem sonrasında mitral komissür ve papiller adelelerin sol ventrikül dolusu üzerindeki restriktif etkisinin azalması ile ilişkilendirilebilir.

S-026

Effects of percutaneous mitral balloon valvuloplasty on left ventricular systolic rotational parameters

Gülsün Şahin, Özkan Candan, Suzan Hatipoğlu Akpinar, Mehmet Onur Omayenç, Tülay Bayram, Ruken Bengi Bakal, Yunus Emiroğlu, Nihal Özdemir

Kartal Koşuyolu Yüksek İhtisas Training and Research Hospital, Cardiology Department, İstanbul

Aims: In patients with severe mitral stenosis left ventricular systolic function is usually preserved or mildly diminished because of increased preload. Satisfactory data about left ventricular systolic rotational parameters obtained by two dimensional-speckle tracking echocardiography (2D-STE) in subjects with mitral stenosis does not exist. The aim of this study was to investigate left ventricular rotational parameters, as an indicator of left ventricular systolic performance before and after mitral valvuloplasty in patients with mitral stenosis.

Methods-Results: 20 subjects (18 female and 2 male, mean age 46.3 ± 5.6 years) with moderate and severe isolated mitral stenosis were included. Patients with severe additional valvular disease (such as severe mitral and aortic regurgitation, aortic stenosis), diabetes mellitus, hypertension, coronary artery disease, myocardial disease, atrial fibrillation, bundle branch block and insufficient echocardiographic images were excluded. All patients underwent echocardiographic examination 24 hours before and after the procedure. All patients in the study had early postprocedural significant increase in mitral valvular area (MVA)(MVA pln 1.1 ± 0.2 vs 1.6 ± 0.4 cm², $p < 0.001$; MVA phl 1.1 ± 1.2 vs 1.60 ± 4 cm², $p < 0.001$) and decrease in left atrial diameter (47.4 ± 4.1 vs 44.0 ± 11.1 mm, $p < 0.001$), systolic pulmonary artery pressure (43.5 ± 15.7 vs 32.5 ± 10.7 mm Hg, $p < 0.001$), maksimal and mean mitral transvalvular gradient (maksimal gradient 24.5 ± 10.0 vs 13.4 ± 5.24 mm Hg, $p < 0.001$; mean gradient 13.5 ± 6.1 vs 6.5 ± 2.5 mm Hg, $p < 0.001$). There was no significant change in left ventricular diameters and systolic function (EF); postprocedural trend to decrease in EDV and ESV was also not statistically significant. Mitral inflow variables ($E = 2.2 \pm 0.6$ vs 1.7 ± 0.5 m/s, $p = 0.015$) and A (2.0 ± 0.6 vs 1.5 ± 0.5 m/s, $p = 0.015$) were increased as expected. When preprocedural and postprocedural 2D-STE systolic rotational parameters were analysed; an increase in postprocedural basal rotation, apical rotation and torsion parameters was observed, however only increase in torsion ($11.5^\circ \pm 5.2^\circ$ vs $15.9^\circ \pm 7.2^\circ$, $p = 0.006$) and basal rotation ($4.1^\circ \pm 2.5^\circ$ vs $5.9^\circ \pm 2.7^\circ$, $p = 0.011$) reached statistical significance. Left ventricular global longitudinal strain (%) by 2D-STE also did not change postprocedurally.

Conclusions: Our study showed that left ventricular global strain did not change after balloon valvuloplasty in patients with mitral stenosis, but basal rotation and torsion significantly increased and the increase in torsion was associated with the distinct augmentation in basal rotation. This can be associated with postprocedural decrease in the restrictive effect of mitral commissures and papillary muscles in left ventricular filling.

Kalp nakli yapılmış olgularda, sağ ventrikül sistolik fonksiyonlarının ekokardiyoografi ve kardiyak manyetik rezonans görüntüleme parametreleriyle karşılaştırılması, ekokardiyografının doğruluk ve güvenilirliğinin araştırılması

Evrin Simsek¹, Sanem Nalbantgil¹, Naim Ceylan², Mehdi Zoghi¹, Salih Kılıç¹, Mustafa Kurşun¹, Hatice Soner Kemal¹, İnan Mutlu¹, Çağatay Engin³, Tahir Yağı³, Mustafa Özbaran³, Selen Bayraktaroglu¹

¹Ege Üniversitesi Tip Fakültesi, Kardiyoloji Anabilim Dalı, İzmir

²Ege Üniversitesi Tip Fakültesi, Radyoloji Anabilim Dalı, İzmir

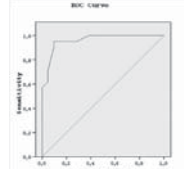
³Ege Üniversitesi Tip Fakültesi, Kalp Damar Cerrahisi Anabilim Dalı, İzmir

Amaç: Kalp nakli yapılan hastalarda sağ ventrikül fonksiyonları erken ve geç dönemde sağ kalımı etkilemektedir. Sağ ventrikül (RV) karmaşık anatomik yapısı nedeniyle sistolik fonksiyonlarını ekokardiyoografik olarak değerlendirmek standart bir yöntem yoktur. Çalışmamızda ekokardiyografide RV sistolik fonksiyonunu değerlendirmede önerilen parametrelerle altı standart kardiyak MRG'de hesaplanan RVEF (MR RVEF) ilişkisini araştırdık.

Yöntem ve Sonuçlar: 43 kalp nakli hastası çalışmaya aldı ve RV sistolik fonksiyonları yük dumurdan etkilenmediği için aynı yük altında tüm değerlendirme yapılmış amacılıyla 6 saat içinde önce ekokardiyoografi ve kardiyak MRG tıktığı arından endomiyokardiyal biyopsi ve sağ kalp kateterizasyonları yapılmıştır. Olgulara ekokardiyoografik olarak saptanan RV fraksiyonu alan değeri (RVFAC), RV miyokardiyal performans indeksi (RVMPI), RV izovolumetrik akcelerasyonu (IVA), TAPSE ve RV serbest duvar ve septum bazal doku doppler sistolik hızları (S'), speckle tracking yöntemi ile ölçülen strain ve strain rate değerlerini Kardiyak MRG ile ölçülen RVEF ile ilişkili araştırdı. Olgalar arasında RV sistolik fonk. etkileyebilecek rejeksiyon, vaskülopati ve pulmoner, kardiyak basınçlarında yatkınlığı olanlar dışlanarak RV fonksiyonları normal olarak tanımlanabilen, naktıl hastalarında, sağ ventrikül için daha önce açıklanmamış, referans değerler araştırıldı. Ekokardiyografik parametrelerden MR RVEF ile sadecə RV FAC ilişkili saptanmıştır ($r=0,747$, $p<0,01$) MR RVEF değeri için normal insanlarda saptanan alt referans değer %50 için ROC analizi yapıldığında %48,5 RV FAC değeri MR RVEF <= %50'yi ve MR RVEF > %50'yi %90,5 duyarlılık, %90,5 özgürlük (AUC:0,96) belirleyebilmektedir. "Normal" olarak belirlenen olgu grubunda ($n=30$) MR RVEF değeri %50,5±7,6 saptandı %25 persentil eğrisindeki alt sınırlar olarak kabul edilerek MR RVEF >=44,5 değer referans kabul edildi ve RV FAC için ROC analizi yapıldı. % 47,5 RV FAC değeri MR RVEF >= %64,5yi %79,3 duyarlılık, %76,9 özgürlük (AUC:0,897), MR RVEF < %45'yi ise %76,9 duyarlılık %79,3 özgürlük (AUC:0,897) öngörmektedir. Normal naktıl hastalarının analizi ile RV ekokardiyografik değerlendirmesine için kullanabileceğimiz referans değerlerin oluşturulması (Tablo 1-2-3)

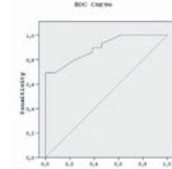
Tartışma: Araştırmamız kalp nakli hastalarında ekokardiyoografi parametreleri ile MR RVEF'in ilişkisinin araştırıldığı ilk çalışmardır. Kalp nakli hastaları dışındaki hastalarda yapılan çalışmalarla araştırmamızda kullanılan ekokardiyoografi parametreleri ile MR RVEF ilişkili çıkarken, araştırmamızda sadece RVFAC'ının ilişkili çıkışması sempatik ve parasempatik uyarı farklı yanıt verebilir sağ ventrikül peristaltizm şeklindeki kontraksiyonunun denere naktıl kalbinde farklı sistolik fizyolojisi neden olması, sistolde radial kusmanın payının longitudinal kısalmaya göre artmış olması olabilir. RVFAC ise araştırmamızdaki ekokardiyoografi parametreleri içinde radial kısalmayı gösteren tek parametredir.

MR RVEF >%50 referans değerinde RV
FAC cutoff değeri için ROC analizi eğrisi



%48,5 RV FAC değeri MR RVEF <= %50'yi ve
MR RVEF > %50'yi %90,5 duyarlılık, %90,5
özgürlük (AUC:0,96) belirleyebilmektedir

MR RVEF >= 45 referans değerinde RV
FAC cutoff değeri için ROC analizi eğrisi



%47,5 RV FAC değeri MR RVEF >= %45'i %79,3 duyarlılık, %76,9 özgürlük
(AUC:0,897) belirleyebilmektedir

Table 1					
	Mean	sd	Minimum	Maximum	N
MR RVEF (%)	50,5± 7,6		38,0	66,3	30
MR RVEF (ml)	81,0± 24,5		45,6	152,0	30
MR RVEF/BSA (ml/m ²)	44,2± 11,6		29,2	81,2	30
MR RVEF (ml)	40,0± 14,3		23,7	80,4	30
MR RVEF/BSA (ml/m ²)	21,8± 7,3		12,7	42,9	30
MR SV (ml)	41,0± 9,9		18,9	71,5	30
MR SV / BSA (ml/m ²)	22,3± 6,2		11,9	38,2	30
Total					30

Normal olarak saptanan naktıl hastalarda belirlenen değerler

Table 2					
	Ortalama	sd	Minimum	Maximum	N
RV MPI rdd (ms)	0,63± 0,15		0,46	1,24	28
IVA rdd (m/s ²)	1,32± 0,67		0,33	2,80	24
RV Basal PW Sm (cm/s)	8,03± 2,50		1,00	12,00	26
Septum Basal Sm (cm/s)	8,37± 1,76		3,00	10,00	29
RVOD 1 (cm)	34,0± 5,98		25,00	45,00	31
RVOD 2 (cm)	30,1± 7,61		22,00	63,00	31
RVOD 3 (cm)	64,1± 8,26		48,00	84,00	31

Normal olarak saptanan naktıl hastalarda belirlenen değerler

Assessment of right ventricular systolic function in heart transplant patients: correlation between echocardiography and cardiac magnetic resonance imaging, investigation of the accuracy and reliability of echocardiography

Evrin Simsek¹, Sanem Nalbantgil¹, Naim Ceylan², Mehdi Zoghi¹, Salih Kılıç¹, Mustafa Kurşun¹, Hatice Soner Kemal¹, İnan Mutlu¹, Çağatay Engin³, Tahir Yağı³, Mustafa Özbaran³, Selen Bayraktaroglu¹

¹Department of Cardiology, Ege University Faculty of Medicine, İzmir

²Department of Radiology, Ege University Faculty of Medicine, İzmir

³Department of Cardiovascular Surgery, Ege University Faculty of Medicine, İzmir

S-028

Erişkin hastalarda perkütan atrial septal defekt kapatılmasının sağ ve sol ventrikül yeniden şekillenmesi üzerine farklılıklarının incelenmesi

Kevser Gülcihan Balçır¹, Mustafa Mücahit Balçır², Mehmet Doğan¹, Harun Kılıç¹, Ekrem Yeter¹, Ramazan Akdemir³

¹S.B. Dışkı Yıldırım Beyazıt Eğitim ve Araştırma Hastanesi, Kardiyoloji Kliniği, Ankara

²Ankara Türkiye Yüksek İhtisas Hastanesi, Kardiyoloji Bölümü, Ankara

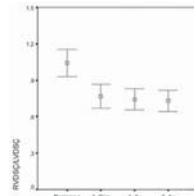
³Sakarya Üniversitesi Tıp Fakültesi, Kardiyoloji Anabilim Dalı, Sakarya

Giriş: Erişkin atrial septal defekt (ASD)'li hastalarda sağ ventrikül uzun süreli olarak volum yükü altında kalmasına bağlı transkater ASD kapatılması sonrasında kardiyak adaptasyon sürecinin uzun süremesi beklenmektedir. Erişkin hasta grubunda transkater ASD kapatılması sonrasında kardiyak yeniden şekillenme hakkında sınırlı çalışma mevcuttur. Çalışmamızın amacı transkater ASD kapatması sonrası süreçte sağ ve sol ventrikül yeniden şekillenme sürecini incelemek ve ASD kapatılması sonrası süreçte sağ ve sol ventrikülün bu akut hemodinamik değişiklikle verdiği yanıtın değerlendirilmesidir.

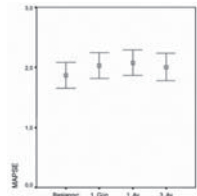
Yöntem-Gereklilik: Perkütan kapatmaya uygun 19 sekundüm tip ASD'li erişkin hasta çalışmaya alındı (40 ± 13.5 yaş). Tüm hastaların fizik muayeneleri yapıldı, klinik hikayeleri almış ve rutin ekokardiyografik ölçümeler yapıldı. Ekokardiyografik incelemler doku doppler ile yapılan sağ ve sol ventrikül miyokardial performans indeksi (MPI) ölçümleri de içeriye了过来. Ekokardiyografik ölçümler transkater ASD kapatılmasından önce, 1. gün, 1. ay ve 3. ayda yapılmıştır. Toplam 19 hasta 76 adet ölçülmüştedir.

Bulgular: Çalışmamızda sağ bulgular elde edildi: (1) İşlem sonrasında sol ventrikül diastol sonu çapı arttı (37 ± 4 mm vs 44 ± 5 mm; $p < 0.001$) ve sağ ventrikül diastol sonu çapı azaldı (40 ± 4 mm ve 32 ± 5 mm; $p < 0.001$) (Figür 1) (Tablo 1), (2) ASD kapatılmasına sağ ve sol ventrikül farklı adaptasyon mekanizmalarıyla yanıt verdi. İşlem sonrası mitral anular sistolik hareketi (MAPSE) arttı (18.7 ± 2.2 mm ve 20.1 ± 2.3 mm; $p < 0.001$) (Figür 2) (Tablo 2) ve doku doppler sol ventrikül MPI düzelmeye gösterirken (0.44 ± 0.04 ve 0.36 ± 0.03 ; $p < 0.001$) (Figür 3) (Tablo 1), doku doppler sağ ventrikül MPI 1. ayda kadar bozulma gösterirken (0.25 ± 0.02 ve 0.31 ± 0.03 ; $p < 0.001$) bu durum 3. ayda düzelmeye gösterdi (0.31 ± 0.03 ve 0.27 ± 0.02 ; $p < 0.001$) (Figür 4) (Tablo 1). Triküspit anular sistolik hareketi (TAPSE) değerlerinde ise anlamlı bir değişim saptanmadı (2.49 ± 0.46 ve 2.51 ± 0.32 ; $p = 0.078$) (Figür 5) (Tablo 2).

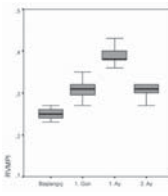
Sonuçlar: Sonuç olarak, bizim çalışmamız transkater ASD kapatılması sonrasında sağ ventrikülde akut olarak büzülme olduğunu ve buna sol ventrikülde genişlemenin eşlik ettiğini göstermiştir. Her iki ventrikülde olan bu değişim süreci, işlem öncesi ventrikül boyutları ile ilişkili çalışmamıştır. Her iki ventrikül transkater ASD kapatılmasından sonra süreçte ani hemodinamik değişikliklere farklı adaptasyon mekanizmalarıyla cevap vermiştir. Sol ventrikül fonksyonları kapatılma sonrası hızla düzelmeye gösterirken, sağ ventrikül fonksyonları geçici bir bozulma olmuştur. Bu duruma her iki ventrikülün yapısal, anatomik farklılığı ve çalışmamızda dahil olan yaş grubunda sağ ventrikül kitlesinin akut volum değişikliğine verdiği gecikmiş yanıt nedan olabilir.



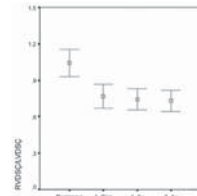
Şekil 1. İşlem zamanlarına göre RVDS/ LVDSC dizeyleri.



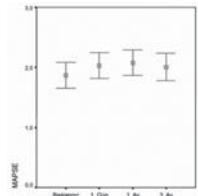
Şekil 2. İşlem zamanlarına göre MAPSE dizeyleri.



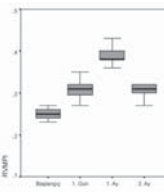
Şekil 3. İşlem zamanlarına göre LVMPI dizeyleri.



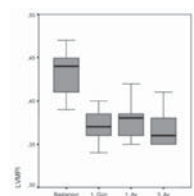
Şekil 4. İşlem zamanlarına göre RVMIPI dizeyleri.
Fig. 1. Serial changes in RV end diastolic diameter/left ventricular end diastolic diameter (RVED/LVEDD) ratio before and 1st day, 1st month, and 3rd months after ASD closure.



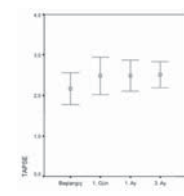
Şekil 5. İşlem zamanlarına göre TAPSE dizeyleri.
Fig. 2. Serial changes in MAPSE before and 1st day, 1st month, and 3rd months after ASD closure.



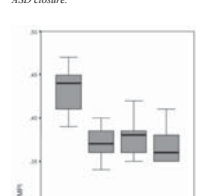
Şekil 6. LV Tei index trend before and 1st day, 1st month, and 3rd months after ASD closure.



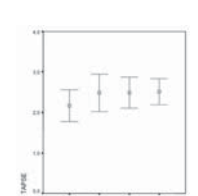
Şekil 4. İşlem zamanlarına göre RVDS/ LVDSC dizeyleri.



Şekil 5. İşlem zamanlarına göre TAPSE dizeyleri.



Şekil 6. LV Tei index trend before and 1st day, 1st month, and 3rd months after ASD closure.



Şekil 7. İşlem zamanlarına göre MAPSE dizeyleri.

Değişkenler	Başlangıç	1. Gün	1. Ay	3. Ay	p-değeri
LVSSC (mm)	37.0±4.0 ^{a,b,c}	43.0±4.0 ^a	44.0±4.0 ^{a,c}	44.0±4.0 ^{a,c}	
LVSSD (mm)	25.0±1.5 ^{a,b,c}	25.0±1.5 ^a	25.0±1.5 ^{a,c}	25.0±1.5 ^{a,c}	0.304
EF (%)	62.0±3.0 ^{a,b,c}	68.0±4.0 ^{a,d}	69.0±3.0 ^{a,b}	71.0±4.0 ^{a,b,d}	<0.001
RVDS/ LVDSC (mm)	40.0±4.0 ^{a,b,c}	35.0±6.0 ^{a,d}	33.0±5.0 ^{a,b}	32.0±5.0 ^{a,d}	<0.001
LV MPI	0.44±0.04 ^{a,b,c}	0.37±0.03 ^{a,b}	0.38±0.03 ^{a,b}	0.36±0.03 ^{a,c}	<0.001
RV MPI	0.25±0.02 ^{a,b,c}	0.31±0.03 ^{a,f}	0.38±0.02 ^{a,b,f}	0.31±0.02 ^{a,c,e,f}	<0.001
LA CAP (cm) ^c	3.4 (1.00)	3.5 (0.85)	3.5 (0.67)	3.3 (0.67)	0.270
RA CAP (cm) ^c	4.6 (0.77) ^{a,b,c}	3.9 (0.85) ^{a,d}	3.6 (0.65) ^a	3.4 (0.55) ^{a,d}	<0.001
RADSIV(m)	67.0 (11.9) ^{a,b,c}	60.5 (15.4) ^{a,d}	51.1 (11.1) ^b	50.1 (14.5) ^{a,d}	<0.001
RASSV(m)	39.0 (14.2)	33.5 (11.2)	30.5 (12.5)	29.2 (8.6)	0.053

İşlem zamanlarına göre ekokardiyografik değişkenlerin ait ölçülerin Başlangıç ile 1. gün arasındaki fark istatistikler olarak anımsı ($p < 0.0083$) 2. Başlangıç ile 1. ay arasındaki fark istatistikler olarak anımsı ($p < 0.0083$) 3. Başlangıç ile 1. ay arasındaki fark istatistikler olarak anımsı ($p < 0.0083$) 4. Başlangıç ile 1. ay ile 3. ay arasındaki fark istatistikler olarak anımsı ($p < 0.0083$). 1. gün ile 1. ay arasındaki fark istatistikler olarak anımsı ($p < 0.001$).

Değişkenler	Başlangıç	1. Gün	1. Ay	3. Ay	p-değeri
TAPSE (cm)	2.17±0.40	2.49±0.46	2.49±0.38	2.51±0.32	0.078
MAPSE (cm)	1.87±0.27 ^{a,b}	2.03±0.22 ^a	2.08±0.21 ^{a,b,c}	2.01±0.23 ^{a,c}	<0.001
RVDS/ LVDSC (mm)	1.04±0.1(a,b,d)	0.77±0.10(a)	0.74±0.09(b)	0.73±0.09(d)	<0.001
RA EF %	45.0±7.5 ^{a,b,d}	56.2±7.24 ^{a,c,f}	61.2±8.27 ^{a,f}	66.0±8.6 ^{a,d,f}	<0.001

İşlem zamanlarına göre TAPSE, MAPSE, RVDS/ LVDSC ve RA EF değerleri, ait p < 0.05. Before vs 1st day p = 0.0083, Before vs 1st month p = 0.0001, Before vs 3rd month p = 0.053, 1st day vs 1st month p = 0.023, 1st day vs 3rd month p = 0.001, Before vs 1st month vs 3rd month p = 0.0001, 1st day vs 1st month vs 3rd month p = 0.0001, 1st day vs 3rd month p = 0.0001.

Echocardiography

S-028

Differences in right and left ventricular remodeling after transcatheter closure of atrial septal defect among adults

Kevser Gülcihan Balçır¹, Mustafa Mücahit Balçır², Mehmet Doğan¹, Harun Kılıç¹, Ekrem Yeter¹, Ramazan Akdemir³

¹Department of Cardiology, Dışkı Yıldırım Beyazıt Training and Research Hospital, Ankara

²Department of Cardiology, Ankara Türkiye Yüksek İhtisas Hospital, Ankara

³Department of Cardiology, Sakarya University Faculty of Medicine, Sakarya

Background: In adult patients with atrial septal defect (ASD), longer periods of cardiac adaptation should be expected after the procedure due to longstanding right ventricle (RV) volume overload and subsequent changes in the pulmonary vasculature. There are limited reports about this remodeling in adult patients.

Objectives: The purpose of this study to evaluate acute cardiac remodeling after transcatheter closure of ASD in adult patients.

Methods: This study included 19 patients with secundum ASD who underwent successful transcatheter closure (40 ± 13.5 mean age). After careful clinical history had taken from all patients, we performed routine transthoracic echocardiography, including tissue Doppler left ventricle (LV) and RV myocardial performance indices (MPI) before closure of the ASD, and 1, day, 1. month, and 3 months after closure.

Results: At the end of the mean follow-up period of 3 months, we found: (1) LV end diastolic diameter increased (37.4 ± 4.4 mm to 44.5 ± 5 mm; $p < 0.001$), and RV end diastolic diameter decreased markedly after the closure (40 ± 4 mm to 32 ± 5 mm; $p < 0.001$) (Figure 1) (Table 1), (2) differences existed in LV and RV adaptation. While mitral annular plane systolic excursion (MAPSE) (18.7 ± 2.2 mm to 20.1 ± 2.3 mm; $p < 0.001$) (Figure 2) (Table 2) and LV MPI improved soon after the procedure (0.44 ± 0.04 to 0.36 ± 0.03 ; $p < 0.001$) (Figure 3) (Table 1), RV MPI worsened until 1 month after the procedure (0.25 ± 0.02 to 0.31 ± 0.03 ; $p < 0.001$) (Figure 4) (Table 1), then recovered by the 3 month follow-up visit (0.31 ± 0.03 to 0.27 ± 0.02 ; $p < 0.001$); tricuspid annular plane systolic excursion (TAPSE) remained unchanged (2.49 ± 0.46 to 2.51 ± 0.32 ; $p = 0.078$) (Figure 5) (Table 2).

Conclusions: "Shrinkage" of the RV and "expansion" of the LV occurred soon after the procedure. Device closure of ASDs caused rapid improvement of LV function in contrast to RV function which underwent transient deterioration, probably due to functional and anatomical differences between the ventricles and delayed changes in RV ventricular mass in the face of acute volume reduction in this aged cohort.

S-029

Akut miyokard infarktüsü hastalarında intra koroner taze izole edilmiş kemik iligi kök hücre transplantasyonu sonrası kardiyak fonksiyonlarında meydana gelen uzun süreli düzelleme

R. Gökmen Turan, Ilkay Bozdag Turan, C. Hakan Turan, Ibrahim Akin, Stephan Kische, Liliya Paranskaya, Henrik Schneider, Tim Rehders, Nicole Arsoy, Christoph A. Nienaber, Hüseyin Ince

Rostock Üniversitesi Hastanesi, İç Hastalıkları Kliniği, Kardiyoloji Bölümü, Almanya

S-029

Long term improvement of cardiac function by intracoronary freshly isolated bone marrow cells transplantation in patients with acute myocardial infarction

R. Gökmen Turan, Ilkay Bozdag Turan, C. Hakan Turan, Ibrahim Akin, Stephan Kische, Liliya Paranskaya, Henrik Schneider, Tim Rehders, Nicole Arsoy, Christoph A. Nienaber, Hüseyin Ince

Department of Internal Medicine, Division of Cardiology, University Hospital Rostock, Germany

Background: Autologous bone marrow cell transplantation (BMCs-Tx) is a promising novel option for treatment of cardiovascular disease. We analyzed in this controlled study the long term influence of intracoronary autologous freshly isolated bone marrow cells transplantation by use of point of care system on cardiac function in patients with acute myocardial infarction (AMI).

Methods-Results: 100 patients with AMI were randomized to either intracoronary freshly isolated BMCs-Tx or to a control group without cell therapy. Global ejection fraction (EF) and the size of infarct area were determined by left ventriculography. We observed in patients with freshly isolated BMCs-Tx at 6 and 24 months follow up a significant reduction of infarct size compared to baseline. Moreover we found significant increase of global EF as well as infarct wall movement velocity after cell therapy compared to baseline. In control group there was no significant changes of global EF and infarct size at 6 and 24 months after AMI compared to baseline.

Conclusions: These results demonstrate that intracoronary transplantation of autologous freshly isolated BMCs by use of point of care system is safe and may lead to long term improvement of cardiac function in patients with AMI.

Ekokardiyografi

S-030

Aşık hipertiroidi hastalarında atriyal elektromekanik gecikme ve sol atriyum mekanik fonksiyonlarının değerlendirilmesi

Serkan ÖzTÜRK¹, Oğuz Dikbaş², Alim Erdem¹, Selim Ayhan¹, Mehmet Fatih Özlu¹, Davut Baltacı³, Aytekin Alçelik⁴, Mehmet Tosun⁵, Mehmet Özyaşar¹, Mehmet Yazıcı¹

¹Abant İzzet Baysal Üniversitesi Bolu Tip Fakültesi Araştırma ve Uygulama Hastanesi, Kardiyoloji Bölümü, Bolu

²Abant İzzet Baysal Üniversitesi Bolu Tip Fakültesi Araştırma ve Uygulama Hastanesi, Endokrinoloji Anabilim Dalı, Bolu

³Düzce Üniversitesi Tip Fakültesi, Aile Hekimliği Anabilim Dalı, Düzce

⁴Abant İzzet Baysal Üniversitesi Bolu Tip Fakültesi Araştırma ve Uygulama Hastanesi, İç Hastalıkları Anabilim Dalı, Bolu

⁵Abant İzzet Baysal Üniversitesi Bolu Tip Fakültesi Araştırma ve Uygulama Hastanesi, Biyokimya Anabilim Dalı, Bolu

Amaç: Hipertiroidi, atriyal fibrilasyon ve kalp yetmezliği gelişiminde önemli kardiyovasküler risk faktörleridir. Doku Doppler görüntüleme (DDG) ile ölçülen atriyal ileti sürelerinde atriyal fibrilasyonla öngörmekte kullanılmaktadır. Bu çalışmada, aşık hipertiroidi hastalarında atriyal elektromekanik gecikme sürelerinin ve sol atriyal mekanik fonksiyonlarının değerlendirilmesi amaçlandı.

Çalışma Planı: Otuz dört aşık hipertiroidi hastası ve 34 sağlıklı birey çalışmaya dahil edildi. Aşık hipertiroidi tanısı; azalmış TSH seviyeleri ve artmış serbest T4 (sT4) seviyelerine göre konuldu. DDG ile atriyal elektromekanik ikilinenme süreleri lateral mitral halka (PA lateral), septal mitral halka (PA septal) ve triküspit halkadır (PA triküspit) ölçüldü. Sol atriyum (SA) hacimleri (maksimum, minimum ve sistol öncesi) apikal dört bozukluklu disk yöntemi ile ölçüldü ve vücut yüzey alanına göre hesaplandı. SA aktif ve pasif boşalma hacimleri ve oranları hesaplandı.

Bulgular: SA çapı aşık hipertiroidi hastalarında anamlı olarak daha büyük bulundu ($P=0.001$). Hipertiroid grubundan SA pasif boşalma hacmi ve oranı anamlı olarak azalmış idi ($P=0.038$ ve $P<0.001$) ancak SA aktif boşalma hacmi ve oranı anamlı olarak artmış idi ($P<0.001$ ve $P<0.001$). Hipertiroidi hastalarında intra-atriyal (PA septum-PA triküspit) ve interatriyal (PA lateral-PA triküspit) elektromekanik sürelerin anamlı derecede uzamış idi (29.2 ± 4.4 vs 18.0 ± 2.6 $P<0.001$; ve 10.5 ± 2.9 vs 7.1 ± 1.3 , $P<0.001$). Basamaklı lineer regresyon analizinde, sT4 ve TSH seviyeleri interatriyal gecikme süresinin bağımsız öngörtücileri olarak bulundu ($\beta=-0.388$, $p=0.001$ and $\beta=0.547$, $p=0.001$).

Sonuç: Bu çalışmada, hipertiroidi hastalarında atriyal ileti sürelerinin uzadığı ve SA mekanik fonksiyonlarının bozulduğu gösterilmiştir. Uzamış atriyal elektromekanik ileti süreleri ve SA mekanik fonksiyonlarındaki bozukluklar aşık hipertiroidi hastalarında subklinik kardiyak tutulumun erken bulguları ve ileride gelebilecek aritmilerin göstergesi olabilir.

Echocardiography

S-030

Evaluation of atrial electromechanical delay and left atrial mechanical functions in overt hyperthyroid patients

Serkan ÖzTÜRK¹, Oğuz Dikbas², Alim Erdem¹, Selim Ayhan¹, Mehmet Fatih Özlu¹, Davut Baltacı³, Aytekin Alçelik⁴, Mehmet Tosun⁵, Mehmet Özyaşar¹, Mehmet Yazıcı¹

¹Department of Cardiology, Abant İzzet Baysal University Bolu Faculty of Medicine, Research and Application Hospital, Bolu

²Department of Endocrinology, Abant İzzet Baysal University Bolu Faculty of Medicine, Research and Application Hospital, Bolu

³Department of Family Practice, Düzce University Bolu Faculty of Medicine, Düzce

⁴Department of Internal Medicine, Abant İzzet Baysal University Bolu Faculty of Medicine, Research and Application Hospital, Bolu

⁵Department of Biochemistry, Abant İzzet Baysal University Bolu Faculty of Medicine, Research and Application Hospital, Bolu

Objective: Hyperthyroidism is an important cardiovascular risk factor in the development of atrial fibrillation and heart failure. Increased atrial electromechanical intervals used to predict atrial fibrillation by measured tissue Doppler imaging (TDI). The aim of this study was to evaluate atrial electromechanical delay (EMD) and left atrial (LA) mechanical functions, in overt hyperthyroid patients.

Study Design: Thirty-four patients with overt hyperthyroid and 34 controls were included. A diagnosis of overt hyperthyroid was reached with decreased serum TSH and increased free T4 (fT4) levels. Using TDI, atrial electromechanical coupling (PA) was measured from the lateral mitral annulus (PA lateral), septal mitral annulus (PA septum), and right ventricular tricuspid annulus (PA tricuspid). LA volumes (maximum, minimum and presystolic) were measured by the discs method in the apical four-chamber and indexed to body surface area. LA active and passive emptying volumes and fraction were calculated.

Results: LA diameter was significantly higher in patients with overt hyperthyroid ($P=0.001$). LA passive emptying volume and fraction were significantly decreased with hyperthyroid patients ($P=0.038$ and $P<0.001$). LA active emptying volume and fraction were significantly increased with hyperthyroid patients ($P<0.001$ and $P<0.001$). Intraatrial (PA septum-PA tricuspid) and Interatrial (PA lateral-PA tricuspid) EMD, were measured significantly higher in hyperthyroid patients (29.2 ± 4.4 vs 18.0 ± 2.6 $P<0.001$; and 10.5 ± 2.9 vs 7.1 ± 1.3 , $P<0.001$). In stepwise linear regression analysis demonstrated that fT4 and TSH levels were independent predictors of interatrial EMD ($\beta=-0.388$, $p=0.001$ and $\beta=0.547$, $p<0.001$).

Conclusions: This study showed that prolonged atrial electromechanical intervals and impaired LA mechanical functions in overt hyperthyroid patients. Prolonged electromechanical intervals and impaired LA mechanical functions may be an early sign of subclinical cardiac involvement and dysrhythmias¹ in overt hyperthyroidism.

S-031

Atrial fibrilasyonlu hastalarda sol atriyal trombus ve yoğun spontan eko kontrast varlığını öngördürmede CHADS ve CHADS-VAS skorlarının karşılaştırılması

Dilek Ural, Tayyar Akbulut, Tayfun Şahin, Erhan Saracoğlu, Umut Yengi Çelikyurt, Gülistan Kozağ, Ayşen Ağaçdiken Ağır, Ahmet Vural

Kocaeli Üniversitesi Tıp Fakültesi, Kardiyoloji Anabilim Dalı, Kocaeli

S-031

Comparison of CHADS and CHADS-VAS scores in predicting left atrial thrombus and dense spontaneous echo contrast in patients with atrial fibrillation

Dilek Ural, Tayyar Akbulut, Tayfun Şahin, Erhan Saracoğlu, Umut Yengi Çelikyurt, Gülistan Kozağ, Ayşen Ağaçdiken Ağır, Ahmet Vural

Kocaeli University, School of Medicine, Department of Cardiology, Kocaeli

Aims: To compare the predictive value of CHADS and CHADS-VAS scores for left atrial (LA) thrombus and dense spontaneous echo contrast (SEC) in patients with atrial fibrillation.

Methods-Results: A total of 107 consecutive patients with non-valvular AF (52% women, mean age 55 \pm 14 years) were included in the study group. After assessment of CHADS(2) and CHADS-VAS scores all patients underwent transoesophageal echocardiography.

According to CHADS score 33% of the patients had a risk score equal or higher than 2. CHADS-VAS scoring increased the number of high risk patients significantly (59%, p<0.001). LA thrombus was present in 7% and dense SEC in 37% of patients. Independent predictor for the presence of thrombus or dense SEC was CHADS(2) score whereas none of conventional echocardiographic parameters had an additional value in predicting risk. In comparison of the CHADS(2) and CHADS-VAS scoring systems by ROC curve analysis, both had the same area under curve value for estimating left atrial thrombi and dense spontaneous echo contrast (AUC 0.72, p<0.001 for both).

Conclusions: CHADS-VAS score is not superior to CHADS(2) score in predicting the presence of left atrial thrombi and dense spontaneous echo contrast.

S-032

Elektriksel kardiyoversiyon planlanan valvüler olmayan atrial fibrilasyonlu hastalarda sol atriyum volum indeksinin kardiyoversiyon başarısı ve erken dönem atrial fibrilasyon tekrarı ile ilişkisi

Barış Akdemir¹, Refik Emre Altekin², Murathan Küçük², Serkan Karakaş³, Atakan Yanıkoglu², Anıl Aktas⁴, İbrahim Demir², Cengiz Ermis²

¹Burdur Devlet Hastanesi, Kardiyoloji Kliniği, Burdur

²Akdeniz Üniversitesi Tıp Fakültesi, Kardiyoloji Anabilim Dalı, Antalya

³Nigde Devlet Hastanesi, Kardiyoloji Anabilim Dalı, Nigde

⁴Akdeniz Üniversitesi Tıp Fakültesi, Biyoistatistik Anabilim Dalı, Antalya

S-032

The significance of the left atrial volume index in cardioversion success and its relationship with recurrence in patients with non-valvular atrial fibrillation subjected to electrical cardioversion; an observational study

Barış Akdemir¹, Refik Emre Altekin², Murathan Küçük², Serkan Karakaş³, Atakan Yanıkoglu², Anıl Aktas⁴, İbrahim Demir², Cengiz Ermis²

¹Burdur State Hospital, Cardiology Department, Burdur

²Akdeniz University School of Medicine, Cardiology Department, Antalya

³Nigde State Hospital, Cardiology Department, Nigde

⁴Akdeniz University School of Medicine, Biostatistic Department, Antalya

Objective: The aim of this study was to assess the predictive value of the left atrial volume index(LAVI) and the M-mode anteroposterior LA diameter(AP-LAd) in electrical cardioversion(ECV), and the recurrence rate of atrial fibrillation(AF) after a successful ECV in patients with non-valvular atrial fibrillation.

Method: Eighty patients(mean age 62 \pm 12 years,52.5% female) were enrolled in an observational study. LAVI was measured using the area-length method and the indexed body surface area. Patients in whom sinus rhythm(SR) was established following the ECV were assessed according to the electrocardiography(ECG) findings at the first month and divided as those with continued SR or recurrent AF. The Student's T, Mann-Whitney U, Fisher's exact, Chi-square tests, univariate and multivariate logistic regression analyses were used for statistical analysis.

Results: Subsequent to the ECV, SR was achieved in 62.5%(n=50) of the patients. In those where SR was achieved, the AP-LAd(4.32 \pm 0.62vs4.77 \pm 0.4cm/p=0.002) and LAVI(35.3 \pm 11.5vs53.1 \pm 10.1ml/m²/p<0.001) values were observed to be lower. ECV success was found to be associated only with the LAVI(β :0.116, 95%CI: 1.058-1.191, p<0.001). During the controls at the end of the 1st month, SR was continuing in 72%(n=36) of the successful ECV group. Among the patients with maintained SR, the AP-LAd(4.17 \pm 0.62 vs 4.72 \pm 0.5cm./p=0.004) and LAVI(30.8 \pm 6.2 vs 46.8 \pm 13.9ml/m²/p<0.001) values were also observed to be lower. Only LAVI was found to be associated with the recurrence of AF(β : 0.304, 95%CI: 1.154-1.591, p<0.001).

Conclusion: Lower LAVI values before the ECV are strong and independent predictors of the success of the ECV and the maintenance of SR after a successful ECV.

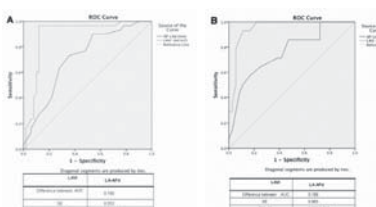


Fig. 1. The comparison of the AP-LAd diameter and the LAVI through the ROC analysis in terms of predicting the success of the ECV is presented in.

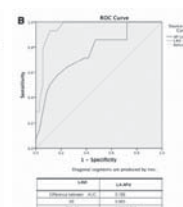


Fig. 2. The comparison of the AP-LAd diameter and the LAVI through the ROC analysis in terms of predicting the risk for the recurrence of the AF is presented in.

S-033

Kalp yetmezliği olan hastalarda atriyal elektromekanik gecikme varlığı ve fonksiyonel kapasite ilişkisinin değerlendirilmesi

Murat Bilgin¹, Bekir Serhat Yıldız², İlker Güllü³, Kamil Tülüce⁴, Ahmet Sayın¹, Aysel İslamlı¹, Mustafa Akın¹

¹Ege Üniversitesi Tip Fakültesi, Kardiyoloji Anabilim Dalı, İzmir

²Denizli Devlet Hastanesi, Kardiyoloji Kliniği, Denizli

³Ahi Evren Kalp ve Damar Cerrahisi Eğitim Araştırma Hastanesi, Trabzon

⁴Karşıyaka Devlet Hastanesi, Kardiyoloji Kliniği, İzmir

Amaç: Kalp yetmezliğinde (KY) atriyum fonksiyonları görevci olarak baskılanmıştır. Biz bu çalışmada, KY olan hastalarda doku doppler ekokardiografi ile atriyal elektromekanik gecikmeyi (AEMG) değerlendirmenin yanı sıra, 6 aylık takip sonunda AEMG'nin fonksiyonel kapasite ile ilişkili olup olmadığını araştırdık.

Yöntem: Çalışmaya değerlendirilen esnasında sinus ritiminde KY olan 63 hasta ile aynı yaş grubunda 65 sağlam kontrol grubu dahil edildi (Resim 1). Elektrokardiyogramdaki P dalgasının başlangıcından, lateral mitral anulus (lateral PA'), septal mitral anulus (septal PA') ve sağ ventrikül triküspit (triküspit PA') antilurusundan ölçülen geçen diastolik dalga pikine kadar olan süreler, doku doppler ekokardiografi ile ölçüldü. Atriyumlar arası elektromekanik ileti gecikmesi (AinterA) lateral PA' ve triküspit PA' arasındaki fark ölçümü, Atriyum içi elektromekanik ileti gecikmesi (AintrA) ise septal PA' ve triküspit PA' arasındaki fark ölçümü yapılmıştır.

Bulgular: Atriyumlar arası ve atriyum içi elektromekanik gecikme süreleri KY grubunda kontrol grubuna göre belirgin artmış olarak saptandı (Resim 2). Bu değerler için cut off (esik) değeri belirlenmiş oldu (Resim 3). KY grubu fonksiyonel kapasitesi göre iki gruba ayrıldı. Grup 1 fonksiyonel kapasitesi sınıf I ve II olan 51 olgu tarafından, grup 2 ise fonksiyonel kapasitesi sınıf III ve IV olan 12 hastadan oluşturulmuştur. 6 aylık takip sonunda hem AinterA süresi hem de AintrA süresi uzamış olanlardan fonksiyonel kapasitesi istatistiksel olarak anlamlı artışı saptandı (Resim 4).

Sonuçlar: Atriyal elektromekanik ileti gecikme sürelerinin KY'de belirgin şekilde artmış olması atriyal miyopati varlığı ile ilişkili olabilir. Kontrol grubuna kıyasla KY hastalarında intra ve interatriyal elektromekanik gecikme süreleri daha uzun ölçüldü (AintrA için 21.51 ± 3.8 'e karşı 10.46 ± 6.23 , AinterA için 31.67 ± 4.3 'e karşı 22.08 ± 9.3 ; $P < 0.01$ tüm değerlerin içini) ve herbirini için eşik değeri belirlendi. NYHA fonksiyonel kapasitesi I, II olan hastalara kıyasla fonksiyonel kapasitesi III, IV olan hastalarda AEMG süreleri daha uzun ölçüldü.

Tartışma: KY olan hastalarda atriyal elektromekanik gecikme süresi kontrol grubuna göre uzamış saptandı. Ek olarak, uzamış atriyal elektromekanik gecikme daha kötü fonksiyonel kapasite ile ilişkili bulundu.

	KY grubu n=63 (%)	Kontrol grubu n=65 (%)	p değeri
Yaş (yıl)	55.05 ± 14,2	51,20 ± 14,4	0,12
Cinsiyet (erkek/kadın)	44/19	37/28	0,087
Vücut yüzey alanı (m^2)	1,85 ± 0,16	1,85 ± 0,18	0,06
Genitourinary kitle (kg)	71,96 ± 10,8	71,56 ± 10,8	0,406
Dyslipidemi varlığı (%)	49 (77,4)	71 (54,6)	<0,001
Fonksiyonel sınıf (NYHA)	1,78 ± 0,8	1,81 ± 0,12	<0,001
Hastalıklar			
Hipertansiyon	30 (47,6)	21 (32,3)	0,31
26 (40,6)	22 (34,0)	0,38	
Dyslipidemik mültecilik	22 (34,6)	11 (16,9)	0,02
Konvener orter hastalığı	34 (52,4)	9 (13,8)	<0,001
İnoller			
Diabetik hastalar	66 (64,5)	16 (24,2)	<0,001
ACV-JVA'dı	33 (49,3)	71 (40,3)	<0,001
Statin	47 (74,6)	20 (30,8)	<0,001

Hasta ve kontrol grubunun klinik ve demografik özellikleri

Atriyumlar arası ileti ve elektromekanik gecikme sürelerinin karşılaştırılması			
Süreler (ms)	KY grubu	Kontrol grubu	p değeri
PA süre	93,05 ± 14,3	81,29 ± 14,4	0,12
Cinsiyet (erkek/kadın)	44/19	37/28	0,087
Vücut yüzey alanı (m^2)	1,85 ± 0,16	1,85 ± 0,18	0,06
Genitourinary kitle (kg)	71,96 ± 10,8	71,56 ± 10,8	0,406
Dyslipidemik kitle (kg/m ²)	1,15 ± 0,36 ± 0,48	0,76 ± 0,17 ± 0,31	<0,001
Fonksiyonel sınıf (NYHA)	1,78 ± 0,8	1,81 ± 0,12	<0,001
Hastalıklar			
Hipertansiyon	30 (47,6)	21 (32,3)	0,31
26 (40,6)	22 (34,0)	0,38	
Dyslipidemik mültecilik	22 (34,6)	11 (16,9)	0,02
Konvener orter hastalığı	34 (52,4)	9 (13,8)	<0,001
İnoller			
Diabetik hastalar	66 (64,5)	16 (24,2)	<0,001
ACV-JVA'dı	33 (49,3)	71 (40,3)	<0,001
Statin	47 (74,6)	20 (30,8)	<0,001

Atriyumlar arası ileti ve elektromekanik gecikme sürelerinin karşılaştırılması

S-033

Relationship between atrial electromechanical conduction delays and functional capacity in heart failure

Murat Bilgin¹, Bekir Serhat Yıldız², İlker Güllü³, Kamil Tülüce⁴, Ahmet Sayın¹, Aysel İslamlı¹, Mustafa Akın¹

¹Department of Cardiology, Ege University Faculty of Medicine, İzmir

²Department of Cardiology, Denizli State Hospital, Denizli

³Ahi Evren Cardiovascular Surgery, Training and Research Hospital, Trabzon

⁴Department of Cardiology, Karşıyaka State Hospital, İzmir

Background: In this study, we assessed atrial electromechanical delay with tissue doppler echocardiography in patients with heart failure (HF). Also we evaluated the relation of intra-atrial electromechanical conduction delay with junctional coceptivity at sixth month follow up.

Method: The New York Heart Association (NYHA) functional classes and 12-lead electrocardiograms of sixty-three HF patients with normal sinus rhythm at the time of enrollment were recorded. Left ventricular systolic and diastolic functions and left atrial (LA) dimensions were evaluated by transthoracic echocardiography. The time intervals from initiation of the P wave on ECG to the peak of the late diastolic TDI signal at the lateral border of the mitral annulus (mitral PA') and septal annulus (septal PA') and the tricuspid annulus (tricuspid PA') were measured. Interatrial electromechanical conduction delay was defined as the difference between the mitral PA' and tricuspid PA' intervals, while intraatrial electromechanical conduction delay was defined as the difference between septal PA' and tricuspid PA' intervals. The findings of patients with HF were compared with age and sex matched control group consisting sixty-five individuals (Figure 1).

Results: Between atria and in atrium electromechanical delay periods were significantly higher in the HF group than the control group (Figure 2). For these values cut-off (threshold) value was determined (Figure 3). HF group was divided into two groups according to functional capacities. Group 1 consisted of 51 patients with functional capacity class I and II, group 2 had 12 patient with functional capacity class III and IV. At the end of 6 months follow up, there was a statistically significant increase in functional capacity in both prolonged intra-atrial electromechanical delay and inter-atrial electromechanical delay (Figure 4).

Conclusion: Comparing HF group with control group, intra and inter-atrial electromechanical delay times were measured longer and for each threshold value was detected respectively, 117,5 ± 4,3 ms versus 127,5 ± 9,3 ms, $p < 0,001$). Atrial electromechanical delay times were measured longer in patients with NYHA functional capacity I, II; comparing with patients with functional capacity III, IV.

Discussion: Atrial electromechanical delay time was detected longer in HF group than control group. In addition, prolonged atrial electromechanical delay was associated with poorer functional capacity and increased functional capacity at the end of 6 months period.

	KY grubu n=63 (%)	Kontrol grubu n=65 (%)	p değeri
Yaş (yıl)	55,05 ± 14,2	51,20 ± 14,4	0,12
Cinsiyet (erkek/kadın)	44/19	37/28	0,087
Vücut yüzey alanı (m^2)	1,85 ± 0,16	1,85 ± 0,18	0,06
Genitourinary kitle (kg)	71,96 ± 10,8	71,56 ± 10,8	0,406
Dyslipidemik kitle (kg/m ²)	1,15 ± 0,36 ± 0,48	0,76 ± 0,17 ± 0,31	<0,001
Fonksiyonel sınıf (NYHA)	1,78 ± 0,8	1,81 ± 0,12	<0,001
Hastalıklar			
Hipertansiyon	30 (47,6)	21 (32,3)	0,31
26 (40,6)	22 (34,0)	0,38	
Dyslipidemik mültecilik	22 (34,6)	11 (16,9)	0,02
Konvener orter hastalığı	34 (52,4)	9 (13,8)	<0,001
İnoller			
Diabetik hastalar	66 (64,5)	16 (24,2)	<0,001
ACV-JVA'dı	33 (49,3)	71 (40,3)	<0,001
Statin	47 (74,6)	20 (30,8)	<0,001

Clinical and demographic characteristics of patients and control groups

	KY grubu n=63 (%)	Kontrol grubu n=65 (%)	p değeri
PA süre	93,05 ± 14,3	81,29 ± 14,4	0,12
Cinsiyet (erkek/kadın)	44/19	37/28	0,087
Vücut yüzey alanı (m^2)	1,85 ± 0,16	1,85 ± 0,18	0,06
Genitourinary kitle (kg)	71,96 ± 10,8	71,56 ± 10,8	0,406
Dyslipidemik kitle (kg/m ²)	1,15 ± 0,36 ± 0,48	0,76 ± 0,17 ± 0,31	<0,001
Fonksiyonel sınıf (NYHA)	1,78 ± 0,8	1,81 ± 0,12	<0,001
Hastalıklar			
Hipertansiyon	30 (47,6)	21 (32,3)	0,31
26 (40,6)	22 (34,0)	0,38	
Dyslipidemik mültecilik	22 (34,6)	11 (16,9)	0,02
Konvener orter hastalığı	34 (52,4)	9 (13,8)	<0,001
İnoller			
Diabetik hastalar	66 (64,5)	16 (24,2)	<0,001
ACV-JVA'dı	33 (49,3)	71 (40,3)	<0,001
Statin	47 (74,6)	20 (30,8)	<0,001

Comparison Atrial Electromechanical Conduction Delays

	Grup I		P
Süreler (ms)	(-)	(+)	
PA süre	32 (%94,1)	19 (%65,5)	0,004
Lateral PA'	33 (%91,7)	18 (%66,7)	0,012

Grup 1 ve Grup 2 Fonksiyonel Kapasitelerinin Karşılaştırılması

	Grup I		P
Süreler (ms)	(-)	(+)	
PA süre	102,5		
Lateral PA'	107,5		
Septal PA'	127,5		
Triküspit PA'	137,5		
AinterA	17,5		
AintrA	27,5		

Comparison of Functional Capacity of Group 1 and Group 2

S-034

Koroner arter bypass cerrahisi sonrası gelişen atrial fibrilasyonu öngörmede BNP ve sol atrial fonksiyonların rolü

Özcan Başaran¹, Cihan Dündar², Mustafa Kürşat Tigen⁴, Can Yücel Karabay³, Ahmet Güler³, İbrahim Akin İzgi³, Selçuk Pala³, Arzu Kalaycı³, Onur Taşar³, Sedat Kalkan³, Ahmet Seyfettin Gürbüz³, Cevat Kırmızı³

¹Muş Devlet Hastanesi Kardiyoloji Servisi, Muş

²Samsun Mehmet Aydin Eğitim ve Araştırma Hastanesi, Samsun

³Kartal Koşuyolu Yüksek İhtisas Eğitim ve Araştırma Hastanesi, Kartal Koşuyolu Bölümü, İstanbul
⁴Marmara Üniversitesi Tip Fakültesi, Kardiyoloji Anabilim Dalı, İstanbul

Giriş: Koroner Arter Bypass Cerrahisi (KABG) sonrası gelişen Atrial Fibrilasyon (AF) hastanede ve yoğun bakımda geçen süreyle uzamaktır, tromboembolik komplikasyonlara yol açabilmekte ve hastane mrasalarını artırmaktadır. Dahâ oynanın yapılan çalışmalarla postoperatif AF yi öngörmede klinik ve labaratuvar veriler kullanılmış ancak yeteri kadar özgün ve özgürlük bir veri bulunamamıştır. Biz çalışmamızda postoperatif AF yi öngörmede labaratuvar ve ekokardiyografik verilerle daha özgün bir parametre elde etmeye çalıştık.

Yöntem-Gereçler: Çalışmaya koroner arter hastalığı nedeniyile KABG planlanan 90 hasta alındı. Hastalar operasyon öncesi sütun ritimden fazla ve normal sol ventrikül sistolik fonksiyonuna sahipti. Hastaların preoperatif BNP, CRP ve sol atrium fonksiyonları (strain, strain rate ve sol atrium volum indeksleri) değerlendirildi. Sol atrial strain değerlendirildiğinde 2 boyutlu speckle tracking ekokardiyografi ile pik atrial longitudinal strain in hesaplandı (Resim 1). Strain rate için ise sistolik strain rate, erken diastolik ve geç diastolik strain rate değerlendiriliyor. Hastalar postoperatif dönemde monitörle edilenlerin AF gelişimi açısından takip edildi.

Sonuçlar: 90 hastanın 23 içinde (%25,6) AF gelişti. Yaşı ($p<0,001$), preoperatif beta bloker kullanımı ($p=0,001$), CRP ($p=0,032$) ve BNP ($p=0,001$) postoperatif AF için bağımsız prediktörler olarak saptandı. Sol atrial volum indeksi AF gelişen hastalarla artmış olarak bulundu ($p=0,001$). Sol atrial strain ve strain rate değerleri AF gelişen hastalarda azalmış olarak bulundu ($p=0,001$). BNP ve sol atrial strain için ROC analiz eğrileri oluşturularak postoperatif AF yi en iyi predikte eden BNP degeri 70 (AUC:0.76, 95% CI:0.63 – 0.89, sensitivite=96,74, spesifiklik=%77,9, $p=0,001$), strain degeri ise 28 (AUC=0.74 95% CI=0.63-0.85, sensitivite=%58,2, spesifiklik=%73,9, $p=0,001$) olarak saptandı. Lojistik regresyon analizi sonucunda yaş (her 1 yıllık artış OR:1.1 CI:1.03-1.19 $p=0,009$), beta bloker kullanımı (kullanılmayanlara göre OR:13.74 CI:2.34-79.40 $p=0,003$), BNP (70 üzerindeki değere sahip hastalar için OR:14.19 CI:1.21.99-67.38 $p=0,001$) ve sol atrial pik strain (her %1 lik artış OR:0.88 CI:0.79-0.98 $p=0,026$) postoperatif AF için risk faktörleri olarak saptandı (Tablo 1).

Tartışma: Postoperatif AF yi predikte etmede klinik, labaratuvar ve ekokardiyografik verilerin birlikte kullanımı ile prediksiyon gücü artar. Atrial mekanik disfonksiyonu göstermede strain ve strain rate görüntüleme konvansiyonel ekokardiyografiden üstünür. Postoperatif AF niin predikte edilemesi olası medikal tedavilerden yarar sağlayabilecek hasta populasyonu belirlenebilir ve operasyon sonrası gelişebilecek önemli morbiditer önlenebilir.



S-035

Gebelerde mekanik protez kapak trombusu tedavisinde trombolitik tedavi uygulaması (TROIA-PREG)

Ali Emrah Oğuz, Beytullah Çakal, Sabahattin Gündüz, Mehmet Ali Astarcıoğlu, Mustafa Ozan Gürsoy, Zübeyde Bayram, Macit Kalçık, Süleyman Karakoyun, Gökhan Kahveci, Mustafa Yıldız, Mehmet Özkan

Kartal Koşuyolu Yüksek İhtisas Eğitim ve Araştırma Hastanesi, İstanbul

Amaç: Gebelikte protez kapak trombusu (PKT) acil tedavi gerektiren durumlardan biridir fakat bu yaşta tehdit eden komplikasyonları tedavisi ile ilgili görüş birliği bulunamamaktadır. Gebelerde ekokardiyografi eşliğinde TT uygulanır (ortalaması yaşı: 29; Obstruktif:15; Obstruktif olmayan:12). Çalışmamızda TT tedavisinde kullanılan ajan olarak, t-PA (bolusuz 6 saatte 25 mg t-PA, lütm halinde doz tekrarlandı) uygulandı. TT esnasında; i.v. fraksiyonu olmayan heparin ile antikoagülasyon kesildi.

Metod: 2005-2012 yılları arasında PKT olan 22 gebe hastaya 27 epizoda, transözefageal ekokardiyografi eşliğinde TT uygulanırdı (ortalama yaşı: 29; Obstruktif:15; Obstruktif olmayan:12). Çalışmamızda TT tedavisinde kullanılan ajan olarak, t-PA (bolusuz 6 saatte 25 mg t-PA, lütm halinde doz tekrarlandı) uygulandı. TT esnasında; i.v. fraksiyonu olmayan heparin ile antikoagülasyon kesildi.

Bulgular: TT sonrası orani % 100'ü idi. TT sonrası abortus oranı (%15) genel populasyonla benzer ditzeydedi. Bir hasta 30. gebelik haftasında plasental hemorajije bağlı preterm doğum gözlenmedi. Canlı doğan bebeklerin hiç birinde kalıcı hasar gözlenmedi. Ortalaması kullanılan t-PA dozu; 45±22 mg'dı.

Sonuç: Gebelikte PKT'de, bolusuz düşük doz (gerektiğinde tekrarlanan) yavaş infüzyon t-PA protokolü, anne ve fetus açısından etkifit ve güvenli bir tedavi rejimidir. PKT ile komplike olan gebelere TT öncelikli tedavi yöntemini olarak kullanılabilir.

S-034

Predictive role of BNP and left atrial dysfunction in postcoronary artery bypass operation atrial fibrillation

Özcan Başaran¹, Cihan Dündar², Mustafa Kürşat Tigen⁴, Can Yücel Karabay³, Ahmet Güler³, İbrahim Akin İzgi³, Selçuk Pala³, Arzu Kalaycı³, Onur Taşar³, Sedat Kalkan³, Ahmet Seyfettin Gürbüz³, Cevat Kırmızı³

¹Muş Devlet Hastanesi Kardiyoloji Servisi, Muş

²Samsun Mehmet Aydin Training and Research Hospital, Samsun

³Kartal Koşuyolu Yüksek İhtisas Eğitim ve Araştırma Hastanesi, Kartal Koşuyolu Yüksek İhtisas Training and Research Hospital, İstanbul

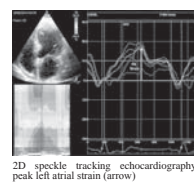
⁴Department of Cardiology, Marmara University Faculty of Medicine, İstanbul

Purpose: Postcoronary artery bypass operation atrial fibrillation (POAF) is a common arrhythmia that has important consequences including thromboembolic events, longer hospital and intensive care unit stay and increased health care costs. Several risk factors were defined to predict POAF however none of them were specific and sensitive enough. The aim of this study is to determine the role of laboratory and clinical parameters in POAF.

Methods: Ninety patients with coronary artery disease and normal left ventricular function in sinus rhythm were enrolled in the study. Preoperative BNP and CRP were measured. Left atrial functions were evaluated by echocardiography including strain, strain rate and left atrial volume indexes. Peak left atrial strain was assessed by 2D speckle tracking strain (Figure 1). Strain rate was calculated as systolic, early diastolic and late diastolic strain rate. Patients were monitored in order to detect POAF.

Results: 23 (25,6%) of 90 patients developed AF. Age($p<0,001$) and preoperative beta blocker usage($p=0,001$) were the clinical parameters, CRP(0,032) and BNP($p=0,001$) were the laboratory parameters associated with POAF. Left atrial volume index (LAVI) was increased in POAF patients($p=0,001$). Left atrial strain (LAS) and strain rate (LCSR) were impaired in POAF patients ($p=0,001$) The optimal cut-off point for BNP was 70 (AUC:0.76 95% CI:0.63-0.89, sensitivity=77,9%, $p=0,001$) and for strain was 28 (AUC=0.74 95% CI:0.63 – 0.85, sensitivity=%58,2,specificity=%673,9, $p=0,001$) in ROC curve analysis. Logistic regression analysis showed age (every one year OR:1.1 CI:1.03-1.19 $p=0,009$), preoperative beta blocker usage (not users vs.users OR:13.74 CI:2.34-79.40 $p=0,003$), BNP (values >70pg/ml OR:14.19 CI:2.99-67.38 $p=0,001$) and left atrial strain (every 1% increase OR:0.88 CI:0.79-0.98 $p=0,026$) were independent risk factors for POAF (Table 1).

Discussion: POAF is a complicate arrhythmia that needs clinic, laboratory and echocardiographic parameters for a better prediction. Strain and strain rate imaging modalities are better than conventional echocardiography in evaluating left atrial mechanical functions. POAF associated morbidities may be avoided by predicting high risk patients and starting medical therapy.



S-035

S-035

Thrombolytic therapy of prosthetic heart valve thrombosis in pregnancy with low dose slow infusion of t-PA (TROIA-PREG)

Ali Emrah Oğuz, Beytullah Çakal, Sabahattin Gündüz, Mehmet Ali Astarcıoğlu, Mustafa Ozan Gürsoy, Zübeyde Bayram, Macit Kalçık, Süleyman Karakoyun, Gökhan Kahveci, Mustafa Yıldız, Mehmet Özkan

Kartal Koşuyolu Yüksek İhtisas Training and Research Hospital, İstanbul

Purpose: Prosthetic valve thrombosis (PVT) during pregnancy requires urgent therapy but there is still controversy about how to treat this life-threatening complication. Cardiac surgery in pregnancy is reported to be maternal mortality and morbidity of 6 % and 24 % and fetal mortality and morbidity of 9 % and 30 %, respectively. Thrombolytic therapy (TT) has been rarely used in pregnancy with only 32 cases of PVT reported in the literature so far. The aim of this study is to evaluate safety and efficacy of administration of t-PA for PVT during pregnancy.

Methods: Transesophageal echocardiography guided TT was administered to 22 consecutive patients with PVT in 27 different episodes (mean age: 29; obstructive: 15, nonobstructive: 12) between 2005 and 2012. The principal agent used was t-PA (25 mg, 6-hours without bolus, repetitive if needed). Anticoagulation with i.v unfractionated heparin was withheld during TT.

Results: The success rate of TT was 100 %. The rate of abortion (15 %) after TT was comparable to that of general population. One patient had placental hemorrhage with preterm birth occurred at 30th week. None of live born children suffered a permanent deficit. The average dose of t-PA used was 45±22 mg.

Conclusion: Low dose, slow infusion of t-PA with repetition as needed without bolus provides effective and safe thrombolysis in both mother and fetus. TT can be considered as first-line therapy in pregnant complicated with PVT.

S-036

Aortik kapakçıklardan kateter ablasyon uyguladığımız hastaların sonuçları

Alptuğ Tokathı, Fethi Kılıçaslan, Mehmet Uzun, Gökhan Değirmencioğlu, Murat Yalçın, Zafer İslak, Bekir Sıtkı Cebeci

GATA Haydarpaşa Eğitim Hastanesi, Kardiyoloji Anabilim Dalı, İstanbul

S-036

Our results in patients who had catheter ablation from the aortic cusps

Alptuğ Tokathı, Fethi Kılıçaslan, Mehmet Uzun, Gökhan Değirmencioğlu, Murat Yalçın, Zafer İslak, Bekir Sıtkı Cebeci

GATA Haydarpaşa Hospital, Cardiology Department, Istanbul

Introduction: Catheter ablation (CA) is an effective treatment option in patients with symptomatic arrhythmias. Ventricular myocardial extensions to aortic valve and adjunctive tissue may be a source for idiopathic ventricular arrhythmias. Non-coronary aortic cusp (NCC) is located very close to anteroseptal region. This gives an opportunity of ablating arrhythmias such as atrioventricular reentrant tachycardia due to anteroseptal accessory pathway and parahisian atrial tachycardia from the NCC. For these reasons aortic cusp has emerged as an important ablation target. We report a case series of CA from the aortic cusps.

Method: We retrospectively analyzed our electrophysiology records of patients referred for ablation procedure between 2008 and 2012. We identified 19 patients who had CA from the aortic cusps for different arrhythmias. The clinical, procedural variables and follow up data are reported.

Results: Results are summarized in Table. The mean age was 31 ± 12 years and ejection fraction was $63 \pm 4\%$. 11 (58%) patients had ventricular premature depolarization/ ventricular tachycardia originating from outflow tract, 7 (37%) patients had anterior septal accessory pathways and 1 (5%) patients had atrial tachycardia. No patient had any complication related to CA including atrioventricular (AV) block. Among 7 patients who had anteroseptal accessory pathway ablation, 2 had early recurrence.

Discussion and Conclusion: CA from the aortic cusps is feasible, safe and effective. Ablation from the NCC may decrease the risk of AV block.

Table. Clinical and procedural variables

Variables	Results
Age (years)	31 ± 12
BMI (kg/m^2)	26 ± 3
EF (%)	63 ± 4
RF application (n)	4 ± 1
Procedure time (min)	53 ± 18
Fluoroscopy time (min)	23 ± 7
Diagnosis	
VPA/VT (n)	11 (58%)
Septal accessory pathway (n)	7 (37%)
Atrial tachycardia (n)	1 (5%)

*BMI: body mass index; EF:ejection fraction;
RF:radiofrequency; VPA/VT: ventricular premature depolarization/ventricular tachycardia Values are presented as
 $\text{mean} \pm \text{SD}$*

S-037

Paroksismal atriyal fibrilasyon kriyobalon ablasyonu: tek merkez tecrübe

Fırat Özcan, Dursun Aras, Serkan Topaloğlu, Osman Turak, Habibe Kafes, Derya Tok, Fatma Nurcan Başar, Kumral Çağlı, Kazım Başer, Ahmet İslelen, Sinan Aydoğu

Türkiye Yüksek İhtisas Eğitim ve Araştırma Hastanesi, Ankara

S-037

Cryoballoon ablation of paroxysmal atrial fibrillation: single center experience

Fırat Özcan, Dursun Aras, Serkan Topaloğlu, Osman Turak, Habibe Kafes, Derya Tok, Fatma Nurcan Başar, Kumral Çağlı, Kazım Başer, Ahmet İslelen, Sinan Aydoğu

Türkiye Yüksek İhtisas Training and Research Hospital, Ankara

Aims: Paroxysmal atrial fibrillation (PAF) is a common form of atrial fibrillation and frequently progresses to sustained atrial fibrillation. Patients with PAF have less substrate to sustain but more triggers for the arrhythmia initiation. Elimination of the trigger localizations at early terms may be adequate to end the arrhythmia. Cryoballoon technology is a promising technique in PAF ablation. Our objective is to report the initial experience of our center for cryoballoon catheter ablation in the treatment of PAF which is refractory drug therapy

Methods: Fifty eight patients with symptomatic PAF in spite of antiarrhythmic drugs were treated with cryoballoon pulmonary venous isolation with 28 mm balloon between September 2010 and February 2012. After the procedure, the patients were followed with 24 hour Holter monitoring at first, third, sixth and ninth months.

Results: Our mean follow up for all patients was 10.3 ± 4.3 months and twelve patients (20%) had recurrence after mean follow up 9.1 ± 4.8 months. Mean duration of procedures 110.7 ± 27.8 minutes with 28.4 ± 9.9 minutes fluoroscopy time. Left atrium size was 3.6 ± 0.4 cm with $62.5 \pm 6.0\%$ ejection fraction. The drug treatments prior to procedure were propafenone (n=25), amiadarone (n=15), sotolol (n=8) and propafenone plus amiadarone (n=10). After the procedures one patient had pericardial tamponade treated with pericardiocentesis and two patients had pericardial effusion which resolved spontaneously.

Conclusion: Pulmonary vein isolation with a cryoballoon is a safe and effective treatment for PAF, resulting in a clinical success rate comparable to studies involving radiofrequency ablation. Our results are similar with previous studies.

S-038

İsrarlı atrial fibrilasyonu olan düşük sol ventrikül ejeksiyon fraksiyonlu hastalarda kardiyak fonksiyonların kateter ablasyon sonrası toparlaması

Zekeriya Küçükdurmaz¹, Alim Erdem¹, Ritsushi Kato², Uenishi Masahiro², Motoki Hara², Takeshi Tobiume², Hitoshi Ishida², Yurika Hotta², Makoto Matsumura², Nobuyuki Komiyama², Shigeyuki Nishimura², Kazuo Matsumoto²

¹Cumhuriyet Üniversitesi Tıp Fakültesi, Kardiyoloji Anabilim Dalı, Sivas

²Saitama Tıp Fakültesi, Uluslararası Tıp Merkezi, Kardiyoloji Bölümü, Japonya

S-038

Improvement of cardiac functions following catheter ablation in patients with lower left ventricular ejection fraction and persistent atrial fibrillation

Zekeriya Küçükdurmaz¹, Alim Erdem¹, Ritsushi Kato², Uenishi Masahiro², Motoki Hara², Takeshi Tobiume², Hitoshi Ishida², Yurika Hotta², Makoto Matsumura², Nobuyuki Komiyama², Shigeyuki Nishimura², Kazuo Matsumoto²

¹Cumhuriyet University Medical School, Cardiology Department, Sivas

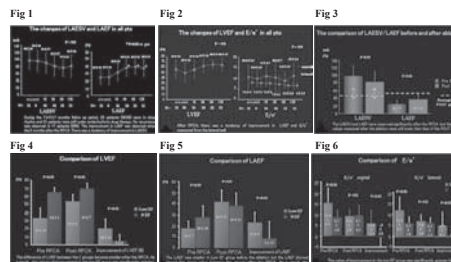
²Saitama Medical University, International Medical Center, Department of Cardiology, Japan

Introduction: Heart failure and atrial fibrillation are among significant public health problems. They are generally seen together, forming a vicious cycle, and both of them increase one another's morbidity and mortality. We aimed to evaluate and compare the effect of atrial fibrillation ablation on cardiac functions in persistent atrial fibrillation patients with low ejection fraction and normal ejection fraction.

Methods: We evaluated echocardiographic parameters (LVEF, LAEF, LAESV, E/e' and a') of 31 patients with persistent atrial fibrillation before and after the catheter ablation (CA). We also studied the echocardiograms of 19 patients with paroxysmal supraventricular tachycardia as a control (mean age 53.7±13 years, male 11 patients). Patients were followed-up at one-month, three-month, six-month and one-year periods after ablation (mean f/u period was 7.7±3.8 months). Clinical interviews, physical examination, and echocardiographic examination were performed.

Results: There was no significant change in the LAEF between the 2 groups after the f/u periods. Consequently, low EF group showed greater gain in the LAEF than the N EF group. LAESV and a' showed the same tendency of change after the CA, though it was not statistically significant. The low EF group also showed greater gain in the LVEF, although the f/u value was still low compared to the N EF group.

Conclusion: Although the atrial function in the low EF group was lower than the normal EF group before the ablation, it returned to the same level as that of the normal EF group after the catheter ablation. The low EF group is more beneficial than the normal EF group in the improvement of LAEF and LVEF after the catheter ablation for chronic AF.



S-039

Epicardiyal kökenli idiyopatik ventriküler taşikardi: transvenöz epikardiyal ablasyona küratif tedavi

Hasan Kutsi Kabul¹, Uyar Çağdaş Yüksel¹, Erkan Yıldırım¹, Barış Bugan², Murat Çelik³, Serdar Fırtına⁴, Yağın Gökoğlan¹, Turgay Çelik¹, Atila İlyaso¹, Emre Yalçınkaya¹

¹GATA Ankara, Kardiyoloji Anabilim Dalı, Ankara

²Malatya Asker Hastanesi, Kardiyoloji Bölümü, Malatya

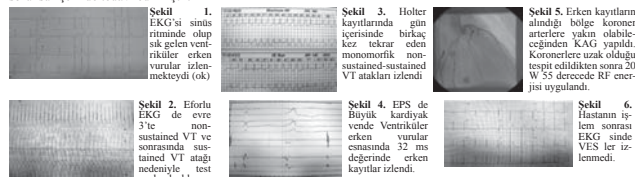
³Van Asker Hastanesi, Kardiyoloji Bölümü, Van

⁴Erzincan Asker Hastanesi, Kardiyoloji Bölümü, Erzincan

Giriş: Beraberinde organik hastalık, metabolik bozukluk, uzun QT sendromu vs. gibi sebeplerin bulunmadığı ventriküler taşikardiler (VT) idiyopatik VT olarak adlandırılır. İdyopatik VT'ler hem tedavi hem de прогноз açısından diğer VT'lerden belirgin farklılıklar gösterir. 12 derivasyonlu EKG ile taşikardinin orijini hakkında bilgi sahibi olunabilir. Epikardiyal kökenli VT'lerdeki nadir görülen bir formdur ve ablasyon tedavisi teknik olarak daha zordur. Sondanlığımız bu olguda soi epikardiyal orijinali idiyopatik VES olgusunun koroner sinus yoluyla transvenöz epikardiyal radyofrekans kateter ablasyonu ile küratif tedavisi anlatılmıştır.

Vaka: 25 yaşında erkek hasta, çarpıntı ve atipik göğüs ağrısı yakınımları ile poliklinimize başvurdu. Daha önce kardiyak hastalık öyküsü olmamıştı. Hastanın yakınımları yaklaşık 6 aydır devam etmektedir. 10 yılır ipaket/gün sigara içicisi olup hastanın ailesinde kardiyak hastalığı öyküsü yoktu. Fizik muayenesinde TA:125/76, Nb:75/dk, S1+S2 ritmik olarak saptandı, ek ses ve titrür işitildi. EKG'si sinus ritiminde olup ventriküler erken vurular izlenmemektedir(Şekil 1). Ekokardiografis normal sınırları içindedir. Eforlu EKG yapılan hasta'da eforla birlikte VES sıklığında artış izlendi, evet 3'te non-sustained VT ve sonrasında sustained VT atağı nedeniyle test sonlandırdı(Şekil 2). Hastanın Holter tetkikinde sık gelmiş monomorfik VES'lerin içerişinde birkaç tekrai eden monomorfik nonsustained-sustained VT atakları izlendi(Şekil 3).12 derivasyonlu yüzey EKG'sinde izlenen VES'ler LBBB morfolojisinde ve inferior aksa sabıdı, inferior derivasyonlarda QRS başlangıç kısmında delta dalga benzeri başlangıç göstermektedir, transizyon zona V3'yeşidi. Bu bulgularla VES'lerin epikardiyal orijinali olabilecegi değerlendirildi. İdyopatik VT'lerde standart yaklaşımlımız olan önce sağ ventrikül ve RVOT bölgelerine aktivasyon haritalaması yapıldı. Ablasyona uygun erken kaytlar bulundamadı. Takiben epikardiyal orijinali olabilecegi düşünüldüğünden koroner sinus yoluyla büyük kardiyak ven haritalaması yapıldı. Büyük kardiyak vende Ventriküler erken vurular esnasında 32 ms degerinde erken kayıtlar izlendi. (Şekil 4) Aynı bölgeden yapılan uyari haritalaması ile klinik erken vurularda 12/12 eşleşme izlendi. Bu bölge koroner arterlere yakın olabileceğiinden KAG yapıldı. Koronerlere uzak olduğu tespit edildikten sonra 20 W 55 derecede RF enerjisi uygulandı. İşlem sonrası yapılan atrial ve ventriküler uyarılar ile herhangibir taşikardi induklennmedi. Takiplerde herhangibir ventriküler ekstrastistol dahi izlenmemeyen hastalık(Şekil 6) yaklaşık 3 aydır sorunsuz takip edilmektedir.

Sonuç: İdyopatik VT'ler iyi prognostur. ve ani kardiyak ölüm nadiridir. Bu VT'ler bir çok hastada endokardiyal ablasyon ile tamamen ortadan kaldırılabilir. Fakat bazı vakalarda travnenöz veya transperikardiyal olarak epikardiyal ablasyon işlemi gerekebilir. Sondanlığımız bu vakada hasta travnenöz yolla başaran epikardiyal VT ablasyonu ile sorunsuz şekilde tedavi edilmişdir.



S-039

Epicardial idiopathic ventricular tachycardia: curative care with Transvenous epicardial ablation

Hasan Kutsi Kabul¹, Uyar Çağdaş Yüksel¹, Erkan Yıldırım¹, Barış Bugan², Murat Çelik³, Serdar Fırtına⁴, Yağın Gökoğlan¹, Turgay Çelik¹, Atila İlyaso¹, Emre Yalçınkaya¹

¹Department of Cardiology; GATA Ankara, Ankara

²Departmen of Cardiology; Malatya Military Hospital, Malatya

³Department of Cardiology, Van Military Hospital, Van

⁴Department of Cardiology, Erzincan Military Hospital, Erzincan

S-040

Yavaş koroner arter akımının microvolt T dalga alternansı üzerine etkisi

Özgür Sürgüt, Mehmet Ertürk, Mehmet Güç, Özgür Akgül, İbrahim Faruk Aktürk, Ahmet Ayaz, Umut Somuncu, Hamdi Püşüroğlu, Ender Özal, Gündüz Durmuş, Nevzat Uslu, Abdurrahman Eksik, Mustafa Kemal Erol

İstanbul Mehmet Akif Ersoy Eğitim Araştırma Hastanesi, Kardiyoloji Kliniği, İstanbul

Amaç: Yavaş koroner akım (YKA) fenomeni angiografik olarak koronerler normal ya da normale yakin olalarak anjiyografi sırasında distal vasküler yapıları opak madde ileyefleyen yavaş olmasıdır. YKA'la ani kardiyak ölüm ilişkilendilirken vaka raporları bildirilmştir. Microvolt T dalga alternansı (m-TDA) ventriküler aritmî ve ani kardiyak ölüm riskinin öngörüsü olduğunu saptanmıştır. Bu biz çalışmamızda yavaş koroner akımını, mikrovolt T-dalga alternansı üzerine etkisini değerlendirmeyi amaçladık.

Metod: Çalışmaya koroner angiografi epikardial koroner arterleri normal ancak yavaş koroner akım (YKA grubu) olan 39 hasta (%84 erkek, yaş ort: 48.51±10.32) ve koroner angiografi normal YKA saptanmayan 30 kontrol grubu (%60 erkek yaş ort: 49.30±9.12 jalndı). Büttün hastaların koroner akım hızları TIMI frame count kullanılarak belirlendi. Tüm hastaların microvolt T-dalga alternansı Time domain modified moving average analizi (MMA) metodundan GE healthcare –released versiyonuyla full otomatik olarak egzersiz testi sırasında analiz edildi.

Bulgular: Çalışma hastalarının cinsiyet dışında klinik ve laboratuvar parametrelerin arasında fark yoktu (Tablo 1). Her iki grup karşılaştırıldığında her üç epikardiyal koroner arter için düzeltildiimi TIMI kare sayısını ve ortalama TIMI kare sayısını koroner yavaş akım grubunda istatistiksel anlamlı olarak daha yükseltti (hepsi için p<0.001). m-TDA kontrol grubu ile karşılaştırıldığında yavaş akım grubunda bozulmuş olarak saptandı (p=0.017). m-TDA ile sağ koroner ve ortalama TIMI kare sayısını arasında pozitif yönlü korelasyon mevcuttu. Lineer regresyon analizinde sadecce sağ koroner TIMI kare sayısını bozulmuş m-TDA'ı predikte etmektedir (Tablo 2).

Sonuç: Ventriküler aritmîler ve kardiovasküler ölüm açısından risk faktörleri olan microvolt T-dalga alternansının yavaş koroner akım olan hastalarda belirgin olarak bozulmuş olduğu görülmüştür. Ancak yavaş koroner akım olan hastalarda m-TDA'nın kardiovasküler ölüm ve ventriküler aritmîler açısından risk faktörleri olarak değerlendirilmesi için daha fazla hastaya, uzun dönemli prospektif çalışmalarla ihtiyaç vardır.

Genel

S-041

AFTER (Atrial fibrillation in Turkey: epidemiologic registry) çalışması; Non-valvüler atriyal fibrilasyonlu hastalarda CHA2DS-2VASc skoru ile inme riski ve profilaktik ilaç kullanımının değerlendirilmesi

Nihan Kahya Eren¹, Faruk Ertaş², Hasan Kaya², Selçuk Gedik³, Çağlar Emre Çağlıyan⁴, Ziya Şimşek⁵, Mehmet Güç⁶, Mesut Aydin¹, Bülent Vatan⁷, Alpay Arıbaş⁸, Göksel Açıar⁹, Mehmet Ali Elbey¹, Mehmet Siddik Ülgen¹

¹İzmir Atatürk Eğitim ve Araştırma Hastanesi, Kardiyoloji Bölümü, İzmir

²Dicle Üniversitesi Tıp Fakültesi, Kardiyoloji Anabilim Dalı, Diyarbakır

³Ankara Numune Eğitim ve Araştırma Hastanesi, 1. Kardiyoloji Kliniği, Ankara

⁴Adana Numune Eğitim ve Araştırma Hastanesi, Seyhan Uygulama Merkezi Kardiyoloji Bölümü, Adana

⁵Atatürk Üniversitesi Tıp Fakültesi, Kardiyoloji Anabilim Dalı, Erzurum

⁶İstanbul Mehmet Akif Ersoy Eğitim ve Araştırma Hastanesi, Kardiyoloji Kliniği, İstanbul

⁷Sakarya Üniversitesi Tıp Fakültesi, Kardiyoloji Anabilim Dalı, Sakarya

⁸Selçuk Üniversitesi Meram Tıp Fakültesi, Kardiyoloji Anabilim Dalı, Konya

⁹Kartal Koşuyolu Yüksek İhtisas ve Araştırma Hastanesi, Kardiyoloji Bölümü, İstanbul

Amaç: Atrial fibrilasyonun (AF) en sık görülen ve en korkulan komplikasyonu tromboembolizmdir. Bu komplikasyonu önlemeye etkinliği kanıtlanmış en önemli tedavi yöntemi warfarine antikoagülasyondur. Inme riskini belirlemek için kılavuzların önerdiği en son skorlama sistemi CHA2DS2VASc skorlamasıdır. Bu çalışmada inme risk sınıflaması ile oral antikoagülat tedavi kullanımı arasındaki ilişki araştırıldı.

Metod: Gözlemlsel, kesitsel ve çok merkezli bu çalışmaya Türkiye'den nüfus dağılımı göz önüne alınarak 17 ayrı merkezden ardışık toplam 2162 atriyal fibrilasyon hasta aldı. Kardiyoloji poliklinigine başvuran AF hastaları kardiyoloji uzmanı tarafından değerlendirilerek CHA2DS2VASc skoruna göre inme risk sınıflaması yapıldı ve hastaların warfarin kullanım oranları ile karşılaştırıldı.

Bulgular: Çalışmaya alınan hastaların 478'i valvüler AF nedeniyle çalışma dışı bırakıldı. Değerlendirilen 1684 non-valvüler AF hastasının ortalama yaşı 69±11'du ve hastaların 947'si kadındı. Hastaların CHA2DS-2VASc skoru göre inme riskleri ve aldıkları ilaçlar tabloda gösterilmiştir.

Sonuç: Hastaların büyük çoğunluğu yüksek inme riskine sahip olmasına rağmen, yaridan fazlası warfarin tedavisi almamaktaydı. Ayrıca düşük inme riskine sahip hastaların dörtte biri gerekmektedi halde warfarin tedavisi almaktaydı. Bu sonuçlar ülkemize AF tedavisinde antikoagülat tedavi endikasyonlarına dikkat edilmemiğini göstermesi açısından önem taşımaktadır.

"Bu çalışma çok merkezli AFTER çalışmasının bir parçasıdır"

S-040

Effect of slow coronary artery flow on microvolt T wave alternans

Özgür Sürgüt, Mehmet Ertürk, Mehmet Güç, Özgür Akgül, İbrahim Faruk Aktürk, Ahmet Ayaz, Umut Somuncu, Hamdi Püşüroğlu, Ender Özal, Gündüz Durmuş, Nevzat Uslu, Abdurrahman Eksik, Mustafa Kemal Erol

¹Department of Cardiology, İstanbul Mehmet Akif Ersoy Training and Research Hospital, İstanbul

	Kontrol grubu (n=30)	P değeri
yaş (yıl)	48.51±10.32	.742
sek (%)	84.6	.408
Vasküller indeksi (kg/m ²)	29.05±3.19	.28.37±3.46
Diastolik tansiyon (mmHg)	73.54±7.07	.71.93±7.37
Sistolik tansiyon (mmHg)	122.95±9.08	.120.80±10.83
Kalp hizi (van/dk)	79.10±8.10	.75.93±7.99
Sigara (şeneler,%)	43.6	.765**
Diabet (%)	7.7	.100**
Hiperantreniyon(%)	20.5	.548**
Hematokrit	42.79±3.66	.41.20±5.26
Glukoz (mg/dl)	115.28±36.66	.103.10±13.43
Kreatinin (mg/dl)	0.82±0.16	.0.79±0.19
Total kolesterol (mg/dl)	194.51±41.88	.193.53±40.69
LDL (mg/dl)	122.77±29.34	.121.47±33.54
Triglicerit (mg/dl)	42.15±12.38	.45.03±12.36
C reaktif protein(mg/dl)	191.90±142.77	.151.33±73.71
C reaktif protein(mg/dl)	3.49±2.76	.3.62±2.87
TIMI kare sayısı		
LAD (dizaynlanmış)	36.48±16.72	.19.84±5.47
	<.001***	
35.74±11.73	20.63±5.93	<.001***
RCA	37.64±13.92	.19.63±5.47
	<.001***	
Ortalama	36.62±10.64	.20.04±4.13
	<.001***	
T dalgası alterasyon (%) (pozitif,n,%)	23 (59)	.9 (30)
	0.017*	

*: Kr-kare testi **: Fisher exact test ***: Mann-Whitney U testi

Tablo 1. Kooperatif yavaş akım ve kontrol grubundan klinik ve laboratuvar özelliklerini

	Spearman korelasyon analizi		Regressyon analizi	
	r	p	B	p
yaş	0.150	0.217		
Cinsiyet	0.023	0.851		
Sigara	0.085	0.486		
Diabet	0.126	0.304		
Hiperantreniyon	-0.029	0.813		
Hematokrit	0.087	0.478		
Glukoz	0.035	0.775		
Kreatinin	0.030	0.808		
Total kolesterol	0.034	0.780		
LDL	0.072	0.559		
Triglicerid	-0.132	0.279		
C reaktif protein	-0.216	0.075		
TIMI kare sayısı				
dLAD	0.150	0.217		
CX	0.158	0.195		
RCA	0.342	0.004	0.376	0.001
Ortalama	0.295	0.014	0.025	0.891

Tablo 2. T dalgası alternans ile klinik ve laboratuvar parametreleri arasındaki ilişki

General

S-041

AFTER (Atrial fibrillation in Turkey: epidemiologic registry) study; assessment of prophylactic drug use and stroke risk by CHA2DS-2VASc in non-valvular score in non-valvular atrial fibrillation patients

Nihan Kahya Eren¹, Faruk Ertaş², Hasan Kaya², Selçuk Gedik³, Çağlar Emre Çağlıyan⁴, Ziya Şimşek⁵, Mehmet Güç⁶, Mesut Aydin¹, Bülent Vatan⁷, Alpay Arıbaş⁸, Göksel Açıar⁹, Mehmet Ali Elbey¹, Mehmet Siddik Ülgen¹

¹İzmir Atatürk Eğitim ve Araştırma Hastanesi, Kardiyoloji Bölümü, İzmir

²Dicle Üniversitesi Tıp Fakültesi, Kardiyoloji Anabilim Dalı, Diyarbakır

³Ankara Numune Eğitim ve Araştırma Hastanesi, 1. Kardiyoloji Kliniği, Ankara

⁴Adana Numune Training and Research Hospital, Seyhan Application Center Department of Cardiology, Adana

⁵Department of Cardiology, Ataturk University Faculty of Medicine, Erzurum

⁶Department of Cardiology, İstanbul Mehmet Akif Ersoy Training and Research Hospital, İstanbul

⁷Department of Cardiology, Sakarya University Faculty of Medicine, Sakarya

⁸Department of Cardiology, Selçuk University Meram Faculty of Medicine, Konya

⁹Department of Cardiology, Kartal Koşuyolu Yüksek İhtisas Training and Research Hospital, İstanbul

CHA2DS-2VASc Skoru	ASA	Warfarin	ASA+Warfarin	Hibitri	Toplam
n (%)	n (%)	n (%)	n (%)	n (%)	n
Doğu (Skor: 0)	26 (36)	16 (22)	2 (3)	28 (39)	72
Orta (Skor: 1)	62 (39)	34 (10)	12 (7)	49 (31)	157
Yüksek (Skor ≥2)	612 (42)	378 (26)	239 (16)	226 (15)	1455

S-042

AFTER (Atrial Fibrillation in Turkey: Epidemiologic Registry) çalışması; Türkiye'deki atriyal fibrilasyon çalışması: epidemiyolojik verilerin analizi

Faruk Ertas¹, Hasan Kaya¹, Bülent Vatan², Mehmet Zihni Bilik³, Selçuk Gedik³, Serkan Bulur⁴, Nihan Kahya⁵, Bayram Körülü⁶, Zekeriya Kaya⁷, Tolga Çimen⁸, Abdulkadir Yıldız¹, Fethullah Kayan¹, Hakan Özhan⁹

¹Dicle Üniversitesi Tıp Fakültesi, Kardiyoloji Anabilim Dalı, Diyarbakır

²Sakarya Üniversitesi Tıp Fakültesi, Kardiyoloji Anabilim Dalı, Sakarya

³Ankara Numune Eğitim ve Araştırma Hastanesi, 1. Kardiyoloji Kliniği, Ankara

⁴Düzce Üniversitesi Düzce Tıp Fakültesi Kardiyoloji Anabilim Dalı, Düzce

⁵İzmir Atatürk Eğitim ve Araştırma Hastanesi Kardiyoloji Bölümü, İzmir

⁶Dr. Siyami Ersek Göğüs, Kalp ve Damar Cerrahisi Eğitim ve Araştırma Hastanesi, Kardiyoloji Kliniği, İstanbul

⁷Harran Üniversitesi Tıp Fakültesi Kardiyoloji Anabilim Dalı, Şanlıurfa

⁸Ankara SB Dışkıpı Yıldırım Beyazıt Eğitim ve Araştırma Hastanesi, Kardiyoloji Kliniği, Ankara

Amaç: Atrial fibrilasyon (AF) klinikte en sık karşılaşılan ritm bozukluguudur. Yaşa birlikte artan prevalansı AF'yi en ciddi sağlık sorunlarından biri haline getirmiştir. AF ile ilgili yapılan çalışmaların çoğu batı menşeli olup toplumumuzun gerçek karakteristğini yansıtmamayı. Bu çalışmada amacımız Türk populasyonundaki AF hastalarının demografik özelliklerini araştırmaktır.

Metod: Gözlemlisel, kesitsel, çok merkezli bu çalışmaya Türkiye'den nüfus dağılımı gözönüne alınarak 17 ayrı merkezden toplam 2162 AF hastası alındı. Kardiyoloji poliklinigine başvuran AF hastaları kardiyoloji uzmanı tarafından değerlendirilerek demografik verileri, eşlik eden hastalıklar, kullandıkları ilaçlar ve kardiyovasküler risk faktörleri sorgulandı.

Bulgular: Çalışmaya alınan hastaların demografik özelliklerini tabloda sunulmuştur. Hastaların ortalama yaşı $66,8 \pm 12,2$ yıl idi. Türk populasyonunda en sık görülen AF tipi non-valvüler AF (%77,9) olup, tüm AF hastalarının %81,3'ü permanent-persistent AF idi. AF'li hastaların %59,6'u kadın cinsiyete sahipti. AF'ye en sık eşlik eden komorbid durum hipertansiyon olarak izlendi (%66,7).

Sonuçlar: Çalışmamız ülkemizde bu konuda yapılan ilk ve en kapsamlı çok merkezli epidemiyolojik çalışmadır. Çalışma verileri Batı toplumlarda yapılmış çalışma sonuçları ile uyumu olarak izlendi.

Demografik özellikler	n (%)
Cinsiyet	873 (40,4)
Kadın	1289 (59,6)
Yaş	
≤ 65	1056 (39,1)
66-74	672 (31,1)
≥ 75	644 (29,8)
AF tipi	
Non-valvüler	1684 (77,9)
Valvüler	478 (22,1)
Persistent	404 (18,7)
Persistent-permanent	1758 (81,3)
BMI	27,6±5,3
Hipertansiyon	1443 (66,7)
Kalp yetersizliği-LV disfonksiyonu	607 (28,1)
İlime-TIA-tromboemboli	326 (15,1)
Tüp II DM	475 (22,0)
Damar hastalığı	540 (25,0)
Tarot disfonksiyonu	117 (5,4)
Sigara	261 (12,1)

S-043

AFTER (Atrial Fibrillation in Turkey: Epidemiologic Registry) Çalışması; Atrial fibrilasyonlu hastalarda inme belirteçleri

Faruk Ertas¹, Hasan Kaya¹, Mehmet Kanadaş², Murat Yüksel³, Çağlar Emre Çağlıyan⁴, Nuri Köse⁵, Göksel Açıar⁶, Nihan Kahya Eren⁷, Mustafa Oylumlu⁸, Bayram Körülü⁹, Alpay Arıbaş¹⁰, Mehmet Zihni Bilik¹, Hakan Özhan¹⁰

¹Dicle Üniversitesi Tıp Fakültesi, Kardiyoloji Anabilim Dalı, Diyarbakır

²Çukurova Üniversitesi Tıp Fakültesi Kardiyoloji Anabilim Dalı, Adana

³Malatya Devlet Hastanesi, Kardiyoloji Kliniği, Malatya

⁴Adana Numune Eğitim ve Araştırma Hastanesi, Seyhan Uygulama Merkezi Kardiyoloji Bölümü, Adana

⁵Özel Yücelen Hastanesi, Kardiyoloji Bölümü, Muğla

⁶Kartal Koşuyolu Yüksek İhtisas Eğitim ve Araştırma Hastanesi, Kardiyoloji Bölümü, İstanbul

⁷İzmir Atatürk Eğitim ve Araştırma Hastanesi, Kardiyoloji Bölümü, İzmir

⁸Dr. Siyami Ersek Göğüs, Kalp ve Damar Cerrahisi Eğitim ve Araştırma Hastanesi, Kardiyoloji Kliniği, İstanbul

⁹Selçuk Üniversitesi Meram Tip Fakültesi, Kardiyoloji Anabilim Dalı, Konya

¹⁰Düzce Üniversitesi Düzce Tıp Fakültesi, Kardiyoloji Anabilim Dalı, Düzce

Amaç: Atrial fibrilasyonun (AF) en önemli komplikasyonu tromboembolik olaylardır. Bu çalışmada AF tanısı konmuş hastalarda inmenin bağımsız belirteçleri araştırıldı.

Metod: Gözlemlisel, kesitsel, çok merkezli bu çalışmaya Türkiye'den nüfus dağılımı göz önüne alınarak 17 ayrı merkezden toplam 2162 AF hastası alındı. Kardiyoloji poliklinigine başvuran AF hastaları kardiyoloji uzmanı tarafından değerlendirilerek inme öyküsü, tanısal parametreler ve tedavi durumu değerlendirildi.

Bulgular: Çalışmaya alınan AF hastalarının 267'si inme geçirmiştir (%12,3). İnmenin bağımsız belirteçleri tabloda gösterilmiştir. Buna göre kılavuzlara da giren CHADS2VASc skoru yanında yüksek HASBLED skoru, valvüler nedeli AF ve kadın cinsiyet de inme açısından bağımsız risk tasımaktadır.

Sonuç: Kılavuzlarda antikoagülasyon açısından yer verilen skor sistemlerinin yanında valvüler AF ve kadın cinsiyetin inme açısından en yüksek Odds oranına sahip olması, valvüler AF'li kadın hasta sayısının yüksek olduğu ülkemizde çok önemli bir bulgudur. Dolayısı ile bu hastaların antikoagülasyon tedavi almaları konusunda daha dikkatli olunmalıdır

"Bu çalışma çok merkezli AFTER çalışmasının bir parçasıdır"

Bileşenler	Bileşenler	Ortalama yaş	Yüzde	Görünüş	Yüzde	Görünüş	F. değer
Ünlüler (skor)	8,83	2,29	1,4%	3,29	<0,001		
Vasküler AF	10,13	3,01	3,00%	3,00%	0,119		
Vasküler AF	1,63	3,004	3,00%	7,07%	<0,001		
Laki ISR	-0,76	0,601	0,42%	0,42%	0,113	0,129	
Uzun	0,937	0,607	0,34%	0,34%	0,044	0,077	
Arterit	0,013	1,011	0,99%	1,00%	0,004	0,491	
CHADS2VASc Skoru	8,29	2,291	2,03%	2,00%	<0,001		
Hasıllar Skoru	8,987	3,799	3,50%	3,46%	<0,001		

S-042

AFTER (Atrial Fibrillation in Turkey: Epidemiologic Registry) Study; Analysis of the epidemiologic data

Faruk Ertas¹, Hasan Kaya¹, Bülent Vatan², Mehmet Zihni Bilik¹, Selçuk Gedik³, Serkan Bulur⁴, Nihan Kahya⁵, Bayram Körülü⁶, Zekeriya Kaya⁷, Tolga Çimen⁸, Abdulkadir Yıldız¹, Fethullah Kayan¹, Hakan Özhan⁴

¹Department of Cardiology, Dicle University Faculty of Medicine, Diyarbakır

²Department of Cardiology, Sakarya University Faculty of Medicine, Sakarya

³Ist Department of Cardiology, Ankara Numune Training and Research Hospital, Ankara

⁴Department of Cardiology, Düzce University Düzce Faculty of Medicine, Düzce

⁵Department of Cardiology, Izmir Atatürk Training and Research Hospital, İzmir

⁶Dr. Siyami Ersek Thoracic, and Cardiovascular Surgery, Training and Research Hospital, Division of Cardiology, İstanbul

⁷Department of Cardiology, Harran University Faculty of Medicine, Şanlıurfa

⁸Department of Cardiology, SB Dışkıpı Yıldırım Beyazıt Training and Research Hospital, Ankara

S-044

AFTER (Atrial Fibrillation in Turkey: Epidemiologic Registry) Çalışması; Atrial fibrilasyonu olan hastalarda HASBLED skoru ile kanama riskinin değerlendirilmesi ve warfarin kullanımıyla ilişkisi

Hasan Kaya¹, Faruk Ertaş¹, Bayram Körögöl³, Murat Yüksel², Bülent Vatan⁴, Mustafa Oylumlu¹, Çağlar Emre Çağlıyan⁵, Mesut Aydin⁶, Ziya Şimşek⁶, Zekeriya Kaya⁷, Göksel Açıar⁸, Fethullah Kayan¹, Mehmet Sıddık Ülgen¹

¹Dicle Üniversitesi Tip Fakültesi, Kardiyoloji Anabilim Dalı, Diyarbakır

²Malatya Devlet Hastanesi Kardiyoloji Kliniği, Malatya

³Dr. Siyami Ersek Göğüs, Kalp ve Damar Cerrahisi Eğitim ve Araştırma Hastanesi, Kardiyoloji Kliniği, İstanbul

⁴Sakarya Üniversitesi Tip Fakültesi, Kardiyoloji Anabilim Dalı, Sakarya

⁵Adana Numune Eğitim ve Araştırma Hastanesi, Seyhan Uygulama Merkezi Kardiyoloji Bölümü, Adana

⁶Atatürk Üniversitesi Tip Fakültesi, Kardiyoloji Anabilim Dalı, Erzurum

⁷Harran Üniversitesi Tip Fakültesi, Kardiyoloji Anabilim Dalı, Şanlıurfa

⁸Kartal Koşuyolu Yüksek İhtisas Eğitim ve Araştırma Hastanesi, İstanbul

Amaç: Atrial fibrilasyonda (AF) oral antikoagulan kullanımının kısıtlayan en önemli nedenler antikoagülasyonun kanama etkisidir. Bu çalışmanın amacı güncel kılavuzların önerdiği HASBLED skorlama sistemi ile ülkemizdeki AF hastalarının kanama risklerini belirlemektir.

Metod: Gözlemlenmiş, kesitsel, çok merkezli bu çalışmaya Türkiye'den nüfus dağılımı göz önüne alınarak 17 ayrı merkezden toplam 2162 AF hastası alındı. Kardiyoloji polikliniğine başvuran AF hastaları kardiyoloji uzmanı tarafından değerlendirilerek HASBLED skoruna göre kanama risk sınıflaması yapıldı ve hastaların antikoagulan ve antiagregan kullanım oranları karşılaştırıldı.

Bulgular: HASBLED risk skoru düşük-orta hasta grubu ile yüksek hasta grubu karşılaştırılması tabloda gösterilmiştir. HASBLED risk skoru yüksük olan hastalar daha yaşlı, tromboemboli ve kanama öykü sikliği yüksek bireylerdi. Riskin yüksek olduğu bireylerde warfarin kullanım siklığı düşük riskli bireylere göre daha düşüktü.

Sonuç: HASBLED risk skoru yüksek olan hasta grubunda ilginç olarak hem kanama hem de tromboemboli öyküsünün daha sık olması bu gruptaki hastaların çok yakını takibinin gerektiğini ortaya koymaktadır. Ülkemizde skorun yüksek olduğu kişilerde warfarin kullanımının daha düşük olması klinisyenlerin kanama komplikasyonunu önelsediklerini göstermektedir.

“Bu çalışma çok merkezli AFTER çalışmasının bir parçasıdır”

S-044

AFTER (Atrial Fibrillation in Turkey: Epidemiologic Registry) Study: Bleeding risk assessment with HASBLED score and its reletion with warfarin usage in patients with atrial fibrillation

Hasan Kaya¹, Faruk Ertaş¹, Bayram Körögöl³, Murat Yüksel², Bülent Vatan⁴, Mustafa Oylumlu¹, Çağlar Emre Çağlıyan⁵, Mesut Aydin⁶, Ziya Şimşek⁶, Zekeriya Kaya⁷, Göksel Açıar⁸, Fethullah Kayan¹, Mehmet Sıddık Ülgen¹

¹Department of Cardiology, Dicle University Faculty of Medicine, Diyarbakır

²Department of Cardiology, Malatya State Hospital, Malatya

³Dr. Siyami Ersek Thoracic, and Cardiovascular Surgery, Training and Research Hospital, Division of Cardiology, İstanbul

⁴Department of Cardiology, Sakarya University Faculty of Medicine, Sakarya

⁵Adana Numune Training and Research Hospital, Seyhan Application Center Department of Cardiology, Adana

⁶Department of Cardiology, Ataturk University Faculty of Medicine, Erzurum

⁷Department of Cardiology, Harran University Faculty of Medicine, Şanlıurfa

⁸Department of Cardiology, Kartal Koşuyolu Yüksek İhtisas Training and Research Hospital, İstanbul

S-045

AFTER (Atrial Fibrillation in Turkey: Epidemiologic Registry) Çalışması; Atrial fibrilasyonu olan hastalarda etkin INR düzeyine ulaşma belirteçleri

Hasan Kaya¹, Faruk Ertaş¹, Alpay Arıbaş², Mehmet Ata Akıl¹, Mehmet Güll³, Mehmet Zihni Bili¹, Nuri Köse⁴, Özgür Akkus⁵, Ekrem Yeter⁶, Serkan Bulur⁷, Necdet Özaydoğdu¹, Rüstem Yılmaz⁸, Hakan Özhan⁷

¹Dicle Üniversitesi Tip Fakültesi, Kardiyoloji Anabilim Dalı, Diyarbakır

²Selçuk Üniversitesi Meram Tip Fakültesi, Kardiyoloji Anabilim Dalı, Konya

³İstanbul Mehmet Akif Ersoy Eğitim ve Araştırma Hastanesi, Kardiyoloji Kliniği, İstanbul

⁴Özel Yücelen Hastanesi, Kardiyoloji Bölümü, Muğla

⁵Cukurova Üniversitesi Tip Fakültesi, Kardiyoloji Anabilim Dalı, Adana

⁶Ankara SB Dışkapı Yıldırım Beyazıt Eğitim ve Araştırma Hastanesi, Kardiyoloji Kliniği, Ankara

⁷Düzce Üniversitesi Düzce Tip Fakültesi, Kardiyoloji Anabilim Dalı, Düzce

⁸Samsun Gazi Devlet Hastanesi, Kardiyoloji Kliniği, Samsun

Amaç: Atrial fibrilasyon (AF) en önemli komplikasyonu tromboembolik olaylardır. Yapılan çalışmalarla, AF hastalarında tromboembolik olayları önlenmenin etkili yolumun warfarinle sağlanan etkin antikoagülasyon olduğunu gösterilmiştir. Bu çalışmada AF tanısı konmuş hastalarda etkin INR hedefine ulaşmanın bağımsız belirteçleri araştırıldı.

Metod: Gözlemlenmiş, kesitsel, çok merkezli bu çalışmaya Türkiye'den nüfus dağılımı göz önüne alınarak 17 ayrı merkezden toplam 2162 AF hastası alındı. Kardiyoloji polikliniğine başvuran AF hastaları kardiyoloji uzmanı tarafından değerlendirilerek inme öyküsü, tansil parametreler ve tedavi durumu değerlendirildi.

Bulgular: Warfarin kullanan hasta sayısı 1079'da 625 hastanın INR değeri etkin aralıktaydı. Etkin INR'ın bağımsız belirteçleri tabloda gösterilmiştir. Buna göre valvüler AF ve hipertansiyon varlığı, sigara kullanmama ve diyet olmamış etkin INR'ın bağımsız öngördürüticileridir.

Sonuç: Ülkemizde etkin INR'ın bağımsız belirteçlerinin büyük bir kohortta ilk kez değerlendirildiği bu çalışmada sigara alışkanlığı ve diyetinin INR etkinliğini açısından bağımsız birer negatif risk faktörü olarak ortaya çıkmasıyla hasta grubundan daha yakın takibe ihtiyaç duyulduğunu göstermektedir.

“Bu çalışma çok merkezli AFTER çalışmasının bir parçasıdır”

S-045

AFTER (Atrial Fibrillation in Turkey: Epidemiologic Registry) Study: Predictors of reaching effective INR levels in patients with atrial fibrillation

Hasan Kaya¹, Faruk Ertaş¹, Alpay Arıbaş², Mehmet Ata Akıl¹, Mehmet Güll³, Mehmet Zihni Bili¹, Nuri Köse⁴, Özgür Akkus⁵, Ekrem Yeter⁶, Serkan Bulur⁷, Necdet Özaydoğdu¹, Rüstem Yılmaz⁸, Hakan Özhan⁷

¹Department of Cardiology, Dicle University Faculty of Medicine, Diyarbakır

²Department of Cardiology, Selçuk University Meram Faculty of Medicine, Konya

³Department of Cardiology, İstanbul Mehmet Akif Ersoy Training and Research Hospital, İstanbul

⁴Department of Cardiology, Special Yücelen Hospital, Muğla

⁵Department of Cardiology, Çukurova University Faculty of Medicine, Adana

⁶Department of Cardiology, SB Dışkapı Yıldırım Beyazıt Training and Research Hospital, Ankara

⁷Department of Cardiology, Düzce University Düzce Faculty of Medicine, Düzce

⁸Department of Cardiology, Samsun Gazi State Hospital, Samsun

S-046

AFTER (Atrial Fibrillation in Turkey: Epidemiologic Registry) Çalışması; Atrial fibrilasyonlu hastalarda antikoagulan kullanımı ve ilaç uyumunun değerlendirilmesi

Faruk Ertas¹, Hasan Kaya¹, Serkan Bulur², Tolga Çimen³, Zekeriya Kaya⁴, Selçuk Gedik⁵, Alpay Arıbaş⁶, Abdulkadir Yıldız¹, Mehmet Ata Akıl¹, Çağlar Emre Çağlayan⁷, Nihan Kahya Eren⁸, Murat Yüksel⁹, Mehmet Siddik Ülgen¹

¹Dicle Üniversitesi Tıp Fakültesi, Kardiyoloji Anabilim Dalı, Diyarbakır

²Düzce Üniversitesi Düzce Tıp Fakültesi, Kardiyoloji Anabilim Dalı, Düzce

³Ankara SB Dışkapı Yıldırım Beyazıt Eğitim ve Araştırma Hastanesi, Kardiyoloji Kliniği, Ankara

⁴Harran Üniversitesi Tıp Fakültesi Kardiyoloji Anabilim Dalı, Şanlıurfa

⁵Ankara Numune Eğitim ve Araştırma Hastanesi 1. Kardiyoloji Kliniği, Ankara

⁶Selçuk Üniversitesi Meram Tıp Fakültesi, Kardiyoloji Anabilim Dalı, Konya

⁷Adana Numune Eğitim ve Araştırma Hastanesi Seyhan Uygulama Merkezi Kardiyoloji Bölümü, Adana

⁸İzmir Atatürk Eğitim ve Araştırma Hastanesi Kardiyoloji Bölümü, İzmir

⁹Malatya Devlet Hastanesi, Kardiyoloji Kliniği, Malatya

Amaç: Atrial fibrilasyon (AF) en önemli komplikasyonu tromboembolik olaylardır. Yapılan çalışmalarla AF hastalarında tromboembolik olayları önlemek en etkili yolun warfarinle sağlanan etkin antikoagulasyon olduğu gösterilmiştir. Bu çalışmada AF tanısı konmuş hastalarda oral antikoagulan tedavisinin uygulama sıklığı ve ilaç uyumunun değerlendirilmesi amaçlandı.

Metod: Gözlemlen, kesitsel, çok mertebeli bu çalışma Türkiye'den nüfus dağılımı göz önüne alınarak 17 ayrı merkezden toplam 2162 AF hasta aldı. Kardiyoloji poliklinigine başvuran AF hastaları kardiyoloji uzmanı tarafından değerlendirilerek warfarin tedavisi alıp almadığı, alımırsa sebebi sorulandı ve hastalar değerlendirildi.

Bulgular: Hastaların warfarin kullanım oranları ve kullanımına nedenleri şekilde gösterilmiştir. Buna göre hastaların %49'u warfarin kullanıyordu. Warfarin endikasyonu olmayan hasta oranı %31'di. Hastanın doktora danışmadan tedaviyi kesme oranı %1,4, tedaviyi reddetme oranı %1,7 ve sosyoekonomik nedenlerle ilaç kullanamam sıklığı %6,2'ydı. Hastadan kaynaklanan sebepler toplamda %9,3'tü. Toplamda %63'lük hasta grubuna kontraendikasyon sebebiyle warfarin verilemedi (%2,6 kanama ve %0,4 diğer kontraendikasyonlar).

Sonuç: Hastaların yarısı oral antikoagulan kullanmaktadır. Yaklaşık 1/3 hasta ise warfarin endikasyonu mevcut değildi. Hasta kaynaklı ilaç uyumsuzluğunu ise toplamda %10 civarındaydı. Çalışma verileri Batı toplumlarında yapılmış çalışma sonuçları ile uyumlu olarak izlendi.

"Bu çalışma çok mertebeli AFTER çalışmasının bir parçasıdır"

S-047

Türkiye'deki kapak hastalığının cinsiyete göre dağılımı

Recep Demirbağ¹, Elif Leyla Sade², Mustafa Aydin³, Abdi Bozkurt⁴, Esmeray Acartürk⁴

¹Harran Üniversitesi Tıp Fakültesi, Kardiyoloji Anabilim Dalı, Şanlıurfa

²Başkent Üniversitesi Tıp Fakültesi, Kardiyoloji Anabilim Dalı, Ankara

³Zonguldak Karaelmas Üniversitesi Tıp Fakültesi, Kardiyoloji Anabilim Dalı, Zonguldak

⁴Çukurova Üniversitesi Tıp Fakültesi, Kardiyoloji Anabilim Dalı, Adana

Giriş: Kapak hastalığı ülkemizde ve gelişmekte olan ülkelerde halen sık görülmektedir. Romatizmal kapak hastalığının genç yaş ve kadınlarda sık görüldüğü bilinmemektedir. Diğer etiyojili kapak hastalıkları dağılımının ülkemizdeki durumu ile yeterince veri bulunmamaktadır.

Gereçler ve Yöntem: "Türkiye Kapak Hastalıkları Kayıt Çalışması" verilerinde cinsiyete göre kapak hastalarının dağılımı araştırıldı. Bu çalışmaya yaş >=18 olması ile birlikte, takip eden kriterlerden en az birine sahip olanlar

almıştı. Bu kriterler; 1.Native kapak hastalığı
a.Aort darlığı maksimum jet hızı: > 2,5 m/s veya
b.Mitral darlığı kapak alanı: < 2 cm² veya
c.Mitral yetersizliği: >=2/4 veya
d.Aort yetersizliği: >= 2/4 veya
2.Enfektif endokardit tanısı konulan hastalar (Duke ölçütlerine göre)
3.Kapak cerrahisi veya balon valvüloplasti yapılanlar

Bulgular: 2009-2011 yılları arasında yürütülen "Türkiye Kapak Hastalıkları Kayıt Çalışması"na 42 merkezde 1300 hasta dahil edilmiştir.

Bu hastaların 785 (%60) bayan, 515 (%40) erkek olgulardan oluşmaktadır. Yaş erkek ve bayanlarda benzerdir (sira ile 59 ± 17 ya da 57 ± 18 yıl, $p=0,280$). Alım kriterlerine göre bayan/erkek sayı ve yüzdeleri resim-1 deki gibidir. Etiyojioye, protez ve nativ kapak hastalığının cinsiyete göre dağılımını sırasıyla tablo-1, 2, 3 de gösterilmiştir.

Sonuçlar: Kapak hastalarının coğulüğünü bayan hastalar oluşturmaktadır. İskemik, konjenital ve endokardit zeminde gelişen kapak hastalıkları erkeklerde daha sık görülürken, romatizmal, dejeneratif ve diğer etiyojili kapak hastalıkları bayanlarda sıkı görülmektedir. Sadece aort kapak değişimi erkeklerde, diğer tüm kapak değişimleri bayanlarda daha yüksekti.

S-046

AFTER (Atrial Fibrillation in Turkey: Epidemiologic Registry) Study; Assessment of anticoagulant usage and medication compliance in patients with atrial fibrillation

Faruk Ertas¹, Hasan Kaya¹, Serkan Bulur², Tolga Çimen³, Zekeriya Kaya⁴, Selçuk Gedik⁵, Alpay Arıbaş⁶, Abdulkadir Yıldız¹, Mehmet Ata Akıl¹, Çağlar Emre Çağlayan⁷, Nihan Kahya Eren⁸, Murat Yüksel⁹, Mehmet Siddik Ülgen¹

¹Department of Cardiology, Dicle University Faculty of Medicine, Diyarbakır

²Department of Cardiology, Düzce University Faculty of Medicine, Düzce

³Department of Cardiology, SB Dışkapı Yıldırım Beyazıt Training and Research Hospital, Ankara

⁴Department of Cardiology, Harran University Faculty of Medicine, Şanlıurfa

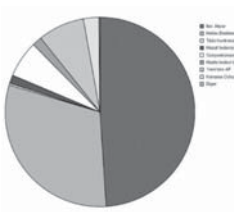
⁵1st Department of Cardiology, Ankara Numune Training and Research Hospital, Ankara

⁶Department of Cardiology, Selçuk University Meram Faculty of Medicine, Konya

⁷Adana Numune Training and Research Hospital, Seyhan Application Center Department of Cardiology, Adana

⁸Department of Cardiology, İzmir Atatürk Training and Research, İzmir

⁹Department of Cardiology, Malatya State Hospital, Malatya



S-047

Distribution of the valvular heart disease in Turkey according to gender

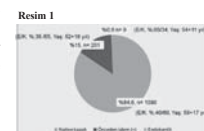
Recep Demirbağ¹, Elif Leyla Sade², Mustafa Aydin³, Abdi Bozkurt⁴, Esmeray Acartürk⁴

¹Department of Cardiology, Harran University Faculty of Medicine, Şanlıurfa

²Department of Cardiology, Başkent University Faculty of Medicine, Ankara

³Department of Cardiology, Zonguldak Karaelmas University Faculty of Medicine, Zonguldak

⁴Department of Cardiology, Çukurova University Faculty of Medicine, Adana



Tablo 1. Rematizmal aort, Distrofik aort, İkinci derece mitral, Konjenital, Endokardit, Diğer

Bayan, % (n) 68 (401), Erkek, % (n) 32 (187), p <0,0001, (n=595)

Tablo 2. Total, AVR, MVR, AVR+MVR, TVR, AVR+MVR+TVR

Bayan, % (n) 62 (92), Erkek, % (n) 38 (57), (n=149)

Protez kapak hastalarının dağılımı

Bayan, % (n) 54 (36), Erkek, % (n) 46 (30), (n=34)

Tablo 3. Aort darlığı, Aort yetersizliği, Mitral darlığı, Mitral yetersizliği, Coklu kapak

Bayan, % (n) 71 (35), Erkek, % (n) 39 (28), (n=66)

Tablo 4. Aort darlığı, Aort yetersizliği, Mitral darlığı, Mitral yetersizliği, Coklu kapak

Bayan, % (n) 70 (12), Erkek, % (n) 30 (52), (n=164)

S-048

Türkiye'de akut koroner sendromlu hastaların ambulans kullanımını etkileyen faktörler

Burcu Demirkan¹, Meltem Refiker Ege², Pinar Doğan¹, Esra Güçük¹, Ümit Güray¹, Yeşim Güray¹

¹Ankara Türkiye Yüksek İhtisas Hastanesi, Kardiyoloji Bölümü, Ankara

²Yalova Devlet Hastanesi, Kardiyoloji Kliniği, Yalova

Amaç: Literatürde çeşitli ülkelerin akut koroner sendromda (AKS) ambulans kullanımını ile ilişkili faktörleri ait verileri bulunmakla birlikte ülkemize ait durum bilinmemektedir. Bu çalışmada bir anket aracılığıyla ülkemize AKS'lu hastaların ambulans kullanımını etkileyen faktörlerin araştırılması amaçlanmıştır.

Yöntem: Bu 2 merkezli çalışmada; Kasım 2010-Mayıs 2011 tarihleri arasında, Yalova Devlet Hastanesi (n= 108, % 33) ve Türkiye Yüksek İhtisas Eğitim ve Araştırma Hastanesi'ne (n=222, %67) başvuran ve AKS tanısı ile koroner yoğun bakıma alınan toplam 330 hasta (ort. yaşı = 55±13) dahil edildi.

Bulgular: Çalışmada 243 erkek ve 87 kadın hasta yer almıştır. Tüm grupta %81 hasta ambulans çağrılmak için kullandıkları "112" telefon numarasını bildirdiğini ifade etmekle birlikte, sadece %29 hasta ambulans ile başvurmuştur. Hastaların ambulans kullanıp kullanmadıklarına göre 2 grupta olusturularak demografik ve klinik özellikleri karşılaştırıldı. Yaş, cinsiyet, evli olma veya ailesi ile birlikte yaşama, hastaneye uzaklık, daha önce koroner arter hastalığı (KAH) tanısı olması ve kardiyal risk faktörlerinin bulunması açısından her iki grup benzerken, düşük eğitim seviyesi ($p<0.04$) ambulans kullanımını tercih etmeyen hastalarda daha siktı. Ambulans kullanan hasta grubunda ST yükselsel miyokard infarktüsü (STEMI) daha fazla tespit edildi ($p<0.02$). Her iki grupta da benzer oranda hasta göğüs ağrısına sahipken, ambulans kullanan hastalar göğüs ağrısına daha şiddetli olarak tanımladılar ($p<0.001$). Dispne ($p<0.001$), baş dönmesi ($p<0.001$), senkop (<0.001), bulantı ($p<0.02$) ve kuşma ($p<0.001$) ambulans kullananlarında daha sık eşlik etmekteydi. Acil çağrı 112 numarasını her ikinci grupta benzer oranda hasta bildirdiği ifade ederken, KAH risk faktörlerini ($p<0.001$) ve kalp krizi ile ilişkili göğüs ağrısı ve böyle bir durumda acil tıbbi yardım çağrılmamasının önemini ($p<0.001$) ambulans kullanan grupta daha fazla oranda hasta bilmektedir. Ambulans kullanmayan hastaların %40'si semptomlarını kardiyak kaynaklı veya ciddi semptomlar olarak değerlendirmemişlerdi. Ambulans kullanmayan hastaların %67'si başkasının kullandığı taşıtlı, %26 sı taksiyle, %14'ü bizzat kendisinin kullandığı taşıtlı, %12'si toplu taşıma ve %11'de yürüyerek hastaneyi ulaşmışlardır. Çokdeğerliken analizde; STEMI ($p<0.001$), göğüs ağrısının şiddeti ($p<0.001$), dispne ($p<0.002$), baş dönmesi ($p=0.002$), kuşma ($p=0.002$), KAH risk faktörlerini ($p<0.001$) ve kalp krizi ile ilişkili göğüs ağrısı ve böyle bir durumda acil tıbbi yardım çağrılmamasının önemini bilme ($p<0.001$) ambulans kullanımını ile bağımsız olarak ilişkili bulunmuştur.

Sonuç: Ülkemizde AKS'da ambulans kullanımını Avrupa ülkeleri ve Avustralya'ya göre oldukça azdır. Önceden KAH tanısı olan hastalarla olmayanların benzer oranda ambulans kullanımını tercih etmeleri; KAH tanısı olan hastaların bile AKS'da yapılması gereken konusunda yeterince bilgilendirilmemişlerdir. Hastaların ve toplumun bilgilendirilmesinin ambulans kullanımını artıracaktır.

S-048

The factors influencing the use of ambulance among patients with acute coronary syndrome in Turkey

Burcu Demirkan¹, Meltem Refiker Ege², Pinar Doğan¹, Esra Güçük¹, Ümit Güray¹, Yeşim Güray¹

¹Department of Cardiology, Ankara Türkiye Yüksek İhtisas Hastanesi, Ankara

²Department of Cardiology, Yalova State Hospital, Yalova

S-049

Türk yetişkinlerinde kardiyovasküler hastalık gelişiminde cinsiyet farklılıklarları üzerine aromataz geninin (CYP19A1) etkisi

Neslihan Coban¹, Filiz Güclü Geyik¹, Altan Onat², Güney Can³, Nihan Erginol Ünaltna¹

¹İstanbul Üniversitesi Deneysel Tip Araştırma Enstitüsü, Genetik Anabilim Dalı, İstanbul

²Türk Kardiyoloji Derneği, İstanbul

³İstanbul Üniversitesi Cerrahpaşa Tıp Fakültesi, Halk Sağlığı Anabilim Dalı, İstanbul

Amaç: CYP19A1 geni, androjenlerin östrojenlere dönüştüründeki rolü enzimi (aromataz) kodlamaktadır ve kardiyovasküler hastalık sonuçlarındaki cinsiyet farklılıklarında rol oynayabileceği düşünülmektedir. Bu nedenle, bu çalışmada Türk yetişkinlerde kardiyovasküler hastalık sonuçlarındaki cinsiyet farklılıklarında CYP19A1 gen polimorfizminin (rs10046) potansiyel rolünü araştırılmıştır amaçlandı.

Yöntem: 2004-2010 yıllarında TEKHARF çalışmamasına katılan bireylerin DNA bankası oluşturuldu. TEKHARF populasyonundan seçilen 2250 kişiye (yaş ortalaması; 49.6 ± 11.9 , %48.6 erkek) CYP19A1 geninin 3' UTR de bulunan (rs10046) polimorfizmi LC-480 teknik çitlik sistemi ile genotiplendi. Klinik ve biyokimyasal ölçütler ile genetik sonuçların ilişkisi SPSS programı ile incelendi. Sürekli değişkenler için ANOVA, T-test ve kategorikler için ise ki-kare analizleri kullanıldı.

Bulgular: Yetişkin Türk populasyonunda CYP19A1 3'UTR C-T polimorfizminin genotip dağılımları CC, CT ve TT için sırasıyla, %28 (n=630), %48.3 (n=1085) ve %23.7 (n=535) olarak bulundu. T allele sıklığı toplumumuzda %47.6 olarak belirlendi. Çalışma grubunda, CYP19A1 rs10046 C-T değişiminin CC genotipi ApoB düzeylerinin artışı ile istatistiksel olarak anlamlı bulundu ($p<0.05$). Serum ApoB düzeyleri üzerine, cinsiyet ve genotipleri anlamlı düzeye ($p<0.05$) karşılıklı etkileşimlerinin bulunması sebebiyle, sonraki analizlerde cinsiyet grupperi ayrı olarak incelendi. Çeşitli kardiyovasküler risk faktörleri ile birlikte CYP19A1 SNP'nin serum ApoB seviyeleri üzerine olan etkileri univariate analizinde incelendiğinde, kadınla ilişkili olduğu belirlendi ($p<0.05$). Premenopozal ve menopozal kadınlarda CYP19A1 geni rs10046 polimorfizminin biyometrik parametreler ve kardiyovasküler durumlar ile ilişkisi incelendiğinde yüksek BMI ($p=0.05$), HOMA indeks ($p=0.034$) değeri ve insulin düzeyi ($p=0.007$) premenopozal kadınlarda CC genotipi ile ilişkili bulundu. Menopozal kadınlarda ise, CC genotipini taşımak ile yüksek ApoB düzeyi arasında anlamlı bir ilişki gözleendi ($p=0.007$). Hipertansiyon için cinsiyete göre yapılan analizde, ki-kare testi sonucunda, sadece erkeklerde, CYP19A1 TT genotipi ve hipertansiyon arasında istatistiksel olarak anlamlı bir ilişki olduğu bulundu ($p=0.01$).

Sonuçlar: Sonuçlarımız, CYP19A1 genindeki 3'UTR C-T polimorfizminin, kardiyovasküler hastalık gelişiminde cinsiyete bağlı farklılıkların sorumlulu bir genetik faktör olabileceğini göstermektedir.

S-049

The effect of aromatase (CYP19A1) gene on cardiovascular disease in a sex-specific manner in Turkish adults

Neslihan Coban¹, Filiz Güclü Geyik¹, Altan Onat², Güney Can³, Nihan Erginol Ünaltna¹

¹Department of Genetic, İstanbul University Institute of Experimental Medicine, İstanbul

²Turkish Society of Cardiology, İstanbul

³Department of Public Health, İstanbul University Cerrahpaşa Faculty of Medicine, İstanbul

Aim: CYP19A1 encodes aromatase, the enzyme responsible for the conversion of androgens to estrogens, and may play a role in variation in outcomes among men and women with cardiovascular disease. We sought to examine genetic variation in CYP19A1 for its potential role in sex differences in cardiovascular disease outcomes.

Methods: We examined four single-nucleotide polymorphism (SNPs) in CYP19A1 gene in the Turkish Adult Risk Factor (TARF) Study DNA bank which has been established between 2004-2010 years. The sample was comprised of 2250 (mean age; 49.6 ± 11.9 , 48.6% male) Turkish adults. genotyping was performed using hybridisation probes in Real-Time PCR LC480 device. The association between biochemical, clinical parameters and the polymorphism have been analyzed using SPSS software. For continuous variables, ANOVA, T-test was used, whereas chi-square analysis was performed for categoricals.

Results: The distribution of the CYP19A1 polymorphism in this adult population was %28% (n=630), 48.3% (n=1085) and 23.7% (n=535) for the CC, CT and TT genotypes, respectively. The T allele frequency was found to be 0.47. Variation of CYP19A1 gene were found associated with higher ApoB levels ($p<0.05$). In relation to ApoB levels, the CYP19A1 polymorphism had significant gender-by-genotype interaction ($p<0.05$). Later on, female and male were separately analyzed. Further analyses were performed to explore the relationship between this polymorphism and ApoB levels using univariate test in single model including cardiometabolic risk factors as covariate. We observed, gender-specific covariance analysis by controlling for age, smoking status, physical activity, lipid-drug usage showed that there was an association between CC genotype and higher ApoB levels in women. Significant association existed between the CC genotype and BMI ($p=0.05$), HOMA index ($p=0.034$) and insulin levels ($p=0.007$) in premenopausal women. In postmenopausal women, CYP19A1 rs10046 CC genotype alone was significantly associated with ApoB levels ($p=0.007$). In addition association between CYP19A1 3' UTR polymorphism and hypertension ($p=0.01$) was found only in men.

Conclusion: In conclusion, the CYP19A1 gene appears to be a genetic factor for cardiovascular diseases a sex-specific manner. These findings could illuminate potential mechanisms of sex differences in cardiovascular disease outcomes.